

สำนักหอสมุด มหาวิทยาลัยบูรพา
ท.แสนสุข อ.เมือง จ.ชลบุรี 20131



รายงานฉบับสมบูรณ์ทุนวิจัย
ทุนอุดหนุนการวิจัยงบประมาณเงินรายได้ (เงินอุดหนุนจากรัฐบาล)
ประจำปีงบประมาณ พ.ศ. 2553

โครงการ การประเมินสภาพการใช้งานและความแข็งแรงทางโครงสร้าง
ของสะพานคอนกรีตเสริมเหล็กโดยการทดสอบภาคสนาม
สัญญาเลขที่ 14.2/2553

ผู้วิจัย
นายพัทธรงษ์ อาสา Jinca

คณะวิศวกรรมศาสตร์
มหาวิทยาลัยบูรพา

กุมภาพันธ์ พ.ศ. 2555

สนับสนุนโดย สำนักงานคณะกรรมการวิจัยแห่งชาติ (วช.)
14 พ.ศ. 2555 ทุนบูรพาฯ

เริ่มนับวัน
19 ก.ค. 2555

302538

ทุนอุดหนุนการวิจัยงบประมาณเงินรายได้ (เงินอุดหนุนจากรัฐบาล)

ประจำปีงบประมาณ พ.ศ. 2553

การประเมินสภาพการใช้งานและความแข็งแรงทางโครงสร้างของสะพานคอนกรีตเสริมเหล็กโดย

การทดสอบภาคสนาม

รายงานวิจัยฉบับสมบูรณ์

ตามที่นายพัทธพงษ์ อasanjinca ได้รับทุนอุดหนุนการวิจัยงบประมาณเงินรายได้ (เงินอุดหนุนจากรัฐบาล) ประจำปีงบประมาณ พ.ศ. 2553 ตามสัญญาเลขที่ 14.2/2553 เพื่อวิจัยเรื่อง การประเมินสภาพการใช้งานและความแข็งแรงทางโครงสร้างของสะพานคอนกรีตเสริมเหล็ก โดยการทดสอบภาคสนาม ขณะนี้ผลการดำเนินการวิจัยเสร็จสิ้นเรียบร้อยแล้ว

รายละเอียดของโครงการวิจัย

ผู้เสนอ	:	นายพัทธพงษ์ อasanjinca
หน่วยงาน	:	ภาควิชาเคมีกรรมวิทยา คณะวิศวกรรมศาสตร์ มหาวิทยาลัยนูรพา
ระยะเวลาดำเนินการ	:	12 เดือน
งบประมาณ	:	154,500 บาท

บทคัดย่อ

โครงการวิจัยนี้ได้ทำการศึกษาและเปรียบเทียบระดับความแข็งแรงของโครงสร้างสะพานคอนกรีตเสริมเหล็กที่ได้จากการทดสอบแบบสติติย์และแบบพลวัต เพื่อนำเสนอวิธีการทดสอบที่เหมาะสมสำหรับการประเมินความแข็งแรงของโครงสร้างสะพาน ซึ่งให้ค่าบ่งชี้ความสามารถในการรับน้ำหนักบรรทุกใกล้เคียงกับกรณีการทดสอบแบบสติติย์ โดยใช้รุ่นบรรทุกสิบล้อที่ทราบน้ำหนักเพลาและระยะห่างของเพลาที่แน่นอน และศึกษาปัจจัยที่เกี่ยวข้องได้แก่ ความเร็วของรถบรรทุกและตำแหน่งการสัญจรในช่องทางจราจรที่แตกต่างกัน โดยได้ติดตั้งอุปกรณ์ตรวจวัดบริเวณผิวด้านใต้ของพื้นสะพาน ได้แก่ อุปกรณ์ตรวจวัดความเครียด, อุปกรณ์ตรวจวัดความร่องจาก การสั่นไหว และอุปกรณ์วัดค่าการเปลี่ยนตำแหน่ง เพื่อนำไปวิเคราะห์หาหน่วยแรงที่เกิดขึ้นและคำนวณค่าบ่งชี้ความสามารถในการรับน้ำหนักบรรทุกตามมาตรฐานของ AASHTO

อย่างไรก็ตามเนื่องจากในการทดสอบตามมาตรฐานของ AASHTO ระบุให้ทำการทดสอบด้วยรุ่นบรรทุกมาตรฐานประเภท HS20-44 ซึ่งไม่มีใช้ในประเทศไทย การศึกษาจึงได้ทำการจำลองโครงสร้างสะพานในคอมพิวเตอร์โดยปรับเทียบแบบจำลองด้วยข้อมูลการทดสอบด้วยรุ่นบรรทุกสิบล้อทั่วไปในประเทศไทย และทำการวิเคราะห์ค่าบ่งชี้การรับน้ำหนักบรรทุกจากแบบจำลองคอมพิวเตอร์ด้วยการเคลื่อนที่น้ำหนักบรรทุกประเภท HS20-44 บนแบบจำลองสะพานที่ปรับเทียบโดยพนวณการปรับเทียบแบบจำลองจากค่าการแอลอนตัวของสะพานมีความถูกต้องและเชื่อถือได้มากกว่าการใช้อุปกรณ์ตรวจวัดความเครียด และค่าความถี่ธรรมชาติของแบบจำลองมีค่าความคลาดเคลื่อนอยู่ในช่วง 10%

จากการศึกษาพบว่าการทดสอบแบบพลวัตด้วยรุ่นบรรทุกที่เคลื่อนที่ด้วยความเร็วไม่เกิน 20 กิโลเมตรต่อชั่วโมง จะได้ค่าบ่งชี้ความสามารถในการรับน้ำหนักบรรทุกซึ่งมีความคลาดเคลื่อนอยู่ในช่วง 5% เท่านั้น และพบว่าการทดสอบด้วยการสัญจรช้ามากจะได้ค่าบ่งชี้ความสามารถในการรับน้ำหนักบรรทุกใกล้เคียงกับการทดสอบแบบสติติย์ ซึ่งสามารถลดเวลาในการทดสอบได้อีกทั้งการสัญจรรุ่นบรรทุกในช่องจราจรที่แตกต่างกันไม่มีผลผลกระทบต่อระดับความแข็งแรงที่ประเมินได้

คำสำคัญ : การประเมินความแข็งแรง, สะพานคอนกรีตเสริมเหล็ก, การทดสอบการรับน้ำหนัก, ค่าบ่งชี้ความสามารถในการรับน้ำหนักบรรทุก, การทดสอบแบบพลวัต

Abstract

This research project studies and compares the strength levels of reinforced concrete bridge structures from static and dynamic tests. This is to present an appropriate testing scheme for strength evaluation of bridge structures. Load rating factor of an appropriate scenario of the dynamic test is similar to a value obtained from the static test. A ten-wheel truck knowing its actual axle weight and axle spacing is utilized. Effects of the related parameters such as moving truck speed and direction of the travel path in the traffic lane are studied. Measurement sensors including strain gauges, accelerometer and displacement transducers are mounted at the bottom surface of the bridge deck. The member stresses and load rating factor of the bridge are analyzed and calculated according to AASHTO standard.

However, testing procedure provided by the AASHTO standard requires a standard truck of HS20-44 type which is not available in Thailand. The computer simulation of bridge structure is therefore conducted. The bridge model is calibrated with respect to the test data carried out by ordinary ten-wheel truck in Thailand. Thus, the load rating factor can be calculated through the computer model by traveling a group of HS20-44 loading on the calibrated bridge model. It is found that using deflection from displacement transducer in the calibration has more accuracy and reliability than using strain gauges. In addition, the obtained bridge natural frequency exhibits within 10% error.

From the results of the study, it is observed that conducting the dynamic load test with moving truck speed less than 20 km/hr provides the load rating factor with the error within 5% only. Moreover, it is also indicated that testing at very slow truck speed can perform load rating factor that is very close to the static load testing. By this means, the test duration can be reduced. Besides, testing by traveling the truck at the different traffic lanes does not influence on the evaluated strength levels.

Keywords : Evaluation strength, Existing Reinforced Concrete Bridge, Load testing, Load Rating Factor, Dynamic testing

กิตติกรรมประกาศ

โครงการวิจัยนี้ได้รับการสนับสนุนเงินทุนอุดหนุนการวิจัยงบประมาณเงินรายได้ (เงินอุดหนุนจากรัฐบาล) ประจำปีงบประมาณ พ.ศ. 2553 จากสำนักงานคณะกรรมการวิจัยแห่งชาติ (วช.) ผู้วิจัยขอขอบคุณมหาวิทยาลัยมูรพา ที่สนับสนุนการดำเนินงานวิจัยนี้

นายพัตรพงษ์ อาสา Jinca

ผู้วิจัย

สารบัญ

	หน้า
บทคัดย่อภาษาไทย.....	๙
บทคัดย่อภาษาอังกฤษ.....	๑
กิตติกรรมประกาศ.....	๑
สารบัญ.....	๑
สารบัญตาราง.....	๗
สารบัญรูป.....	๗
 บทที่ ๑ บทนำ.....	 ๑
1.1 ที่มาและความสำคัญของโครงการ.....	๑
1.2 งานวิจัยในอดีต.....	๓
1.3 วัตถุประสงค์ของโครงการ.....	๖
1.4 ขอบเขตของงานวิจัย.....	๖
1.5 ประโยชน์ที่คาดว่าจะได้รับ.....	๖
1.6 ขั้นตอนการดำเนินงาน.....	๗
 บทที่ ๒ ทฤษฎีที่เกี่ยวข้อง.....	 ๑๑
2.1 การทดสอบการรับน้ำหนักบรรทุกจริงแบบสติกตี้.....	๑๑
2.2 การทดสอบการรับน้ำหนักบรรทุกจริงแบบพลวติ.....	๑๒
2.3 การหาคุณสมบัติพื้นฐานเชิงกลของสะพาน.....	๑๓
2.4 การวิเคราะห์กำลังด้านทานของหน้าตัดโครงสร้าง.....	๑๘
2.5 ค่าเบ่งซึ่ความสามารถในการรับน้ำหนักบรรทุก.....	๒๐
 บทที่ ๓ การทดสอบการรับน้ำหนักบรรทุกของสะพาน.....	 ๒๕
3.1 ลักษณะของน้ำหนักทดสอบ.....	๒๕
3.2 เครื่องมือและอุปกรณ์ที่ใช้ในการตรวจวัด.....	๒๖

สารบัญ (ต่อ)

	หน้า
3.3 สภาพนที่ทำการทดสอบ.....	29
3.4 ลักษณะการวางแผนน้ำหนักทดสอบ.....	31
3.5 การตรวจด้วยได้น้ำหนักบรรทุก.....	42
3.6 การปรับข้อมูลที่ได้จากการทดสอบภาคสนาม.....	42
 บทที่ 4 การวิเคราะห์ความสามารถในการรับน้ำหนักบรรทุกของโครงสร้าง.....	46
4.1 การสร้างแบบจำลองโครงสร้างสะพานทางคอมพิวเตอร์.....	46
4.2 การปรับเทียบแบบจำลองโครงสร้างทางคอมพิวเตอร์.....	49
4.3 แรงภายในที่เกิดขึ้นภายใต้น้ำหนักบรรทุกของถนนบรรทุกมาตรฐาน.....	52
4.4 การคำนวณวิเคราะห์หาค่าเบ่งชีว์ความสามารถในการรับน้ำหนักบรรทุกของ โครงสร้างสะพาน.....	55
 บทที่ 5 สรุปผลการศึกษาและข้อเสนอแนะ.....	71
5.1 สรุปผลการศึกษา.....	71
5.4 ข้อเสนอแนะ.....	72
 เอกสารอ้างอิง.....	74

สารบัญตาราง

	หน้า
ตารางที่ 3.1 การจัดการตรวจสอบบรรทุกแต่ละกรณีในการทดสอบภาคสนาม.....	32
ตารางที่ 4.1 ข้อมูลสรุปจากการปรับเทียบแบบจำลองโครงการสร้างสะพานเทียบกับโครงการสร้าง สะพานจริง.....	53
ตารางที่ 4.2 ข้อมูลสรุปของแรงภายในหลังจากที่รถ HS20-44 เคลื่อนที่บนแบบจำลองโครงการสร้าง สะพานที่ทำการปรับเทียบแล้ว.....	54
ตารางที่ 4.3 ค่าหน่วยแรงและค่าบ่งชี้ความสามารถในการรับน้ำหนักบรรทุกของแผ่นพื้นสะพาน ของกรณีการทดสอบแบบสติติกโดยวางน้ำหนักบรรทุกในแนวกึ่งกลางสะพาน	57
ตารางที่ 4.4 ค่าหน่วยแรงและค่าบ่งชี้ความสามารถในการรับน้ำหนักบรรทุกของคานตามแนว วางของสะพานของกรณีการทดสอบแบบสติติกโดยวางน้ำหนักบรรทุกในแนว กึ่งกลางสะพาน.....	57
ตารางที่ 4.5 ค่าหน่วยแรงและค่าบ่งชี้ความสามารถในการรับน้ำหนักบรรทุกของเสาตอม่อของ สะพานกรณีการทดสอบแบบสติติกโดยวางน้ำหนักบรรทุกในแนวกึ่งกลางสะพาน	58
ตารางที่ 4.6 ค่าหน่วยแรงและค่าบ่งชี้ความสามารถในการรับน้ำหนักบรรทุกของแผ่นพื้นสะพาน	59
ตารางที่ 4.7 ค่าหน่วยแรงและค่าบ่งชี้ความสามารถในการรับน้ำหนักบรรทุกของโครงการสร้างคาน ตามวาง.....	61
ตารางที่ 4.8 ค่าหน่วยแรงและค่าบ่งชี้ความสามารถในการรับน้ำหนักบรรทุกของโครงการสร้างเสา ตอม่อสะพาน	63
ตารางที่ 4.9 ค่าความเครียดสูงสุดและค่าตัวคูณขยายจากการทดสอบ.....	64

สารบัญรูป

	หน้า
รูปที่ 1.1 ระบบพื้นฐานในการตรวจวัดผลตอบสนองของสะพาน	8
รูปที่ 1.2 ลักษณะตัวอย่าง共振ทุกสิบล้อที่ใช้ทดสอบ	8
รูปที่ 2.1 การทดสอบโครงสร้างสะพานด้วยน้ำหนักบรรทุกแบบสถิติที่ดำเนินการต่าง ๆ บนสะพาน	12
รูปที่ 2.2 การทดสอบโครงสร้างสะพานด้วยน้ำหนักบรรทุกแบบพลวัตที่ดำเนินการต่าง ๆ บนสะพาน	12
รูปที่ 2.3 ตัวอย่างประวัติเวลาของการเปลี่ยนตัวในแนวคิ่งที่ได้จากการตรวจวัด	17
รูปที่ 2.4 ตัวอย่างการสั่นไหวแบบอิสระของโครงสร้างสะพาน	17
รูปที่ 2.5 ตัวอย่าง Frequency Domain ของการสั่นไหวแบบอิสระของโครงสร้างสะพาน	18
รูปที่ 3.1 ขนาดของ共振ทุกสิบล้อไทยที่ใช้ในการทดสอบ	25
รูปที่ 3.2 การซั่งน้ำหนักของ共振ทุกที่ใช้ในการทดสอบโดยตัวชี้ลอย	26
รูปที่ 3.3 ลักษณะการติดตั้งอุปกรณ์ตรวจวัดความเครียด	27
รูปที่ 3.4 ลักษณะการติดตั้งอุปกรณ์ตรวจวัดค่าการเปลี่ยนตัว	27
รูปที่ 3.5 ลักษณะของอุปกรณ์ตรวจวัดความเร่งจากการสั่นไหว	27
รูปที่ 3.6 ลักษณะการติดตั้งอุปกรณ์ตรวจวัดต่างๆ ให้พื้นสะพาน	28
รูปที่ 3.7 แผนผังการติดตั้งอุปกรณ์ตรวจวัด	28
รูปที่ 3.8 อุปกรณ์แปลงสัญญาณบันทึกผลและอุปกรณ์แสดงผล	29
รูปที่ 3.9 ลักษณะโครงสร้างของสะพานที่ทำการทดสอบ	30
รูปที่ 3.10 ลักษณะช่องทางของสะพานที่ทำการทดสอบ	30
รูปที่ 3.11 รูปตัดสะพานที่ทำการทดสอบ	30
รูปที่ 3.12 ลักษณะทางกายภาพของสะพานที่ทำการทดสอบ	31
รูปที่ 3.13 การจัดวางน้ำหนัก共振ทุกแบบสถิติ กรณีที่ 1 ในการทดสอบภาคสนาม	32
รูปที่ 3.14 การจัดวางน้ำหนัก共振ทุกแบบสถิติ กรณีที่ 2 ในการทดสอบภาคสนาม	33
รูปที่ 3.15 การจัดวางน้ำหนัก共振ทุกแบบสถิติ กรณีที่ 3 ในการทดสอบภาคสนาม	33
รูปที่ 3.16 การจัดวางน้ำหนัก共振ทุกแบบสถิติ กรณีที่ 4 ในการทดสอบภาคสนาม	34

สารบัญรูป(ต่อ)

หน้า	
รูปที่ 3.17 การจัดวางน้ำหนักกรอบบรรทุกแบบสกิดตี้ กรณีที่ 5 ในการทดสอบภาคสนาม.....	34
รูปที่ 3.18 การจัดวางน้ำหนักกรอบบรรทุกแบบสกิดตี้ กรณีที่ 6 ในการทดสอบภาคสนาม.....	35
รูปที่ 3.19 การจัดวางน้ำหนักกรอบบรรทุกแบบพลาวติ กรณีที่ 1 ในการทดสอบภาคสนาม.....	35
รูปที่ 3.20 การจัดวางน้ำหนักกรอบบรรทุกแบบพลาวติ กรณีที่ 2 ในการทดสอบภาคสนาม.....	36
รูปที่ 3.21 การจัดวางน้ำหนักกรอบบรรทุกแบบพลาวติ กรณีที่ 3 ในการทดสอบภาคสนาม.....	36
รูปที่ 3.22 การจัดวางน้ำหนักกรอบบรรทุกแบบพลาวติ กรณีที่ 4 ในการทดสอบภาคสนาม.....	37
รูปที่ 3.23 การจัดวางน้ำหนักกรอบบรรทุกแบบพลาวติ กรณีที่ 5 ในการทดสอบภาคสนาม.....	37
รูปที่ 3.24 การจัดวางน้ำหนักกรอบบรรทุกแบบพลาวติ กรณีที่ 6 ในการทดสอบภาคสนาม.....	38
รูปที่ 3.25 การจัดวางน้ำหนักกรอบบรรทุกแบบพลาวติ กรณีที่ 7 ในการทดสอบภาคสนาม.....	38
รูปที่ 3.26 การจัดวางน้ำหนักกรอบบรรทุกแบบพลาวติ กรณีที่ 8 ในการทดสอบภาคสนาม.....	39
รูปที่ 3.27 การจัดวางน้ำหนักกรอบบรรทุกแบบพลาวติ กรณีที่ 9 ในการทดสอบภาคสนาม.....	39
รูปที่ 3.28 การจัดวางน้ำหนักกรอบบรรทุกแบบพลาวติ กรณีที่ 10 ในการทดสอบภาคสนาม.....	40
รูปที่ 3.29 การจัดวางน้ำหนักกรอบบรรทุกแบบพลาวติ กรณีที่ 11 ในการทดสอบภาคสนาม.....	40
รูปที่ 3.30 การจัดวางน้ำหนักกรอบบรรทุกแบบพลาวติ กรณีที่ 12 ในการทดสอบภาคสนาม.....	41
รูปที่ 3.31 การจัดวางน้ำหนักกรอบบรรทุกแบบพลาวติ กรณีที่ 13 ในการทดสอบภาคสนาม.....	41
รูปที่ 3.31 ตัวอย่างของการสั่นไหวอิสระและช่วงที่พิจารณาความถี่ธรรมชาติของสะพาน.....	44
รูปที่ 3.32 การจัดบรรทุกแบบพลาวติแบบที่ 3 ในการทดสอบภาคสนามครั้งที่ 2.....	45
รูปที่ 3.33 ตัวอย่างของสัญญาณที่ได้หลังจากการกรองสัญญาณ.....	45
รูปที่ 3.34 ตัวอย่างของข้อมูลที่ได้หลังจากการปรับลดขนาดข้อมูล (Re-sampling).....	45
รูปที่ 3.35 การเปรียบเทียบข้อมูลค่าความเครียดที่ตำแหน่งเดียวกันด้วยความเร็วต่าง ๆ	46
รูปที่ 3.36 การเปรียบเทียบข้อมูลค่าความเครียดที่ตำแหน่งเดียวกันของการขับรถต่างช่องทาง.....	46
รูปที่ 4.1 อุปกรณ์มิวิดแยมเมอร์และการอ่านค่าการสะท้อนกลับ.....	47
รูปที่ 4.2 แบบจำลองโครงสร้างสะพานและกำลังประดับของชิ้นส่วนต่าง ๆ	47
รูปที่ 4.3 แบบจำลองโครงสร้างสะพานแบบสามมิติ.....	48

สารบัญรูป(ต่อ)

หน้า

รูปที่ 4.4	ลักษณะโน้มแนวตั้งในแผ่นพื้นของแบบจำลองโครงสร้างสะพานเมื่อนำน้ำหนักเพลา ของรถบรรทุกสิบล้อทดสอบเคลื่อนที่ผ่านแบบจำลอง.....	48
รูปที่ 4.5	ลักษณะการแอล์ตัวของแบบจำลองโครงสร้างสะพานเมื่อรับน้ำหนักบรรทุก.....	50
รูปที่ 4.6	การปรับเทียบสัญญาณค่าการแอล์ตัวของสะพานจริงกับแบบจำลองโครงสร้าง.....	50
รูปที่ 4.7	การปรับเทียบค่าสัญญาณความเครียดของสะพานจริงกับแบบจำลองโครงสร้าง.....	51
รูปที่ 4.8	ลักษณะโน้มแนวตั้งในแผ่นพื้นของแบบจำลองโครงสร้างสะพานเมื่อนำน้ำหนักเพลา รถบรรทุก HS20-44 เคลื่อนที่ผ่านแบบจำลอง.....	52
รูปที่ 4.9	การเสริมเหล็กตามแบบมาตรฐาน มสู-4-101/1 ของสำนักวิศวกรรมทางหลวงชนบท 56	
รูปที่ 4.10	เสริมเหล็กตามแบบมาตรฐาน มสู-4-103 ของสำนักวิศวกรรมทางหลวงชนบท.....	56
รูปที่ 4.11	การเปรียบเทียบค่าบ่งชี้ความสามารถรับน้ำหนักบรรทุกเนื่องจากโน้มแนวตัวงอนพื้น สะพาน.....	55
รูปที่ 4.12	การเปรียบเทียบค่าบ่งชี้ความสามารถรับน้ำหนักบรรทุกเนื่องจากแรงเฉือนของพื้น สะพาน.....	66
รูปที่ 4.13	การเปรียบเทียบค่าบ่งชี้ความสามารถรับน้ำหนักบรรทุกเนื่องจากโน้มแนวตัวงอนของคาน ตามขวา.....	67
รูปที่ 4.14	การเปรียบเทียบค่าบ่งชี้ความสามารถรับน้ำหนักบรรทุกเนื่องจากโน้มตัวงอนของคาน ตามขวา.....	68
รูปที่ 4.15	การเปรียบเทียบค่าบ่งชี้ความสามารถรับน้ำหนักบรรทุกเนื่องจากแรงเฉือนของคานตาม ขวา.....	69
รูปที่ 4.16	การเปรียบเทียบค่าบ่งชี้ความสามารถรับน้ำหนักบรรทุกเนื่องจากแรงในแนวแกนของ เสาตอม่อสะพาน.....	70

บทที่ 1

บทนำ

1.1 ที่มาและความสำคัญของโครงการ

สะพานนับว่าเป็นส่วนโครงสร้างที่มีความสำคัญที่สุดในงานทางหลวง เพื่อใช้ในการข้ามคลองแม่น้ำ ร่องน้ำ หรือหุบเขา สะพานจึงจะเป็นส่วนโครงสร้างที่จะต้องมีความแข็งแรงมากที่สุด และจำเป็นที่จะต้องอยู่ในสภาพพร้อมใช้งานอยู่เสมอ แม้แต่ในสภาวะที่เกิดภัยพิบัติทางธรรมชาติ เพื่อให้ผู้คนในชุมชนสามารถเดินทางกลับคืนบ้านได้ในปัจจุบันหน่วยงานที่ควบคุมดูแลการใช้งานเส้นทางหลวงในหลาย ๆ ประเทศต่างประสบปัญหาเกี่ยวกับงบประมาณที่จะใช้ในการบำรุงรักษาทางที่ต้องพนักงานเสียหาย สำหรับในประเทศไทย งบประมาณในส่วนของการบำรุงซ่อมแซมเส้นทางนี้เพิ่มขึ้นทุกปี และแต่ละปีจะใช้งบประมาณของประเทศเป็นจำนวนมาก สำหรับประเทศไทยซึ่งมีการเติบโตทางเศรษฐกิจและการคมนาคมขนส่งอย่างต่อเนื่อง นอกเหนือไปจากโครงสร้างสะพานที่ทำการก่อสร้างใหม่แล้ว ยังมีโครงสร้างสะพานอีกจำนวนมากซึ่งมีอายุไม่ต่ำกว่า 10-20 ปี และต้องการการบำรุงรักษาซ่อมแซม อีกทั้งประเทศไทยยังขาดมาตรฐานบังคับใช้ในการตรวจสอบและประเมินความแข็งแรงของโครงสร้างทางหลวง ลักษณะการบำรุงรักษาโครงสร้างสะพานและทางหลวงในประเทศจึงมีการดำเนินการหลังจากที่โครงสร้างได้เกิดความเสียหายไปแล้ว

สถานที่ที่นำไปของความเสียหายของสะพานพบว่ามาจากการเสื่อมสภาพตามปกติของเส้นทางและผลจากภัยธรรมชาติ แต่สาเหตุส่วนใหญ่นั้นก็พบว่าเป็นปัญหาซึ่งเกิดจากแคร呶เสียหายก่อนกำหนดของผิวทางเนื่องจากความล้าและจากการสัมมารของyanพาหนะหนักที่บรรทุกน้ำหนักเกินพิกัดที่กฎหมายได้กำหนดไว้ อีกทั้งยังพบว่าจำนวนของyanพาหนะในระบบขนส่งมีจำนวนเพิ่มขึ้นเนื่องจากการขยายตัวทางเศรษฐกิจในทุก ๆ ปี จึงเป็นเหตุให้สภาพการใช้งานและความแข็งแรงของโครงสร้างสะพานมีความเสื่อมสภาพที่รวดเร็วกว่าอายุการใช้งานที่ได้ทำการออกแบบ ด้วยเหตุนี้จึงมีความจำเป็นที่จะทำการประเมินสภาพการใช้งานและความแข็งแรงของสะพานอยู่เสมอหลังจากที่ได้ปิดใช้แล้ว ทั้งนี้เพื่อให้ทราบถึงอัตราการเสื่อมสภาพที่แท้จริงของสะพานในสภาพการจราจรจริง ซึ่งเป็นประโยชน์ในการวางแผนแนวทางการทำปรับปรุงบำรุงรักษาที่เหมาะสม และยังเป็นการตรวจสอบถึงความปลอดภัยในการใช้งานของสะพานด้วย เพื่อให้ได้ข้อมูลสภาพการใช้งานและความแข็งแรงของสะพานที่มีความถูกต้องและเชื่อถือได้มากที่สุด การประเมินสภาพการใช้งานด้วยการทดสอบภาคสนามจึงมีความเหมาะสมกว่าการประเมิน

สภาพจากการทำการวิเคราะห์แบบจำลองทางคณิตศาสตร์ของโครงสร้างสะพานด้วยในคอมพิวเตอร์เพียงอย่างเดียว อีกทั้งโครงสร้างสะพานจริงมักจะมีพฤติกรรมที่คลาดเคลื่อนจากที่ได้ออกแบบไว้เนื่องจากโครงสร้างคอนกรีตเสริมเหล็กเป็นโครงสร้างที่มีความซับซ้อนและมีแปรปรวนสูง ในประเทศไทยยังไม่มีมาตรฐานและระบบวิธีสำหรับใช้ทำการประเมินสภาพการใช้งานและความแข็งแรงของโครงสร้างสะพาน เนื่องจากโครงสร้างสะพานและรูปแบบของ yan พาหนะหนักส่วนใหญ่มีคุณสมบัติที่แตกต่างจากต่างประเทศ ดังนั้นงานวิจัยจึงมุ่งเน้นการทำกราฟทดสอบภาคสนาม โดยทำการประยุกต์ใช้มาตรฐานการทดสอบในต่างประเทศและทำการเปรียบเทียบผลการทดสอบ เพื่อนำไปปรับปรุงและประยุกต์ให้สอดคล้องกับรูปแบบสะพาน, yan พาหนะและลักษณะการจราจรของประเทศไทย โดยผลการทดสอบที่ได้จะนำไปทำการวิเคราะห์สภาพการใช้งานและความแข็งแรงของโครงสร้างสะพาน โดยมีดังนี้
ปัจจัยที่ส่งผลกระทบต่อความสามารถในการรับน้ำหนักของโครงสร้างสะพาน ซึ่งสามารถนำไปเปรียบเทียบและจัดระดับความแข็งแรงของกลุ่มโครงสร้างสะพานที่ทำการประเมินได้ เพื่อเป็นแนวทางและมาตรฐานการทดสอบสำหรับใช้ประเมินสภาพการใช้งานและกำลังของโครงสร้างสะพานทั่วประเทศ

ในโครงการวิจัยนี้ การทดสอบจะใช้น้ำหนักทดสอบจากรถบรรทุกที่ทราบทั้งขนาดน้ำหนักและระยะเพลาที่แน่นอน โดยทำการทดสอบทั้งแบบสถิติ (Static test) และแบบพลวต (Dynamic test) โดยแบบสถิติจะทดสอบโดยการหยุดรถ ณ ตำแหน่งต่าง ๆ บนโครงสร้างสะพาน ที่ได้พิจารณาแล้วว่าจะก่อให้เกิดภาระการรับน้ำหนักของโครงสร้างที่เหมาะสมเพื่อทำการตรวจวัดพฤติกรรมการเอ่นตัว (Deflection) และหาค่าความเครียด (Strain) ของโครงสร้างสะพาน ณ ตำแหน่งต่าง ๆ เมื่อมีน้ำหนักบรรทุกกระทำลงบนสะพานแบบสถิติ ซึ่งได้ติดตั้งอุปกรณ์การตรวจวัด (Strain gauge) ไว้ตามจุดที่ต้องการทราบค่า ส่วนการทดสอบแบบพลวตจะทำการทดสอบโดยการให้รถดังกล่าวข้ามตัน วิ่งผ่านช้า ๆ บนโครงสร้างสะพานที่ติดตั้งอุปกรณ์การตรวจวัดแล้วและบันทึกค่าความเครียดที่เกิดขึ้นในโครงสร้างสะพาน

การวิเคราะห์พฤติกรรมของโครงสร้างเมื่อถูกแรงกระทำภายนอกตามทฤษฎีของกลศาสตร์นั้น สามารถพัฒนา ซึ่งบรรยายพฤติกรรมของวัสดุจะอยู่ในรูปของสมการดิฟเฟอเรนเชียลแบบพาร์เซียลภายใต้เงื่อนไขบนพื้นผิวของวัตถุ การวิเคราะห์หาคำตอบແน้นอนของสมการดูดันน์นิยมหาคำตอบโดยประมาณซึ่งจะเป็นวิธีการไฟนิตี้เอลิเมนต์ The Finite Element Method (F.E.M.) จะเปลี่ยนรูปสมการดิฟเฟอเรนเชียลไปเป็นชุดของสมการเชิงเส้นซึ่งจะสามารถหาคำตอบโดยการใช้การวิเคราะห์พฤติกรรมของสะพานในงานวิจัยนี้ใช้วิธีการของ F.E.M. เป็นหลัก ส่วนการจำลองโครงสร้างทางคอมพิวเตอร์จะพิจารณาอธิบายและประเมินที่จะเป็นแบบอิเล็กทรอนิกส์ เชิงเส้น เพื่อนำมาทำการจำลองการรับน้ำหนักของสะพาน และพิจารณาหน่วยแรงที่เกิดขึ้นในตำแหน่งต่าง ๆ ของโครงสร้างสะพาน จากนั้นต้องทำการเปรียบเทียบกับข้อมูลจริง

จากสนามที่ได้จากการนำร่องทุกมาเล่นบนโครงสร้างสะพานเพื่อคูณไว้นและความถูกต้อง และปรับแก้พารามิเตอร์ต่าง ๆ ของแบบจำลองให้มีผลสอดคล้องกับผลการทดสอบภาคสนาม เพื่อให้แบบจำลองมีพฤติกรรมใกล้เคียงกับพฤติกรรมจริงของสะพานมากที่สุด และสามารถนำข้อมูลนั้นวิเคราะห์ต่าง ๆ ที่ได้จากแบบจำลองไปประเมินความแข็งแรง และอายุของสะพานจริงต่อไปได้

1.2 งานวิจัยในอดีต

ถึงแม้ว่าอายุของสะพานโดยส่วนมากได้ถูกออกแบบไว้อย่างพอเพียง (50-100 ปี) แต่การพัฒนาของเครื่องยนต์และการเจริญเติบโตทางเศรษฐกิจ ทำให้สะพานต้องแบกรับการเพิ่มขึ้นของน้ำหนักบรรทุกและปริมาณการจราจร ซึ่งทำให้การเสื่อมสภาพของสะพานเนื่องจากความล้าเกิดได้เร็วขึ้น ยังผลให้อายุการใช้งานของสะพานในหลายแห่งสั้นลง ปัจจุบันในประเทศสหรัฐอเมริกาพบว่า มีสะพาน ประมาณ 40 % จากจำนวนสะพานทั้งหมดที่ไม่สามารถให้บริการแก่บุคคลได้ตามปกติและอยู่ในความดูแลของรัฐ ซึ่งต้องสูญเสียงบประมาณในการเพิ่มความแข็งแรงและการซ่อมบำรุงเป็นเงินจำนวนมหาศาลทุกปี (Sobanjo และคณะ 1994, และ Zhao และ Haldar 1996) ยิ่งไปกว่านั้นยังพบอีกว่าจะมีจำนวนสะพานที่เสื่อมสภาพเพิ่มขึ้นประมาณ 1200 แห่งในทุกๆ ปี (Yazdani และ Albrecht, 1990)

การป้องกันการเสื่อมสภาพสามารถกระทำได้โดยการหมั่นตรวจสอบสภาพสะพานและทำการซ่อมแซมแต่เนื่นๆ (Frank, 1992) ปกติการตรวจสอบและประเมินสภาพของสะพานจะกระทำโดยการตรวจวัดค่าความเครียดที่เกิดขึ้นในบริเวณที่คาดว่าจะมีความเสียหายเนื่องจากความล้าในช่วงระยะเวลาหนึ่ง เศร็จแล้วผลของค่าความเครียดที่ได้ซึ่งปกติจะมีขนาดแปรเปลี่ยนไปตามน้ำหนักและชนิดของรถที่แล่นผ่านจะถูกนำมาแปลงเป็นสัญญาณความเค้นที่มีขนาดคงที่โดยใช้เทคนิค Rainflow Counting (Downing และ Socie, 1982) แล้วจึงนำไปเปรียบเทียบกับความสามารถในการทนต่อแรงกระแทกแบบกลับไปมาของวัสดุสะพาน (S-N Curve) ตามวิธีของ Palmgren-Miner (Miner, 1945) สุดท้ายจะทำให้ทราบค่าจำนวนจำนวนครั้งมากที่สุดที่สะพานจะทนต่อการแล่นผ่านของรถได้ ซึ่งหากนำໄไปรวมกับข้อมูลการจราจรบนสะพานก็จะทำให้สามารถทำงานยึดอัตราการเสื่อมสภาพและอายุการใช้งานที่ปลอดภัยของสะพานได้ (Moses และคณะ, 1987) การประเมินสภาพด้วยการตรวจวัดดังกล่าวเนี้ยเป็นที่นิยมกระทำกัน เพราะว่ามีความน่าเชื่อถือสูง (Frank, 1992 และ Zuraski, 1993)

Gagarine และ Albrecht (1992) พบว่าการประเมินความแข็งแรงด้วยการใช้แบบจำลองทางคณิตศาสตร์ตามมาตรฐานของ ASSHTO (1989) นั้นมีความคาดเคลื่อนสูงทั้งนี้เนื่องมาจากกระบวนการประเมิน

สภาพการจราจรห่างจากความเป็นจริง ทั้งในเรื่องน้ำหนักและปริมาณการจราจร โดยการเปรียบเทียบกับผลการประเมินที่ได้จากการตรวจวัดจริงพบว่ามีความคลาดเคลื่อนกว่า 40%

Laman และ Nowak (1996) ได้แสดงให้เห็นว่าในแต่ละสะพานอาจมีความแตกต่างของลักษณะการจราจรได้มาก และนำเสนอแบบจำลองรถบรรทุกขึ้นมาใหม่โดยการใช้ข้อมูลการชั่งน้ำหนักแบบ Weigh-in-Motion มาคำนวณรูปแบบอย่างไรก็ได้การสร้างแบบจำลองของ Laman และ Nowak นั้นไม่ได้มีการแยกแยะประเภทของรถบรรทุกหนัก จึงทำให้แบบจำลองที่ได้มีค่าเปลี่ยนไปตามสถานที่ของสะพานเป็นอย่างมีนัยสำคัญ

ทศพล และกุนุธ (1999) ได้เปรียบเทียบผลของการสร้างหน่วยแรงในโครงสร้างสะพานโดยใช้แบบจำลองรถบรรทุกตามมาตรฐาน AASHTO กับรถบรรทุกของประเทศไทยตามกฎหมาย พบร่วมกัน พบว่ามีความแตกต่างกันกว่า 15 % ทั้งนี้ เพราะรูปแบบรถบรรทุกและน้ำหนักบรรทุกรวมมีความแตกต่างกัน อีกทั้งยังการคิดถึงผลของการจราจรยังพนแวนิมของความแตกต่างในปริมาณกว่า 50% หากใช้แบบจำลองของมาตรฐานดังกล่าวมาคำนวณหาค่าอายุการใช้งานที่ปลอดภัยของสะพาน

M. Mabsout และคณะ (2004) ทำการศึกษาเกี่ยวกับผลกระทบของการกระจายน้ำหนักบรรทุกต่อโครงสร้างสะพาน โดยการใช้น้ำหนักบรรทุกตามมาตรฐาน AASHTO เป็นเกณฑ์และแบ่งกรณีที่น้ำหนักกระทำต่อโครงสร้างสะพานออกเป็น 3 กรณีคือหนึ่งให้น้ำหนักบรรทุกกระทำที่ศูนย์กลาง สองให้น้ำหนักบรรทุกกระทำที่บริเวณขอบค้านได้ด้านหนึ่งของสะพาน และสามให้น้ำหนักบรรทุกกระทำที่ซ่อนทางค้านได้ด้านหนึ่ง ซึ่งบ่งบอกลักษณะการวิ่งของยานพาหนะในแต่ละช่องทางด้วยและแยกพิจารณาเป็นช่องทางแบบมีไหล่ทางและไม่มีไหล่ทางอีกด้วย จากการศึกษาพบว่าการกระจายน้ำหนักบรรทุกแบบที่สามจะให้น้ำหนักกระทำที่มากที่สุดตรงกับกลางแผ่นพื้น ซึ่งสิ่งต่างๆเหล่านี้ส่งผลให้สะพานเกิดความล้า และส่งผลต่ออายุโครงสร้างของสะพาน

H.S.Ji และคณะ (2005) ทำการศึกษาเกี่ยวกับสะพานแบบวัสดุผสมผสานก้าวหน้า (Advanced composite materials, ACM) ในประเทศเกาหลีซึ่งสะพานแบบนี้เป็นแบบใหม่ที่เพิ่งนำมาใช้ในประเทศเกาหลีในปี 2002 พวกรายงานว่าที่ผ่านมาข้างขาดข้อมูลในเรื่องประสิทธิภาพของสะพานในขณะที่ใช้งานอยู่ จึงทำการศึกษาสะพานที่ผ่านการใช้งานมาแล้วประมาณ 2 ปีโดยวิธีทดสอบกำลังบรรทุกภาคสนาม (Field load testing) เพื่อความสามารถที่รับได้ (Capacity rating) ของสะพานและการตรวจสอบโดยสายตา (Visual inspections) โดยวิเคราะห์ผ่าน Korean Standards Specifications for Highway Bridges และวิธีไฟนิตี้ เอลิเมนต์ (Finite element analysis method) โดยใช้รูปแบบ DB-24 ใน Korean standard specifications ซึ่งหนักมากกว่ามาตรฐานแบบ HS20 ของ AASHTO ถึง 1.3 เท่า รวมไปถึงใช้ EURO Code และไฟ-

ในต่ออัลเมนต์ชอร์ฟแวร์ในการประเมินนี้ด้วย จากการประเมินพบว่าการแอล์ตัวสูงสุดสำหรับสะพานแบบ 2 เลน มีค่าเฉลี่ยที่ 6.68 มิลลิเมตรคิดเป็น 46.56 % ต่ำกว่าข้อจำกัด (L/800) ของ AASHTO ที่กำหนดไว้ที่ 12.5 มิลลิเมตร ความสามารถที่รับได้ (Capacity rating) คือ DB-24.99 (รถบรรทุกมาตรฐาน หนัก 441.10 กิโล นิวตัน) คิดเป็น 4.13% สูงกว่า DB-24 (หนัก 432.645 กิโลนิวตัน) แสดงให้เห็นว่าโครงสร้างของสะพาน แบบวัสดุผสมผสานก้าวหน้า (ACM) ทำงานได้เป็นอย่างดีเยี่ยม และการประเมินความสามารถที่รับได้ (Capacity rating) ของสะพานแบบวัสดุผสมผสานก้าวหน้า (ACM) สามารถใช้ปัจจัยการประเมิน (Rating factor) ของวิธีเดิมที่มีอยู่แล้วในการประเมินวัสดุแบบเดิม เช่น ค่าห่วงโซ่แรงที่ยอมให้ (Allowable stress) และค่าปัจจัยน้ำหนักบรรทุก (Load factor) มาใช้ได้แม้ว่าข้อมูลของสะพานแบบวัสดุผสมผสานก้าวหน้า (ACM) จะยังไม่เพียงพอแต่ผลการประเมินนี้อาจเป็นแนวทางสำหรับการประเมินโครงสร้างแบบวัสดุ ผสมผสานก้าวหน้า (ACM) ต่อไปในอนาคตได้

เกริกเกียรติ และคณะ (2008) ทำการศึกษาเกี่ยวกับความเสี่ยหายของ โครงสร้างสะพานแบบแผ่น พื้นคอนกรีตเสริมเหล็ก โดยใช้วิธีไฟไนต์อเลิมเม้นต์มาใช้ในการจำลองและวิเคราะห์โครงสร้าง เพื่อศึกษา สภาพของโครงสร้างขณะที่รองรับน้ำหนักกระทำ แล้วนำเอาข้อมูลที่ได้จากแบบจำลองทางคอมพิวเตอร์ และผลการตรวจสอบจริงจากรายงานมาเปรียบเทียบ ในงานวิจัยนี้ได้จำลองข้อมูลคุณสมบัติต่างๆของ โครงสร้างสะพานที่มีอยู่จริงในประเทศไทยทั้งขนาด วัสดุ กำลังอัดสูงสุดของคอนกรีต การจัดวางตัวของเหล็ก เสริม และทำการเปรียบเทียบผลทดสอบการรับน้ำหนักจากรถบรรทุกจริงของสะพาน 3 แห่งซึ่งเป็นสะพาน แบบแผ่นพื้นคอนกรีตเสริมเหล็กที่มีอายุการใช้งานประมาณ 30 ปี โดยการทดสอบนี้ได้ใช้น้ำหนักทดสอบ จากรถบรรทุกที่ทราบทั้งขนาดน้ำหนักและระยะเพลาที่แน่นอน โดยได้มีการกำหนดตำแหน่งหยุดรถ ณ จุด ต่างๆที่พิจารณาแล้วว่าก่อให้เกิดภาระการรับน้ำหนักของ โครงสร้างที่เหมาะสมเพื่อทำการตรวจวัด พฤติกรรมการแอล์ตัว (Deflection) และหาค่าความเครียด (Strain) ของ โครงสร้างสะพาน ณ ตำแหน่งต่างๆ เมื่อมีน้ำหนักบรรทุกกระทำลงบนสะพานแบบสต็อก จากผลการทดสอบการกระจายตัวของน้ำหนักบรรทุก นั้นจะได้ว่ากรณีที่ทำให้แผ่นสะพานเกิดการโถงตัวมากที่สุดและก่อให้เกิดค่าความเค้นมากสุดที่จุด กึ่งกลางของสะพานคือกรณีที่มีรถบรรทุกสามคันวิ่งมาพร้อมกัน

กิตติ และ ทศพล (2009) พนว่าการประเมินความสามารถในการรับน้ำหนักบรรทุกของสะพาน โดยใช้หลักการของค่า Bridge load rating factor ที่ให้ไว้ตามมาตรฐานของ Manual for Condition Evaluation ของสมาคมทางหลวงและขนส่งแห่งประเทศไทย (AASHTO) พนว่าสะพานยัง สามารถรับน้ำหนักของรถบรรทุกได้ แต่อย่างไรก็ต้องประเมินจากน้ำหนักรถบรรทุกที่เกิดพิกัดภูมาย

พบว่าแม่สะพานจะสามารถรับน้ำหนักบรรทุกได้โดยไม่เกิดการวินติในทันที แต่สะพานอาจเกิดความเสียหายหรือมีอาชญาการใช้งานที่สั้นลงอย่างมีนัยสำคัญ โดยเฉพาะสะพานที่ความยาวช่วง 6-8 เมตร

1.3 วัตถุประสงค์ของการทดสอบ

- 1) เพื่อประเมินสภาพการใช้งานและความแข็งแรงของโครงสร้างสะพานคอนกรีตเสริมเหล็ก
- 2) เพื่อศึกษาและเปรียบเทียบปัจจัยในการทดสอบที่มีผลกระทบต่อผลการประเมินความแข็งแรงของโครงสร้างสะพานคอนกรีตเสริมเหล็ก
- 3) เพื่อศึกษาและนำเสนอวิธีการทดสอบความแข็งแรงของโครงสร้างสะพานคอนกรีตเสริมเหล็กให้เป็นแนวทางในการตรวจสอบที่เป็นมาตรฐานของประเทศไทยต่อไป

1.4 ขอบเขตของการวิจัย

- 1) โครงสร้างสะพานที่ทำการประเมินเป็นโครงสร้างสะพานคอนกรีตเสริมเหล็กที่มีพฤติกรรมแบบช่วงเดียวและมีแนวตอม่อตั้งนากับทิศทางขารขอของสะพาน
- 2) การตรวจวัดจริงจะพิจารณาเฉพาะในส่วนของช่วงสะพานหลัก (Main span) โดยจะทำการติดตั้งอุปกรณ์วัดค่าความเครียดและความเร่งเป็นหลัก
- 3) น้ำหนักบรรทุกมาจากการถอดรูแบบ 3 เพลา ที่ทราบขนาด น้ำหนัก และระยะเพลาที่แน่นอน
- 4) ทำการตรวจวัดผลตอบสนองจริงและการสร้างแบบจำลองทางคณิตศาสตร์เพื่อใช้ในการวิเคราะห์โดยเปรียบเทียบผลการทดสอบจากสะพานต่างๆ ในเขตจังหวัดชลบุรี จำนวน 3 สะพาน โดยแต่ละสะพานจะมีความยาวช่วงระหว่าง 10 - 30 เมตร (โครงการปีที่ 1 ทดสอบจำนวน 1 สะพาน และโครงการปีที่ 2 ทดสอบจำนวน 2 สะพาน)
- 5) การประเมินความแข็งแรงของสะพานจะวิเคราะห์ด้วยวิธีหน่วยแรงสูงสุด (ultimate strength analysis)
- 6) น้ำหนักบรรทุกในแบบจำลองเลือกใช้น้ำหนักบรรทุกตามมาตรฐาน AASHTO

1.5 ประโยชน์ที่คาดว่าจะได้รับ

- 1) สามารถประเมินความแข็งแรงของโครงสร้างสะพานคอนกรีตเสริมเหล็กกว่ามีความแข็งแรงเพียงพอใช้งานหรือไม่

- 2) เพื่อเป็นแนวทางในการศึกษาโครงสร้างสะพานคอนกรีตเสริมเหล็กที่มีอายุการใช้งานผ่านมา
ยาวนาน ว่ายังสามารถใช้งานได้อย่างปลอดภัยมากน้อยเพียงใด
- 3) เพื่อให้ได้ข้อมูลที่เป็นประโยชน์ในการซ่อมแซม บำรุงรักษาและประเมินอายุการใช้งานของ
สะพานคอนกรีตเสริมเหล็กได้

ซึ่งประโยชน์จากทั้งสามข้อดังกล่าวจะเป็นประโยชน์ในเชิงยุทธศาสตร์การพัฒนาประเทศ โดยผลการศึกษาที่ได้จากการวิจัยนี้ เมื่อนำไปประยุกต์ใช้ในการตรวจสอบและประเมินสภาพความเสียหายและกำลังของโครงสร้างสะพานคอนกรีตเสริมเหล็กในทางหลวง จะก่อให้เกิดประโยชน์ต่อภาครัฐ ในด้านการวางแผนงบประมาณการบำรุงรักษาซ่อมแซมทางหลวง และนำไปสู่การประหยัดงบประมาณประเทศได้เป็นจำนวนมาก อีกทั้งยังเป็นการสร้างความมั่นคงต่อเศรษฐกิจของประเทศไทยในด้านการขนส่ง คุณภาพและโลจิสติกส์ให้ดำเนินต่อไปได้อย่างมีประสิทธิภาพ อีกทั้งงานวิจัยนี้จะเกิดประโยชน์อย่างยิ่งต่อหน่วยงานราชการและรัฐวิสาหกิจที่เกี่ยวข้องกับงานทางหลวง, สมาคมวิศวกรรมโยธาและวิศวกรโยธา ทั่วไป โดยสามารถใช้เป็นฐานข้อมูลสำหรับงานตรวจสอบสภาพการใช้งานและความแข็งแรง และเป็นแนวทางในการออกแบบโครงสร้างสะพานคอนกรีตเสริมเหล็ก

1.6 ขั้นตอนการดำเนินการ

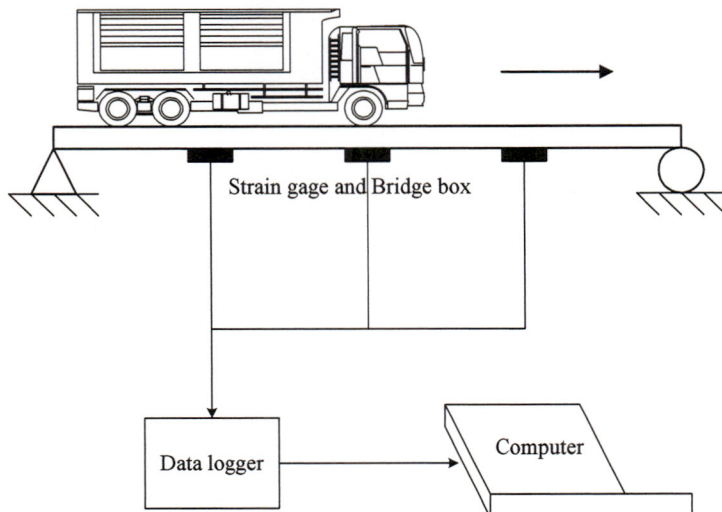
เพื่อให้การศึกษารั้งนี้เป็นไปตามวัตถุประสงค์ โครงการวิจัยจะทำการประเมินสภาพการใช้งาน และความแข็งแรงของโครงสร้างสะพานคอนกรีตเสริมเหล็ก โดยทำการเปรียบเทียบความสามารถในการรับน้ำหนักบรรทุกของสะพานเนื่องจากปัจจัยการเสื่อมสภาพที่แตกต่างกัน โดยจะทำการทดสอบสะพานจำนวน 3 สะพาน ที่สภาพการใช้งาน ปริมาณการจราจร และสภาพสิ่งแวดล้อม ที่แตกต่างกัน และทำการเปรียบเทียบผลกระทบที่มีต่อความเสื่อมสภาพของสะพานให้ได้ผลการวิจัยที่มีความเชื่อถือได้และสามารถเป็นแนวทางเพื่อวางแผนมาตรฐานการทดสอบของประเทศไทยได้ต่อไป รายละเอียดของวิธีการประเมินสภาพของแต่ละสะพาน สามารถแบ่งได้ดังนี้

1) การทดสอบการรับน้ำหนักบรรทุกจริงแบบสติติกของโครงสร้างสะพาน

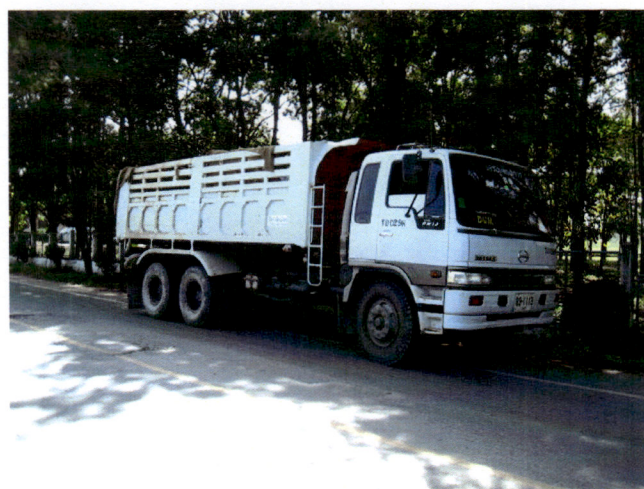
การทดสอบการรับน้ำหนักบรรทุกจริงของโครงสร้างสะพาน เป็นการทดสอบเพื่อศึกษา พฤติกรรมจริงของโครงสร้างสะพานภายใต้น้ำหนักที่กระทำโดยรถบรรทุกทดสอบ โดยผ่านผลการตอบสนองของโครงสร้างสะพานซึ่งสามารถนำมาอ้างอิงในการปรับแก้แบบจำลองในการวิเคราะห์ โครงสร้างสะพานได้รวมทั้งสามารถนำมาใช้ในการประเมินความแข็งแรงและความสามารถในการรับ

น้ำหนักของโครงสร้างสะพาน โดยรูปแบบการทดสอบในโครงการวิจัยนี้สามารถจำแนกออกได้เป็น 2 ประเภทด้วยกัน ได้แก่

- การทดสอบแบบสถิติ (Static load test) เป็นการทดสอบเพื่อศึกษาและวิเคราะห์พฤติกรรมการเสียรูปของโครงสร้างสะพาน เนื่องจากการรับน้ำหนักของรถบรรทุกทดสอบที่หยุดนิ่งตามตำแหน่งต่างๆ บนสะพาน
- การทดสอบแบบพลวัต (Dynamic load test) เป็นการทดสอบเพื่อศึกษาและวิเคราะห์พฤติกรรมการเสียรูปของโครงสร้างสะพาน เนื่องจากการรับน้ำหนักของรถบรรทุกทดสอบที่เคลื่อนที่บนสะพานด้วยความเร็วต่างๆ ตามที่กำหนด



รูปที่ 1.1 ระบบพื้นฐานในการตรวจผลตอบสนองของสะพาน



รูปที่ 1.2 ลักษณะตัวอย่างรถบรรทุกสิบล้อที่ใช้ทดสอบ

2) สร้างแบบจำลองทางคณิตศาสตร์ของโครงสร้างสะพาน

ในการวิเคราะห์โครงสร้างสะพานเพื่อหาค่าแรงภายในที่เกิดขึ้นเนื่องจากน้ำหนักบรรทุกที่ใช้ทดสอบนี้ จะต้องทำการจำลองโครงสร้างสะพานจริงให้อยู่ในรูปแบบจำลองทางคณิตศาสตร์ และใช้สมการพื้นฐานจากสภาวะสมดุลของแรง และทำการวิเคราะห์โดยให้น้ำหนักบรรทุกกระทำต่อโครงสร้างสะพาน และคำนวณค่าแรงภายในที่เกิดขึ้นออกมานี้ โดยขั้นตอนการจำลองเพื่อการวิเคราะห์โครงสร้างสะพานจะแบ่งเป็น 3 ส่วน ดังนี้

- การจำลองแบบจำลองโครงสร้างสะพาน

ในการสร้างแบบจำลองโครงสร้างสะพาน สิ่งสำคัญที่จำเป็นจะต้องทราบคือขนาดทางเรือคณิตตามโครงสร้างจริงของสะพาน อาจจะอ้างอิงได้จากแบบก่อสร้าง แต่ถ้าไม่มีแบบก่อสร้างสะพานจำเป็นต้องทำการตรวจวัดขนาดโครงสร้างตามความเป็นจริง และต้องทราบค่าคุณสมบัติของวัสดุของสะพาน นั่นคือค่ากำลังวัสดุหรือค่าโมดูลัสยึดหยุ่นของวัสดุที่ใช้ในสะพานจริง และส่วนหนึ่งที่สำคัญคือสภาพที่รองรับซึ่งจะเป็นตัวกำหนดคุณติกรรมของโครงสร้างซึ่งโดยทั่วไปจะต้องอ้างอิงกับแบบก่อสร้างหรือสภาพโครงสร้างสะพานจริงเพื่อเป็นข้อมูลเบื้องต้นที่สำคัญต่อการสร้างแบบจำลองเพื่อวิเคราะห์โครงสร้างให้มีความถูกต้องและแม่นยำ

- การจำลองน้ำหนักบรรทุกทดสอบ

ในการประเมินสภาพการใช้งานของสะพานนี้ เพื่อให้สอดคล้องกับสภาพการใช้งานจริง ในปัจจุบันของประเทศไทย จะใช้รถบรรทุกสิบล้อไทย (Thai truck) และอ้างอิงค่าน้ำหนักจากประกาศกรมทางหลวงปี 2548 ที่ใช้น้ำหนักบรรทุกที่ 25 ตัน เป็นตัวกำหนดตามกฎหมาย โดยทำการสมนติให้น้ำหนักเพลาของรถบรรทุกทดสอบเป็นแรงกระทำแบบจุด

- การปรับเทียบแบบจำลองสะพานจากผลการทดสอบ

จากข้อมูลการทดสอบที่ได้ แบบจำลองทางคณิตศาสตร์ของสะพานจะถูกนำไปปรับเทียบเพื่อให้มีพฤติกรรมที่สอดคล้องกับสภาพจริงมากที่สุด โดยทำการปรับเทียบคุณสมบัติทางโครงสร้างจากค่าผลตอบสนองที่ตรวจวัดได้

3) ทำการคำนวณค่าบ่งชี้ความสามารถในการรับน้ำหนักบรรทุกของสะพาน

จากแบบจำลองทางคณิตศาสตร์ของโครงสร้างสะพานที่ทำการปรับเทียบแล้ว เมื่อทำการวิเคราะห์ค่าแรงภายในสูงสุดซึ่งประกอบด้วย แรงเนื้อน้ำหนักสูงสุดและโมเมนต์ด้านสูงสุดในพื้นและคาน แรงในแนวแกนหรือแรงอัดสูงสุดของเสา จากนั้นทำการวิเคราะห์ค่าหน่วยแรงเค้นสูงสุด จะได้ค่าบ่งชี้ความสามารถในการรับน้ำหนักบรรทุกของสะพานที่ทดสอบ

4) ประเมินสภาพการใช้งานและความแข็งแรงของสะพาน

เนื่องจากโครงสร้างสะพานแต่ละตัวมีอัตราการเสื่อมสภาพที่แตกต่างกันเนื่องจากปัจจัยหลายอย่างด้วยกัน เช่น ปริมาณการจราจร, น้ำหนักบรรทุกของยานพาหนะ, รูปแบบทางโครงสร้าง, อายุของสะพาน และผลกระทบทางสิ่งแวดล้อม เป็นต้น โครงการวิจัยนี้จะทำการประเมินสะพานที่มีปัจจัยดังกล่าวที่แตกต่างกันเพื่อทำการเปรียบเทียบผลกระทบที่มีต่อสภาพการใช้งานและความแข็งแรงของโครงสร้างให้ได้ผลการศึกษาที่มีประสิทธิภาพและเชื่อถือได้

5) วิเคราะห์และสรุปผลการวิจัย และจัดทำรายงานฉบับสมบูรณ์

ทำการวิเคราะห์ จัดทำข้อสรุปผลการวิจัย เสนอเป็นแนวทางในการทดสอบสำหรับใช้ในการประเมินสภาพการใช้งานและความแข็งแรงทางโครงสร้างของสะพานคอนกรีตเสริมเหล็กต่อไป และจัดทำรายงานฉบับสมบูรณ์

บทที่ 2

ทฤษฎีที่เกี่ยวข้อง

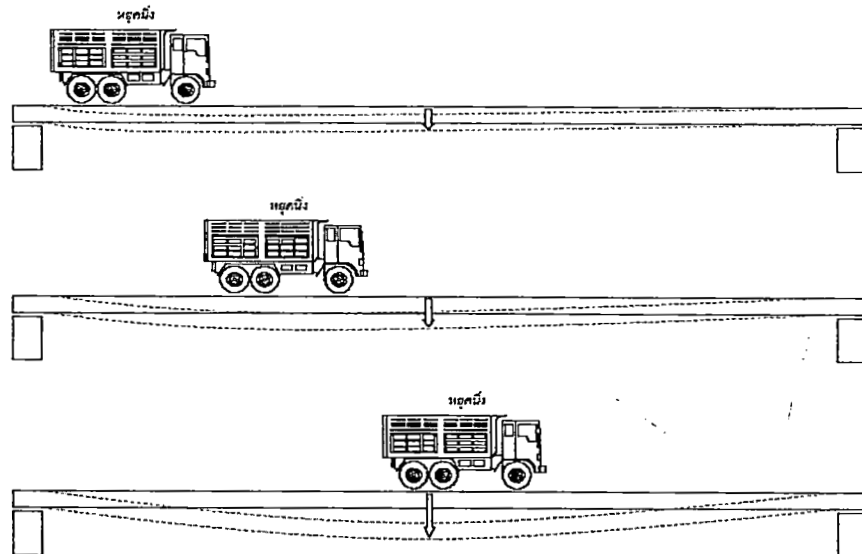
การทดสอบการรับน้ำหนักบรรทุกจริงของโครงสร้างสะพาน (Bridge load test) เป็นการทดสอบเพื่อศึกษาพฤติกรรมและการตอบสนองของโครงสร้างสะพานภายใต้น้ำหนักบรรทุกจากรถบรรทุกทดสอบ โดยนำค่าที่ได้จากการทดสอบมาทำแบบจำลองโครงสร้าง เพื่อประเมินความแข็งแรงและความสามารถในการรับน้ำหนักบรรทุก ตลอดจนอายุของสะพาน เพื่อนำข้อมูลที่ได้มาใช้เป็นข้อมูลอ้างอิงในการดูแลรักษา การซ่อมบำรุง และความปลอดภัยในการใช้งาน โดยในการทดสอบการรับน้ำหนักบรรทุกจริงของโครงสร้างสะพานสามารถแบ่งออกเป็น 2 ประเภท ตามลักษณะของน้ำหนักที่ทำการทดสอบดังนี้

- 1) การทดสอบภายใต้แรงกระทำแบบสติติก (Static load test) เป็นการทดสอบเพื่อศึกษาและวิเคราะห์การเสียรูปของโครงสร้างสะพานจากการรับน้ำหนักบรรทุกทดสอบที่จะหยุดนิ่งตามตำแหน่งต่าง ๆ ที่ได้กำหนดไว้บนสะพาน
- 2) การทดสอบภายใต้แรงกระทำแบบพลวต (Dynamic load test) เป็นการทดสอบเพื่อศึกษาและวิเคราะห์การเสียรูปของโครงสร้างสะพานจากการรับน้ำหนักบรรทุกทดสอบขณะเคลื่อนที่ผ่านตำแหน่งที่กำหนดไว้บนสะพานด้วยความเร็วต่าง ๆ ตามที่กำหนด

2.1 การทดสอบการรับน้ำหนักบรรทุกจริงแบบสติติก

เป็นการทดสอบเพื่อศึกษาและวิเคราะห์พฤติกรรมการเสียรูปของโครงสร้างสะพาน อันเนื่องจากน้ำหนักของรถบรรทุกทดสอบและตำแหน่งที่น้ำหนักบรรทุกทดสอบกระทำต่อสะพาน โดยในการทดสอบจะนำรถบรรทุกที่มีขนาดบรรทุกตามที่กำหนด มาหยุดที่ตำแหน่งต่าง ๆ บนโครงสร้างสะพาน ดังแสดงในรูปที่ 2.1

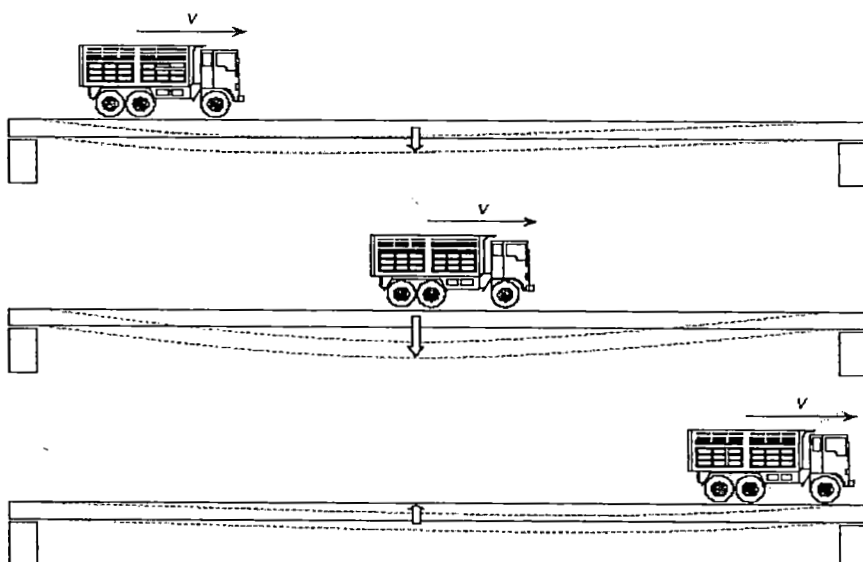
โดยในแต่ละตำแหน่งที่หยุดรถ จะทำการตรวจวัดและบันทึกค่าการเสียรูปของโครงสร้างสะพาน ได้แก่ ค่าความเครียด (Strain) และค่าการแย่นตัวตามแนวตั้ง (Vertical displacement) จากข้อมูลที่ได้จากการตรวจวัดนี้ จะสามารถนำมาทำการวิเคราะห์และแสดงให้อ่ายในรูปของความสัมพันธ์ต่าง ๆ ได้ เช่น ความสัมพันธ์ระหว่างค่าความเครียดกับตำแหน่งของรถบรรทุกทดสอบ, ความสัมพันธ์ระหว่างค่าการแย่นตัวตามแนวตั้งกับตำแหน่งของรถบรรทุกทดสอบ เป็นต้น



รูปที่ 2.1 การทดสอบโครงสร้างสะพานด้วยน้ำหนักบรรทุกแบบสถิติที่ตัวแน่นต่าง ๆ บนสะพาน

2.2 การทดสอบการรับน้ำหนักบรรทุกจริงแบบพลวติ

การทดสอบการรับน้ำหนักบรรทุกจริงแบบพลวติ เป็นการทดสอบเพื่อศึกษาการตอบสนองของโครงสร้างสะพานและการเสียรูปเชิงพลวตของโครงสร้างสะพานอันเนื่องมาจากน้ำหนักและความเร็วของรถบรรทุกทดสอบที่เคลื่อนที่บนสะพาน โดยในการทดสอบจะนำรถบรรทุกทดสอบที่มีขนาดบรรทุกตามที่กำหนด มาเคลื่อนที่บนสะพานผ่านจุดที่ได้ทำการติดตั้งอุปกรณ์ตรวจวัดด้วยความเร็วต่าง ๆ กัน สะพานจะเกิดการสั่นไหวเนื่องจากการเคลื่อนที่ของรถบรรทุก ดังแสดงในรูปที่ 2.2



รูปที่ 2.2 การทดสอบโครงสร้างสะพานด้วยน้ำหนักบรรทุกแบบพลวติที่ตัวแน่นต่าง ๆ บนสะพาน

โดยในแต่ละความเร็วของรอบบรรทุกทดสอบที่เคลื่อนที่บนสะพาน จะทำการตรวจวัดค่าความเร่งของการเคลื่อนที่ในแนวตั้ง (Vertical acceleration) ซึ่งจากข้อมูลที่ได้จากการตรวจวัดนี้ จะสามารถวิเคราะห์ค่าคุณสมบัติทางกลศาสตร์ของโครงสร้างสะพานได้คือ ค่าความถี่ธรรมชาติ (Natural frequency) ของสะพาน

2.3 การหาคุณสมบัติพื้นฐานเชิงกลของสะพาน

ในขั้นตอนการวิเคราะห์โครงสร้างเพื่อประเมินคุณสมบัติทางกลศาสตร์ของโครงสร้างสะพาน เพื่อนำไปใช้ในการคำนวณระดับความแข็งแรงนั้น จะต้องทราบค่าผลตอบสนองหรือแรงภายในของชิ้นส่วนโครงสร้างที่ต้องการประเมินเสียก่อน ซึ่งผลตอบสนองโครงสร้างในที่นี้ได้แก่ การโถงตัว, ความเครียด และแรงภายในได้แก่ แรงเนื้อน และโมเมนต์ตัว ซึ่งการตรวจวัดค่าตัวแปรต่าง ๆ เหล่านี้ สามารถตรวจวัดได้โดยการใช้อุปกรณ์วัดการเปลี่ยนตำแหน่ง (displacement transducer), อุปกรณ์วัดความเครียด (strain gauge) เป็นต้น และจากผลตอบสนองที่ตรวจวัดได้จะถูกนำมาคำนวณเป็นแรงภายใน เพื่อใช้ประเมินค่าโครงสร้างที่ทดสอบนั้นเกิดหน่วยแรงขึ้นมากน้อยเพียงใด และเปรียบเทียบกับเกณฑ์มาตรฐานเพื่อได้ค่าบ่งชี้ระดับความแข็งแรงของโครงสร้างต่อไป

อย่างไรก็ตาม โครงสร้างสะพานที่จะวิเคราะห์ระดับความแข็งแรงนั้น จำเป็นจะต้องมีการปรับเทียบเพื่อให้ได้คุณสมบัติพื้นฐานเชิงกลที่สำคัญเสียก่อน ซึ่งได้แก่ การอิลาสติกโมดูลัส (Elastic modulus, E), ค่าโมเมนต์ความเมื่อยของหน้าตัด (Moment of inertia, I) ค่าความถี่ธรรมชาติ (Natural frequency, f) ของโครงสร้าง ซึ่งค่าอิลาสติกโมดูลัส และค่าโมเมนต์ความเมื่อย สามารถหาได้จากการทดสอบแบบสติติก ในขณะที่ค่าความถี่ธรรมชาติสามารถหาได้จากการทดสอบแบบพลวต

2.3.1 การหาคุณสมบัติพื้นฐานจากการทดสอบน้ำหนักบรรทุกแบบสติติก

การทดสอบภายใต้น้ำหนักบรรทุกแบบสติติกจะทำโดยใช้หลักการความสัมพันธ์ระหว่างน้ำหนักบรรทุกกระทำภายนอก (External load) และแรงภายใน (Internal force) หรือการเปลี่ยนรูปร่างของโครงสร้าง (Deformation) โดยทำการตรวจวัดการเปลี่ยนรูปที่เกิดขึ้น เนื่องจากน้ำหนักบรรทุกกระทำที่ทราบค่า และปรับเทียบค่าอิลาสติกโมดูลัส และค่าโมเมนต์ความเมื่อยให้สอดคล้องกับพฤติกรรมทางทฤษฎี เพื่อนำไปสร้างแบบจำลองที่ใช้ในการวิเคราะห์ระดับความแข็งแรงต่อไป

ในที่นี้จะทำการตรวจวัดค่าการโถงตัวของสะพาน (Deflection) โดยใช้อุปกรณ์วัดการเปลี่ยนตำแหน่ง (Displacement transducer) ซึ่งคิดตั้งที่ได้สะพาน ร่วมกับการวัดค่าความเครียด (Strain) โดยใช้

อุปกรณ์วัดความเครียด (Strain gauge) ชี้งติดตั้งที่ผิวล่างของพื้นสะพาน โดยอาศัยความสัมพันธ์ระหว่างความเค้นและความเครียดตามกฎของ勾 (Hooke's law) ดังสมการที่ (2.1) และทฤษฎีอิลาสติกของคาน

$$\sigma = E\varepsilon \quad (2.1)$$

เมื่อ	σ	คือ ความเค้น (Stress)
	ε	คือ ความเครียด (Strain)
	E	คือ โมดูลัสยึดหยุ่น (Modulus of Elasticity หรือ Young's Modulus)

และจากสมการความเค้นดัด (Bending Stress) จะได้ว่า

$$\sigma = \frac{Mz}{I} \quad (2.2)$$

เมื่อ	M	คือ โมเมนต์ดัดที่จุดตัดที่พิจารณา (Moment at cross-section)
	z	คือ ระยะจากแกนสะเทิน (Neutral axis) ถึงผิวล่างสุด
	I	คือ ค่าโมเมนต์ความเรื้องรอบแกนสะเทิน (Moment of inertia)

จากสมการที่ (2.1) และ (2.2) สามารถจัดรูปใหม่ได้ว่าความสัมพันธ์ระหว่างความเครียดและโมเมนต์ดัด

$$M = \left(\frac{EI}{z} \right) \varepsilon \quad (2.3)$$

จากสมการที่ (2.3) จะพบว่าความสัมพันธ์ระหว่างความเครียดและโมเมนต์ดัดสัมพันธ์กันแบบเชิงเส้น สำหรับพฤติกรรมของวัสดุในช่วงอิลาสติกเชิงเส้น และจากทฤษฎีอิลาสติกของคาน

$$\frac{d^2y}{dx^2} = \frac{M}{EI} \quad (2.4)$$

เมื่อแทนค่าสมการที่ (2.3) ลงในสมการที่ (2.4) จะได้ความสัมพันธ์ระหว่างความเครียดและการโก่งตัว

$$\frac{d^2y}{dx^2} = \frac{\varepsilon}{z} \quad (2.5)$$

ซึ่งจากสมการที่ (2.3) และสมการที่ (2.4) หมายความว่าหากต้องการทราบค่าความเครียดและโมเมนต์คดที่จุดใด ๆ ของหน้าตัดสะพาน สามารถหาได้จากการโก่งตัวและในทำนองเดียวกันหากตรวจวัดค่าความเครียดจะสามารถคำนวณหาค่าการโก่งตัวและโมเมนต์คดได้

2.3.2 การหาคุณสมบัติพื้นฐานจากการทดสอบน้ำหนักบรรทุกแบบพลวตติ

ค่าความถี่ธรรมชาติ (Natural frequency) ของโครงสร้างสะพานเป็นคุณสมบัติพื้นฐานที่บ่งบอกถึงพฤติกรรมการสั่นสะเทือนของโครงสร้าง และสามารถใช้ในการสังเกตระดับความเสียหายของโครงสร้างได้ เนื่องจากค่าความถี่ธรรมชาติจะขึ้นกับมวล (m) และสติฟเนส (k) ของโครงสร้างดังสมการที่ (2.6) สำหรับกรณีเดียว (Single-degree of freedom)

$$\omega = 2\pi f = \sqrt{\frac{k}{m}} \quad (2.6)$$

ซึ่งค่าสติฟเนสเป็นพารามิเตอร์ซึ่งบ่งบอกถึงความแข็งของส่วนโครงสร้าง โดยอยู่ในรูปของปัจจัยที่เกี่ยวข้องได้แก่ ค่าอัลตราสหิงโนดูลัสของวัสดุ (E) ค่าโมเมนต์ความเฉื่อยของหน้าตัด (I) และความยาวของชิ้นส่วนโครงสร้าง (L) ทั้งนี้สมการที่ (2.6) อาจแปลงให้อยู่ในรูปเชิงใหม่ด้วยการบัญหารแบบต่อเนื่อง (continuous) ได้ดังสมการที่ (2.7)

$$\omega = 2\pi f = \frac{n^2 \pi^2}{L^2} \sqrt{\frac{EI}{\rho}} \quad (2.7)$$

โดยที่ n คือ荷重ของการสั่นไหวของโครงสร้าง

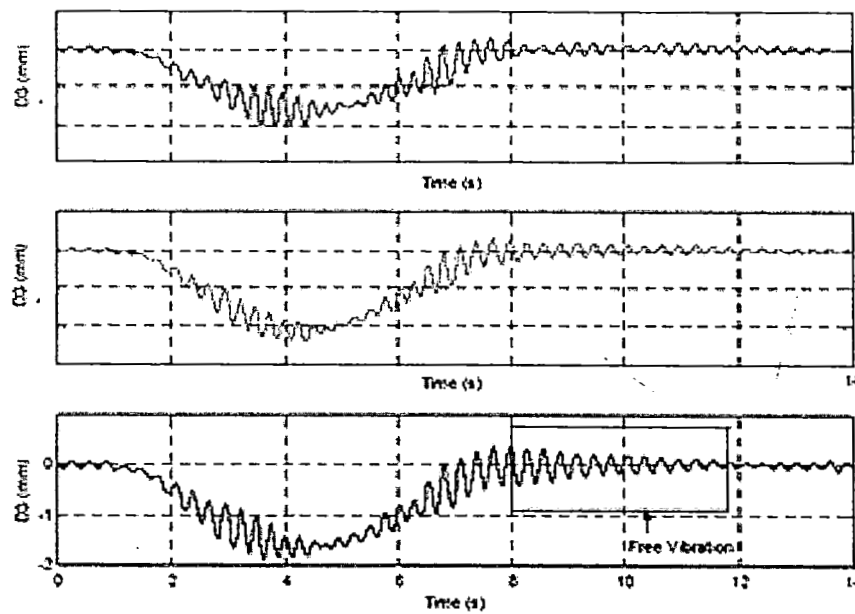
ρ คือมวลต่อหน่วยความยาวของโครงสร้าง

จากสมการที่ (2.7) จะพบว่าหากโครงสร้างมีการเสื่อมสภาพลง ความแข็งแรงหรือสติฟเนสของโครงสร้างจะมีค่าลดลง เป็นเหตุให้ค่าความถี่ธรรมชาติของโครงสร้างลดลงด้วย ดังนั้นจึงอาจสังเกตระดับการเสื่อมสภาพของโครงสร้างได้จากค่าความถี่ธรรมชาติที่เปลี่ยนแปลงไปนั่นเอง

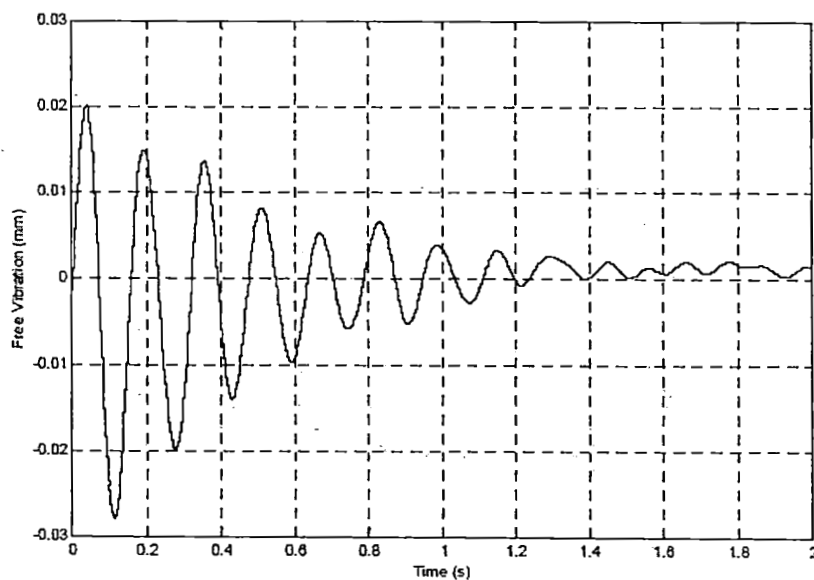
อีกทั้งจากการที่ (2.7) ยังบ่งบอกว่าการปรับเทียบคุณสมบัติเชิงกลซึ่งได้แก่ ค่าอิตาสติกโมดูลัส (E) และค่าโมเมนต์ความเฉื่อย (I) นั้นหากปรับเทียบจากการทดสอบทางสติ๊ฟเพียงอย่างเดียว ค่าที่ได้อาจไม่สอดคล้องกับค่าความถี่ธรรมชาติจริงของโครงสร้าง ดังนั้นจึงต้องมีการปรับเทียบจากการทดสอบแบบพลวตควบคู่กันไปด้วย เพื่อให้ได้คุณสมบัติพื้นฐานของโครงสร้างที่ถูกต้องที่สุด

การทดสอบหาค่าความถี่ธรรมชาติสามารถกระทำได้โดยทำการทดสอบแบบการสั่นไหวอิสระ (Free vibration) ด้วยการกระตุนค่าตอบสนองเริ่มต้น (Initial condition) ให้แก่โครงสร้าง และตรวจวัดความการสั่นสะเทือนที่เกิดขึ้นแล้วจึงแปลงเป็นค่าความถี่ โดยอาจต้องอุปกรณ์ตรวจวัดประเภทตัววัดความเร่ง (Accelerometer) เพื่อให้ได้ค่าความเร่งของการสั่นสะเทือนที่ชัดเจน หรืออาจวิเคราะห์จากสัญญาณตรวจวัดที่ได้จากการอุปกรณ์วัดการเปลี่ยนตำแหน่งหรืออุปกรณ์วัดความเครียดก็ได้ แต่อาจมีความละเอียดที่ต่ำกว่า

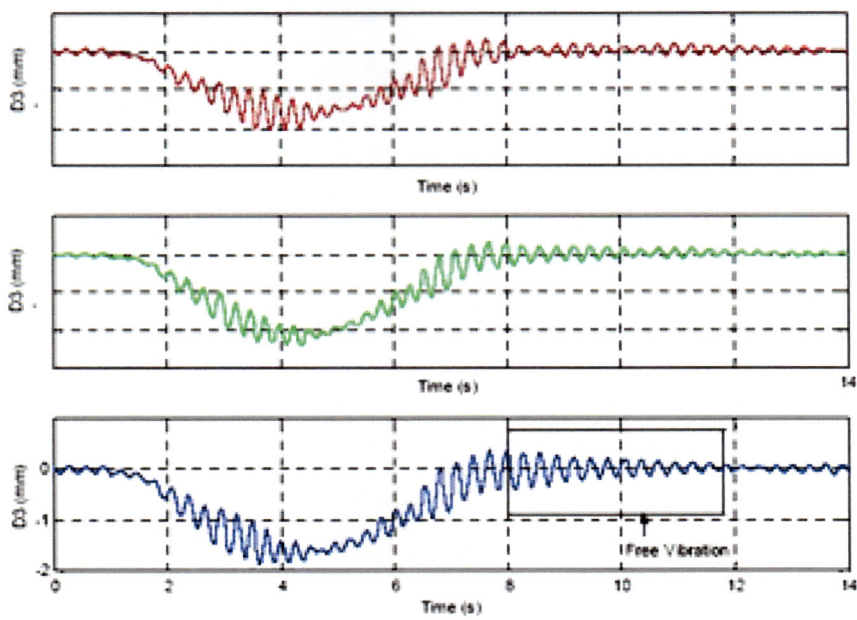
การวิเคราะห์ค่าความถี่ธรรมชาติของโครงสร้างสะพานจากข้อมูลการตรวจวัด ทำได้โดยนำข้อมูลที่บันทึกได้จากการตรวจชี้งอยู่ในรูปของประวัติเวลา (Time history) ของข้อมูลต่าง ๆ โดยพิจารณาการสั่นไหวในช่วงการสั่นแบบอิสระมาแปลงให้อยู่ในรูปของโดเมนของความถี่ (Frequency domain) โดยการแปลงฟูเรียร์ (Fourier transform) ตัวอย่างประวัติเวลาของ การแอ่นตัวเนื่องจากระบบบรรทุกทดสอบเคลื่อนที่บนสะพาน และการสั่นไหวแบบอิสระของโครงสร้างสะพานดังแสดงในรูปที่ 2.3 และ 2.4 จากนั้นพิจารณาค่าความถี่ที่มีขนาดของค่าสัมประสิทธิ์ฟูเรียร์สูงสุดจากราฟ จะเป็นค่าความถี่ธรรมชาติของโครงสร้างสะพาน โดยตัวอย่างข้อมูลที่แปลงให้อยู่ในโดเมนของความถี่ โดยการแปลงฟูเรียร์ดังแสดงในรูปที่ 2.5



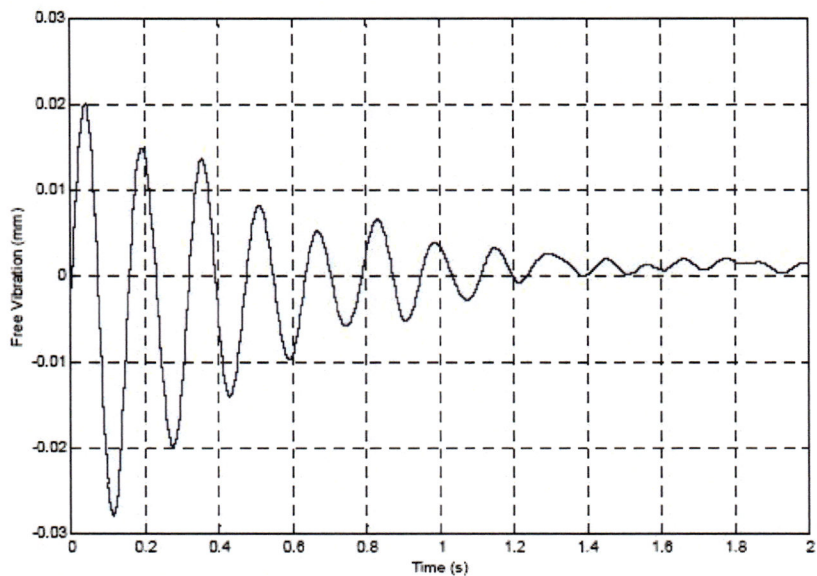
รูปที่ 2.3 ตัวอย่างประวัติเวลาของการแอนต์วายดิ้งที่ได้จากการตรวจ



รูปที่ 2.4 ตัวอย่างการสั่นไหวแบบอิสระของโครงสร้างสะพาน



รูปที่ 2.3 ตัวอย่างประวัติเวลาของการแอนตัวในแนวคิ่งที่ได้จากการตรวจวัด



รูปที่ 2.4 ตัวอย่างการสั่นไหวแบบอิสระของโครงสร้างสะพาน

- เมื่อ A_s คือ พื้นที่หน้าตัดของเหล็กเสริม
 f_y คือ กำลังรับแรงดึงของเหล็กเสริม
 f'_c คือ กำลังรับแรงอัดของคอนกรีต
 β_1 คือ ตัวคูณลดกำลัง (ใช้ 0.85 เมื่อ $f'_c < 280 \text{ ksc}$)
 b คือ ความกว้างของหน้าตัด

นำค่า c ที่ได้จากสมการ (2.8) มาใช้เพื่อหาค่า a จากสมการที่ (2.9)

$$a = c\beta_1 \quad (2.9)$$

นำค่า a ที่ได้จากสมการ (2.9) มาใช้เพื่อหากำลังต้านทานแรงดัด หรือโมเมนต์ดัดที่หน้าตัดสามารถรับได้จากสมการที่ (2.10)

$$M_n = A_s f_y \left(d - \frac{a}{2} \right) \quad (2.10)$$

- เมื่อ M_n คือ กำลังต้านทานแรงดัด
 d คือ ระยะจากผิวนอกของคอนกรีตถึงตำแหน่งศูนย์กลางของเหล็กเสริม

จากนี้จึงนำค่ากำลังต้านทานแรงดัดที่ได้จากสมการ (2.10) ไปใช้ประกอบในการหาค่าบ่างชี้ความสามารถในการรับน้ำหนักบรรทุกต่อไป

2.4.2 กำลังต้านทานแรงเฉือน (Shear strength)

กำลังต้านทานแรงเฉือนคือกำลังต้านทานแรงเฉือนสูงสุดของหน้าตัดที่เกิดขึ้นในแผ่นพื้นหรือชิ้นส่วนคนซึ่งกระทำในแนวตั้งจากกับความยาวชิ้นส่วน สามารถคำนวณได้จากสมการ

$$V_c = 0.53 \sqrt{f'_c b d} \quad (2.11)$$

เมื่อ	V_c	คือ กำลังต้านทานแรงเฉือน
	f'_c	คือ กำลังรับแรงอัดของคอนกรีต
	b	คือ ความกว้างของหน้าตัด
	d	คือ ระยะจากผิวนอกของคอนกรีตถึงตำแหน่งศูนย์กลางของเหล็กเสริม

จากนั้นจึงนำค่ากำลังต้านทานแรงเฉือนที่ได้จากสมการ (2.11) ไปใช้ประกอบในการหาค่าบ่งชี้ความสามารถในการรับน้ำหนักบรรทุกต่อไป

2.5 ค่าบ่งชี้ความสามารถในการรับน้ำหนักบรรทุก (Load Rating Factor, RF)

ค่า Load rating factor (RF) เป็นค่าที่บ่งชี้ถึงความสามารถในการรับน้ำหนักบรรทุกของสะพานโดยจะบอกเป็นค่าอัตราส่วนของความสามารถในการรับน้ำหนักบรรทุกของชิ้นส่วนโครงสร้างสะพานหักลงด้วยผลของน้ำหนักบรรทุกคงที่ต่อน้ำหนักบรรทุกจริงที่กำหนดไว้ของสะพานนั้นๆ โดยปกติแล้วแต่ละชิ้นส่วนจะมีค่า RF ต่างกันตามกำลังรับน้ำหนักของแต่ละชิ้นส่วนโครงสร้าง ซึ่งค่าที่ใช้แสดงจะเป็นค่าที่น้อยที่สุดของชิ้นส่วนโครงสร้างในสะพานนั้น ค่า Bridge load rating factor ตามมาตรฐาน American Association States Highway and Transportation Officials (AASHTO) ได้แบ่งวิธีการในการประเมินความสามารถในการรับน้ำหนักของโครงสร้างสะพานออกเป็น 2 ระดับตามความถี่ในการใช้งานของสะพานที่แตกต่างกันดังนี้

- **Inventory level** เป็นระดับในการใช้งานสะพานโดยปลดล็อค ภายใต้น้ำหนักบรรทุกจากข่ายพาหนะในสภาวะปกติ ตลอดอายุการใช้งานของสะพาน
- **Operating level** เป็นระดับการใช้งานของสะพานโดยปลดล็อค ภายใต้น้ำหนักบรรทุกจนสูงสุดที่ยอมให้จากข่ายพาหนะในสภาวะที่ไม่ปกติ หรือสภาวะที่ยอมให้เกิดเป็นครั้งคราว โดยหากระดับน้ำหนักบรรทุกในสภาวะไม่ปกติดังกล่าว ยังไม่ทำให้เกิดผลกระทบประเมินโครงสร้างสะพานที่ Operating level ได้ค่า Rating factor น้อยกว่า 1.0 แสดงว่าโครงสร้างสะพานยังไม่เกิดการวินาศ (Collapse) ที่ระดับน้ำหนักบรรทุกนั้นๆ แต่อาจจะเกิดความเสียหายต่อโครงสร้างสะพาน (Structural damages) ได้

มาตรฐาน AASHTO ได้กำหนดให้ค่ากำลังรับน้ำหนักบรรทุกที่ยอมให้ของชิ้นส่วนโครงสร้าง สะพานไดๆ ในระดับ inventory level มีค่าเท่ากับค่ากำลังรับน้ำหนักที่ยอมให้ตามมาตรฐานการออกแบบ ในขณะที่ค่ากำลังรับน้ำหนักบรรทุกในระดับ Operating level จะยอมให้มีค่าสูงขึ้นกว่าค่าเดียวกันในระดับ Inventory level เช่น กำลังรับแรงดึงที่ยอมให้ของเหล็กโครงสร้างในระดับ Inventory level มีค่าเป็น 0.55 เท่าของค่ากำลังดึงคราก ในขณะที่จะมีค่าเป็น 0.75 เท่าของค่ากำลังดึงครากสำหรับระดับ Operating level และมาตรฐาน AASHTO ยังได้ให้ทางเลือกในการประเมินความสามารถในการรับน้ำหนักของโครงสร้างไว้ 2 วิธี ดังนี้

2.5.1 วิธีหน่วยแรงที่ยอมให้ (Allowable Stress Method, AS)

เป็นวิธีที่วิเคราะห์โครงสร้างสะพานภายใต้หน่วยแรงขณะใช้งาน โดยที่พฤติกรรมของโครงสร้างสะพานยังอยู่ในช่วงยืดหยุ่นเชิงเส้น ค่า Rating factor ในกรณีจะพิจารณาเมื่อค่าหน่วยแรงสูงสุดที่เกิดขึ้นเนื่องจากน้ำหนักบรรทุกทั้งหมดที่กระทำต่อโครงสร้างสะพาน (ไม่คูณค่า Load factor) ทั้งน้ำหนักบรรทุกคงที่และน้ำหนักบรรทุกเคลื่อนที่เท่ากับค่าหน่วยแรงที่ยอมให้ตามทฤษฎี (ไม่คูณค่า Reduction factor) ดังสมการที่ (2.12)

$$RF = \frac{R - D}{L(1 + I)} \quad (2.12)$$

โดยที่ R = หน่วยแรงที่ยอมให้ของชิ้นส่วนโครงสร้าง

D = ผลของน้ำหนักบรรทุกตายตัว (Dead load) ต่อชิ้นส่วนโครงสร้าง

L = ผลของน้ำหนักบรรทุกจร (Live load) ต่อชิ้นส่วนโครงสร้าง

I = ตัวคูณเนื่องจากการกระจายของน้ำหนักบรรทุกจร = $\frac{15.2}{l + 38}$

l = ความยาวช่วงสะพานในหน่วยเมตร โดยมีค่าไม่เกิน 1.3 ซึ่งเป็นค่าสูงสุด

RF = ค่า Rating factor สำหรับกำลังรับน้ำหนักบรรทุกจรที่ใช้คำนวณ Rating factor เช่น น้ำหนัก HS20-44 หรือน้ำหนักรถลิบล้อมาตรฐานที่กำหนดโดยกรมทางหลวง ชนบท หรือกรมทางหลวงเป็นต้น

2.5.2 วิธีตัวคูณน้ำหนักบรรทุก (Load factor rating method, LFR)

เป็นวิธีที่วิเคราะห์โครงสร้างสะพานภายใต้น้ำหนักบรรทุกที่เพิ่มค่า และพิจารณาพฤติกรรมของโครงสร้างสูงขึ้นจนถึงช่วงไม่มีเดิน (Inelastic behavior) หรือวิธีของ American Association of State Highway and Transportation Officials (AASHTO) ซึ่งวิธีนี้เป็นวิธีมาตรฐานของประเทศไทย ค่า Rating Factor ในที่นิยมใช้อย่างอิงเป็นมาตรฐานที่แพร่หลายในหลายประเทศรวมทั้งประเทศไทย ค่า Rating Factor ในกรณีนี้จะพิจารณาเมื่อค่าหน่วยแรงสูงสุดที่เกิดขึ้นเนื่องจากผลกระทบของน้ำหนักบรรทุกที่เพิ่มค่าแล้ว ทั้งหมด มีค่าเท่ากับค่ากำลังรับน้ำหนักของโครงสร้างที่ได้มีการปรับลดค่าเหลือ ซึ่งแสดงได้ดังสมการที่ (2.13)

$$RF = \frac{\phi R_n - \gamma_D D}{\gamma_L L(1+I)} \quad (2.13)$$

โดยที่ RF = ค่า Rating factor สำหรับกำลังรับน้ำหนักบรรทุกจรที่ใช้คำนวณ Rating factor เช่น น้ำหนัก HS20-44 หรือน้ำหนักรถลิบล้อมาตรฐานที่กำหนดโดยกรมทางหลวงเป็นต้น

R_n = กำลังรับน้ำหนักของชิ้นส่วนโครงสร้าง

ϕ = ตัวคูณลดกำลังของชิ้นส่วน

γ_D = ตัวคูณสำหรับน้ำหนักบรรทุกคงที่ (ใช้ค่า 1.3 ตามมาตรฐาน AASHTO)

γ_L = ตัวคูณสำหรับน้ำหนักบรรทุกจร (ใช้ค่า 2.17 ตามมาตรฐาน AASHTO)

อ้างอิงตามมาตรฐาน Manual for condition evaluation of bridge (AASHTO, 2000) จะสามารถคำนวณค่า Rating factor (RF) สำหรับ Inventory level และ Operating level ได้ดังสมการ (2.14) และ (2.15) ดังนี้

$$RF_{INVENTORY} = \frac{\phi R_n - 1.3D}{2.17L(1+I)} \quad (2.14)$$

$$RF_{OPERATING} = \frac{\phi R_n - 1.3D}{1.3L(1+I)} \quad (2.15)$$

2.5.3 ຄໍາປ່ຽນຕາມມາຕຽບສູ່ອັກສອນທາງລວງຂອງປະເທດເກາຮີ (Korean Standards Specifications for Highway Bridges)

ເປັນມາຕຽບສູ່ອັກສອນຈາກຄະທຽບຄນນາຄມຂອງປະເທດເກາຮີ (Ministry of Construction and Transportation ຂໍ້ອົງ MOCT) (2000) ທີ່ມີການນຳໄປໃຊ້ອ້າງອີງໃນກາරຫາຄໍາດັ່ງນີ້ຄວາມປລອດກັບຂອງສະພານໂຄຮສ້າງວັດຈຸນປະກອບ (Advance Composite Materials ຂໍ້ອົງ ACM) ໃນປີ 2000 ໂດຍ H.S. Ji ແລະຄະນະ ມີສົມກາຮັບສູ່ອັກສອນດັ່ງນີ້

$$RF = \frac{f_a - f_d}{f_l(1+i)} \quad (2.16)$$

ເມື່ອ RF ຄື່ອ ຄໍາປ່ຽນຕີ່ຄວາມສາມາດໃນກາຮັບນ້ຳໜັກບຣຖຸກ ຫາກຄໍາຄໍາປ່ຽນຕີ່ຄວາມສາມາດໃນກາຮັບນ້ຳໜັກບຣຖຸກ ມີຄ່າມາກກວ່າ 1 ໂໝາຍຄວາມວ່າໂຄຮສ້າງສະພານສາມາດຮັບນ້ຳໜັກບຣຖຸກໄດ້ຢ່າງປລອດກັບ

f_a ຄື່ອ ຄ່າໜ່ວຍແຮງທີ່ຍ່ອນໄຫ້ (Allowable stress)

f_d ຄື່ອ ຄ່າໜ່ວຍແຮງຈາກນ້ຳໜັກບຣຖຸກຄົງທີ່ (Dead load stress)

f_l ຄື່ອ ຄ່າໜ່ວຍແຮງຈາກນ້ຳໜັກຈະສູງສຸດ (Maximum live load stress)

i ຄື່ອ ຄໍາດັ່ງນີ້ກະລຸນາກະແກງຈາກພົບຂອງນ້ຳໜັກກະທຳແບບພລວຕີ (Impact factor for dynamic loading effects, $i = \frac{15}{40+L}$ ເມື່ອ L ຄື່ອ ຄວາມຍາວຂອງຫ່ວງສະພານ ໂດຍຈະມີຄ່າ ≤ 0.3 ຂໍ້ອໃຈ່ຄ່າ 1.3 ທີ່ຈະເປັນຄ່າສູງສຸດ)

ຈາກຫລັກກາຮາຄໍາ RF ທີ່ໄດ້ກ່າວໄວ້ຂ້າງຕົ້ນ ສາມາດຮັບໄປປະຍຸກຕີ່ໃຫ້ໄດ້ກັບສະພານທີ່ມີແບບກ່ອສ້າງສະພານທຸກປະເທດ ໂດຍສາມາດນຳເຂົ້າມູລຈາກແບບໂຄຮສ້າງນາມຄຳນວັນຫາຄໍາຕ່າງໆ ໄດ້ ທີ່ຈຶ່ງໃນຈາກວິຊຍີ້ຈະໃຫ້ຄໍາປ່ຽນຕີ່ຄວາມສາມາດໃນກາຮັບນ້ຳໜັກບຣຖຸກທີ່ຄຳນວັນດ້ວຍວິທີຕົວຄູນນ້ຳໜັກບຣຖຸກ

ອ່າງໂຮກີ້ ເນື່ອຈາກສະພານຂອງການທາງລວງແລະທາງລວງໜັນທີ່ສ່ວນໃຫຍ່ຈະເປັນສະພານແບບຮະບັບພື້ນຄອນກຣີຕເສຣິມເໜັກ ທັງແບບຫລ່ອໃນທີ່ (Reinforced concrete, RC deck slab) ແລະແບບຫລ່ອສໍາເລົງ (Pre-cast concrete, PC deck slab) ທີ່ຈະເປັນປະເທດຂອງໂຄຮສ້າງສະພານທີ່ເລືອກທົດສອບໃນໂຄຮກາວວິຊຍີ້ ດັ່ງນັ້ນໂຄຮກາວວິຊຍີ້ຈະທຳການດໍາເນີນກາຮັບສອບໂດຍອ້າງອີງຕາມມາຕຽບສູ່ອັກສອນຂອງ

AASHTO โดยทำการปรับใช้กับยานพาหนะของประเทศไทยหากหลาຍรูปแบบ โดยคำนึงถึงปัจจัยการเสื่อมสภาพเนื่องจากลักษณะทางโครงสร้าง, ลักษณะทางสิ่งแวดล้อม, ลักษณะการใช้งาน, และอายุของโครงสร้าง ซึ่งข้อมูลทดสอบที่ได้จะนำมาทำการเปรียบเทียบและวิเคราะห์ผลการทดสอบเพื่อประเมินสภาพการใช้งานและความแข็งแรงของโครงสร้างสะพาน ให้เป็นแนวทางในการทดสอบสะพานทางหลวงที่มีความเชื่อถือได้และนำไปสู่การร่างมาตรฐานการทดสอบสะพานของประเทศไทยต่อไป

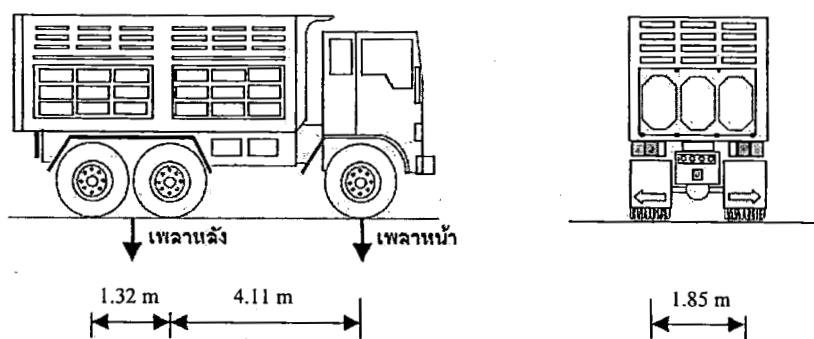
บทที่ 3

การทดสอบการรับน้ำหนักบรรทุกของสะพาน

3.1 ลักษณะของน้ำหนักทดสอบ

ในการทดสอบการรับน้ำหนักบรรทุกจริงของโครงสร้างสะพาน จะนิยมทดสอบโดยการใช้รถบรรทุกทดสอบที่มีน้ำหนักร่วมกับน้ำหนักบรรทุกที่เหมาะสม ก่อร่องรถบรรทุกทดสอบจะต้องมีน้ำหนักมากเพียงพอที่จะทำให้อุปกรณ์ตรวจวัดสามารถวัดค่าได้มากเมื่อเทียบกับค่าการรับน้ำหนักไฟฟ้าและสภาพแวดล้อม (Noise) แต่จะต้องไม่นำกิจกรรมไปจนทำให้เกิดการเสียหายแก่โครงสร้างของสะพาน ตลอดจนถนน และส่วนเชิงลาด (Approach) ที่อยู่ข้างเคียงขณะที่ทำการทดสอบ โดยจะต้องทำการวิเคราะห์โครงสร้างสะพานและพิจารณาผลของการเดินทางที่ต้องทดสอบ ได้จากการตรวจสอบด้วยสายตาประกอบด้วย โดยในการศึกษานี้ได้กำหนดน้ำหนักของรถบรรทุกทดสอบจำนวน 2 คันคือ น้ำหนักร่วม 25.05 ตันและ 24 ตันในการทดสอบครั้งที่ 1 และเก็บข้อมูลเพิ่มเติมในการทดสอบครั้งที่ 2 ด้วยรถบรรทุกน้ำหนักร่วม 22.7 ตัน จำนวน 1 คัน

โดยลักษณะมาตรฐานของรถบรรทุกไทยดังแสดงในรูปที่ 3.1 โดยมีความกว้างระหว่างล้อประมาณ 1.85 เมตร ระยะห่างจากเพลาหน้าถึงกึ่งกลางเพลาหลังประมาณ 4.11 เมตร มีการกระจายของน้ำหนักรอบรถที่เพลาหน้าและสองเพลาหลังประมาณ 20%, 40% และ 40% ตามลำดับ



รูปที่ 3.1 ขนาดของรถบรรทุกสิบล้อไทยที่ใช้ในการทดสอบ



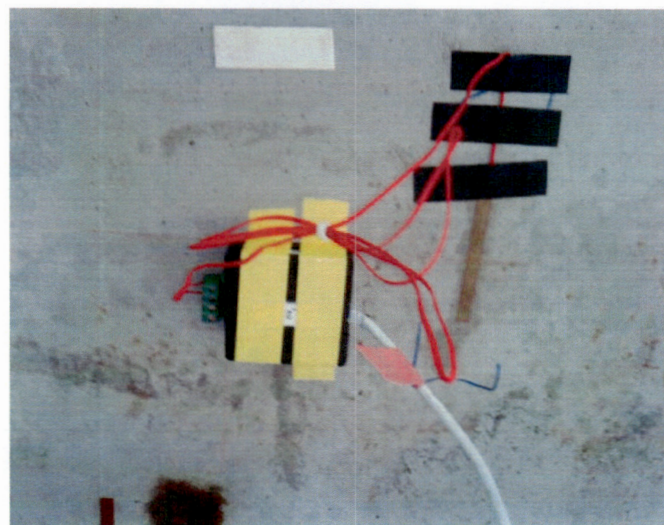
รูปที่ 3.2 การชั้งน้ำหนักของรถบรรทุกที่ใช้ในการทดสอบโดยตัวชั้งคลอย

3.2 เครื่องมือและอุปกรณ์ที่ใช้ในการตรวจวัด

ในการตรวจวัดพฤติกรรมของโครงสร้างสะพานนั้น จะต้องใช้เครื่องมือและอุปกรณ์ต่าง ๆ ซึ่งสามารถจำแนกได้ 3 ประเภทตามลักษณะการใช้งาน คือ

3.2.1 อุปกรณ์สำหรับการตรวจวัด (Sensor unit)

เป็นอุปกรณ์อิเล็กทรอนิกส์ที่ติดตั้งไว้กับชิ้นส่วนของโครงสร้างที่ต้องการตรวจวัด เพื่อตรวจวัดพฤติกรรมต่าง ๆ ของชิ้นส่วนนั้น โดยอาศัยการแปลงค่าพฤติกรรมใด ๆ เช่น การยืดหดตัว (Elongation), การแอล้อนตัว (Deflection) และความเร่งจากการสั่นไหว (Acceleration) ให้เป็นค่าในรูปของสัญญาณไฟฟ้า และส่งต่อไปยังอุปกรณ์แปลงผลสัญญาณเพื่อบันทึกค่าต่อไป ตัวอย่างของอุปกรณ์สำหรับการตรวจวัด เช่น อุปกรณ์ตรวจวัดความเครียด (Strain gauge), อุปกรณ์ตรวจวัดการค่าแอล้อนตัว (Displacement transducer) และอุปกรณ์ตรวจวัดความเร่งจากการสั่นไหว (Accelerometer) เป็นต้น



รูปที่ 3.3 ลักษณะการติดตั้งอุปกรณ์ตรวจวัดความเครียด



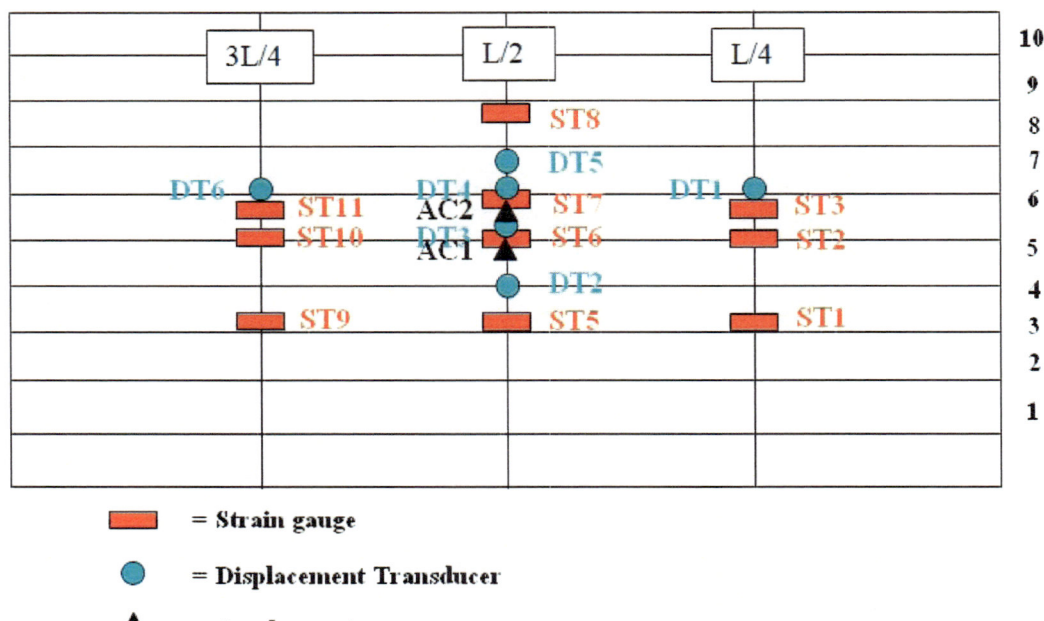
รูปที่ 3.4 ลักษณะการติดตั้งอุปกรณ์ตรวจวัดค่าการแอ่นตัว



รูปที่ 3.5 ลักษณะของอุปกรณ์ตรวจวัดความเร่งจากการสั่นไหว



รูปที่ 3.6 ลักษณะการติดตั้งอุปกรณ์ตรวจวัดค่าคงที่พื้นสะพาน



รูปที่ 3.7 แผนผังการติดตั้งอุปกรณ์ตรวจวัด

3.2.2 อุปกรณ์สำหรับแปลงสัญญาณและบันทึกผล (Data acquisition unit)

ทำหน้าที่แปลงสัญญาณที่ได้รับจากอุปกรณ์ตรวจวัด (Sensor Unit) และบันทึกผล โดยใช้เครื่องบันทึกข้อมูล (Data logger) แบบ 48 ช่องสัญญาณ ที่ความถี่ในการบันทึกผล 1,024 Hz (1,024 ชุดข้อมูลต่อวินาทีต่อช่องสัญญาณ)



รูปที่ 3.8 อุปกรณ์แปลงสัญญาณบันทึกผลและอุปกรณ์แสดงผล

3.2.3 อุปกรณ์สำหรับแสดงผล (Data display unit)

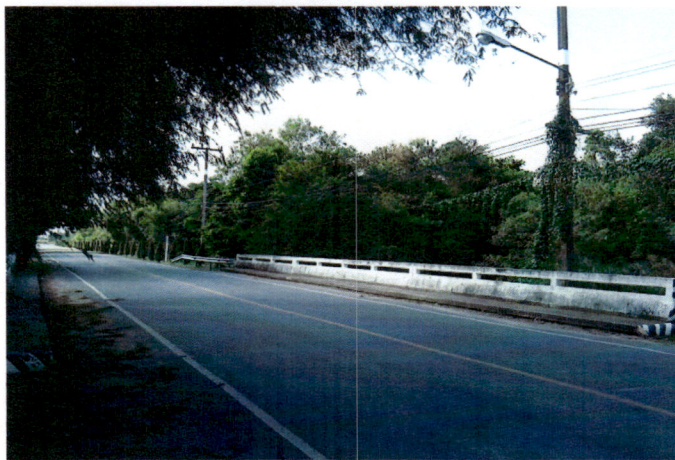
คือเครื่องคอมพิวเตอร์โน๊ตบุ๊คที่ทำหน้าที่แสดงผลของข้อมูลที่ได้จากอุปกรณ์แปลงสัญญาณและบันทึกผลจากเครื่องบันทึกข้อมูล (Data logger)

3.3 สะพานที่ทำการทดสอบ

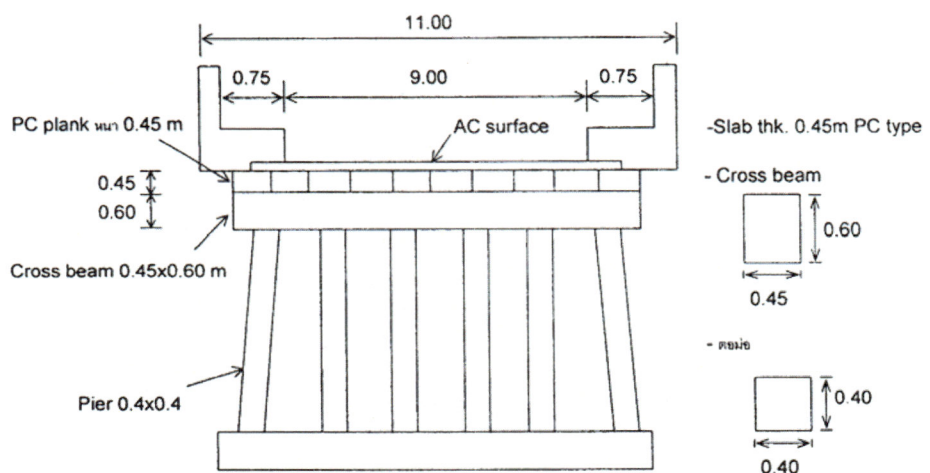
สะพานที่จะทำการทดสอบตั้งอยู่บนทางหลวงชนบท ชบ. 3026 อยู่ในความรับผิดชอบของกรมทางหลวงชนบท โดยอยู่บริเวณหน้าสำนักทางหลวงที่ 3 (ชลบุรี) ตำบลหนองชาด อำเภอบ้านบึง จังหวัดชลบุรี ลักษณะโครงสร้างเป็นสะพานต่อเนื่อง 3 ช่วง โดยมีความยาวรวม 28 เมตรและความยาวช่วงสะพานช่วงละไม่เกิน 10 เมตร ลักษณะชิ้นส่วนโครงสร้างเสาและคานเป็นโครงสร้างแบบคอนกรีตเสริมเหล็ก ในขณะที่พื้นสะพานประกอบด้วยชิ้นส่วนแผ่นพื้นคอนกรีตอัดแรง (Precast concrete slab) ความกว้างแผ่นละ 1 เมตรวางเรียงกันจำนวน 10 แผ่นรวมความกว้าง 10 เมตร สำหรับการสัญจร 2 ช่องทาง และเทหันหน้าด้วยคอนกรีตอิกซึ้น และที่จุดรองรับของสะพานช่วงในพบร่วมกันที่ไม่ต่อเนื่องกัน ทำให้พกติกรรมของสะพานแต่ละช่วงสามารถจำลองเป็นจุดรองรับอย่างง่าย (Simple support) ได้ ลักษณะทางกายภาพและแนวช่องจราจรของสะพานทดสอบแสดงดังรูปที่ 3.9 ถึงรูปที่ 3.12



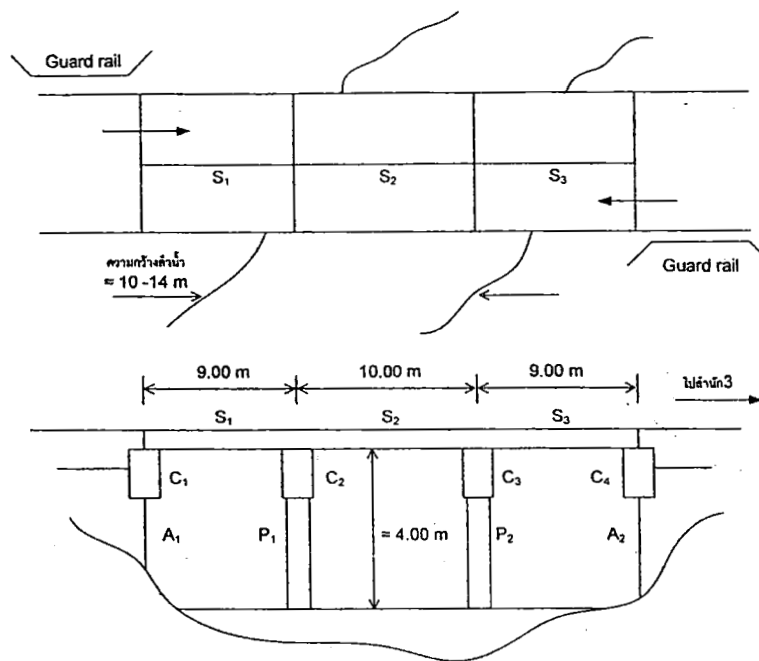
รูปที่ 3.9 ลักษณะโครงสร้างของสะพานที่ทำการทดสอบ



รูปที่ 3.10 ลักษณะชั้องทางของสะพานที่ทำการทดสอบ



รูปที่ 3.11 รูปตัดสะพานที่ทำการทดสอบ



รูปที่ 3.12 ลักษณะทางกายภาพของสะพานที่ทำการทดสอบ

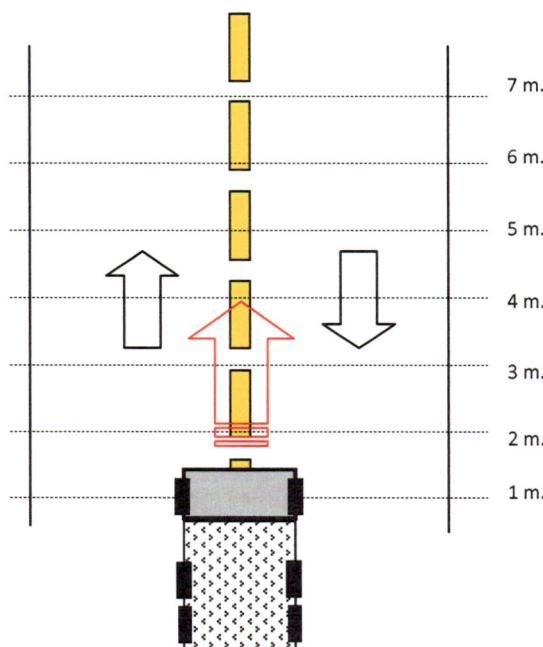
3.4 ลักษณะการวางแผนน้ำหนักทดสอบ

จากลักษณะทางกายภาพของสะพานจะพบว่าสะพานมีลักษณะเป็นสะพานต่อเนื่อง มีความยาวช่วงสะพานทั้งหมด 28 เมตร มีระยะระหว่างจุดรองรับ 9 เมตร 10 เมตร และ 9 เมตรดังรูปที่ 3.6 ในการทดสอบภาคสันนามได้การติดตั้งอุปกรณ์ตรวจวัดทั้งหมดในช่วงระยะ 9 เมตรเท่านั้น เนื่องจากข้อจำกัดของพื้นที่ในการเข้าถึงตำแหน่งที่จะติดตั้งอุปกรณ์แทนช่วงกลางที่จะทำงานได้ยากเนื่องจากมีลำน้ำธรรมชาติไหลผ่าน ตารางที่ 3.1 แสดงการจัดวางรถบรรทุกแต่ละกรณีในการทดสอบภาคสันนาม โดยมีกรณีทดสอบทั้งหมด 19 กรณี ประกอบด้วยการทดสอบทางสถิติ 6 กรณี โดยจะจัดรถบรรทุกที่ตำแหน่งต่างๆ ตามความยาวสะพานที่ระบุทุกๆ 1 เมตร และการทดสอบแบบพลวัต 13 กรณีซึ่งเป็นการทดสอบโดยเคลื่อนรถบรรทุกด้วยความเร็วที่แตกต่างกัน โดยแต่ละกรณีแสดงรูปภาพอย่างลักษณะการจัดวางน้ำหนักบรรทุกทั้งแบบสถิติและแบบพลวัต ดังรูปที่ 3.13 ถึงรูปที่ 3.31

ตารางที่ 3.1 การจัดวางรถบรรทุกแต่ละกรณีในการทดสอบภาคสนาม

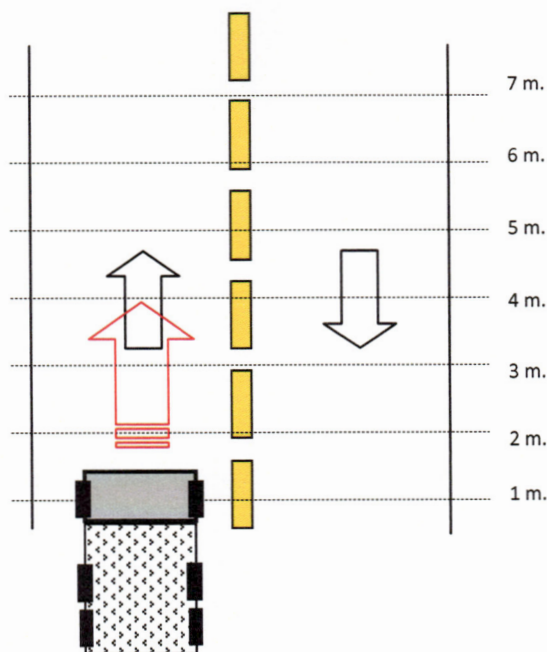
กรณีที่	การทดสอบแบบสติ๊ก	กรณีที่	การทดสอบแบบพลวัติ
1	รถ 1 คันวิ่งกลางระหว่างช่องทาง	1	รถ 2 คันวิ่งเต็มหน้ากระดานทั้ง 2 ช่องทาง (ซ้าย)
2	รถ 1 คันวิ่งไปตามช่องทางด้านซ้าย	2	รถ 1 คันวิ่งกลางระหว่างช่องทาง (ซ้าย)
3	รถ 1 คันวิ่งกลับตามช่องทางด้านขวา	3	รถ 1 คันวิ่งกลางระหว่างช่องทาง (ปานกลาง)
4	รถ 2 คันวิ่งไปตามช่องทางด้านซ้าย	4	รถ 1 คันวิ่งกลางระหว่างช่องทาง (เร็ว)
5	รถ 2 คันวิ่งกลับตามช่องทางด้านขวา	5	รถ 1 คันวิ่งไปตามช่องทางด้านซ้าย (ซ้าย)
6	รถ 2 คันวิ่งเต็มหน้ากระดานทั้ง 2 ช่องทาง	6	รถ 1 คันวิ่งกลับตามช่องทางด้านขวา (ซ้าย)
		7	รถ 1 คันวิ่งไปตามช่องทางด้านซ้าย (ปานกลาง)
		8	รถ 1 คันวิ่งกลับตามช่องทางด้านขวา (ปานกลาง)
		9	รถ 1 คันวิ่งไปตามช่องทางด้านซ้าย (เร็ว)
		10	รถ 1 คันวิ่งกลับตามช่องทางด้านขวา (เร็ว)
		11	รถ 1 คันวิ่งไปตามช่องทางด้านซ้าย (ซ้ายมาก)
		12	รถ 1 คันวิ่งกลางระหว่างช่องทาง (ซ้ายมาก)
		13	รถ 1 คันวิ่งกลับตามช่องทางด้านขวา (ซ้ายมาก)

การทดสอบแบบสติ๊ก กรณีที่ 1: รถ 1 คันวิ่งกลางระหว่างช่องทาง จอดทุก 1 เมตร



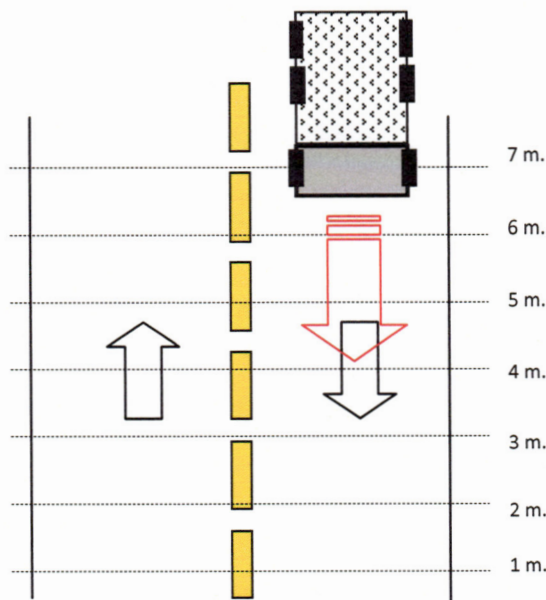
รูปที่ 3.13 การจัดวางน้ำหนักบรรทุกแบบสติ๊ก กรณีที่ 1 ในการทดสอบภาคสนาม

การทดสอบแบบสติตี้ กรณีที่ 2: รถ 1 กันวิ่งไปตามช่องทางด้านซ้าย ขอดูกทุก 1 เมตร



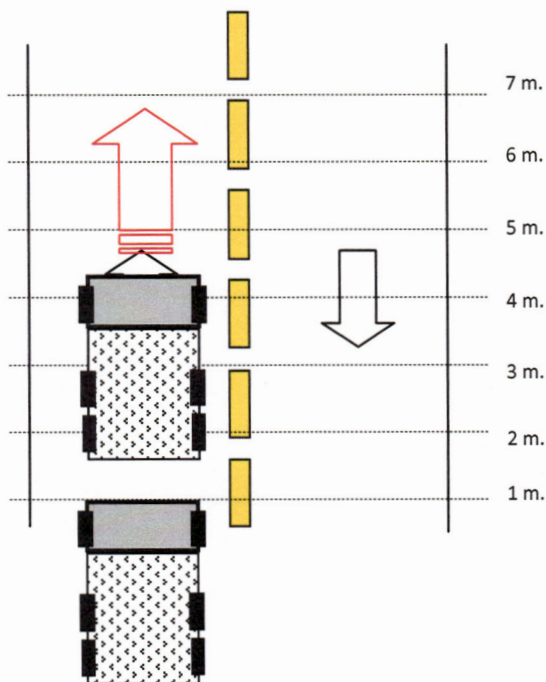
รูปที่ 3.14 การจัดวางน้ำหนักรถบรรทุกแบบสติตี้ กรณีที่ 2 ในการทดสอบภาคสนาม

การทดสอบแบบสติตี้ กรณีที่ 3: รถ 1 กันวิ่งกลับตามช่องทางด้านขวา ขอดูกทุก 1 เมตร



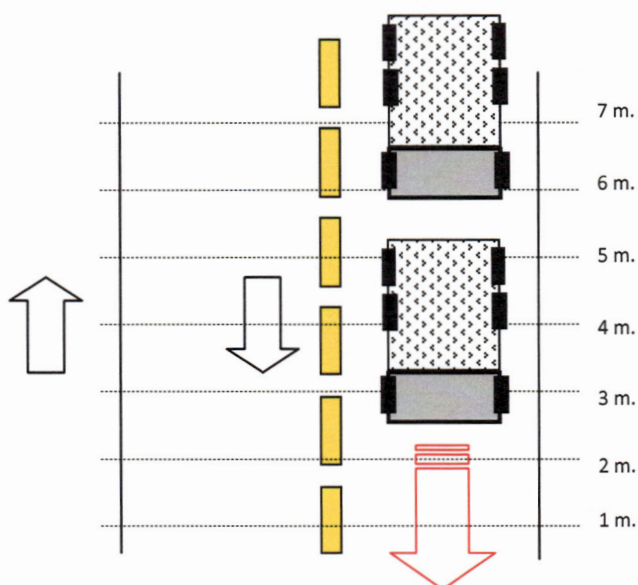
รูปที่ 3.15 การจัดวางน้ำหนักรถบรรทุกแบบสติตี้ กรณีที่ 3 ในการทดสอบภาคสนาม

การทดสอบแบบสติตย์ กรณีที่ 4: รถ 2 คันวิ่งไปตามช่องทางด้านซ้าย จอดทุก 1 เมตร



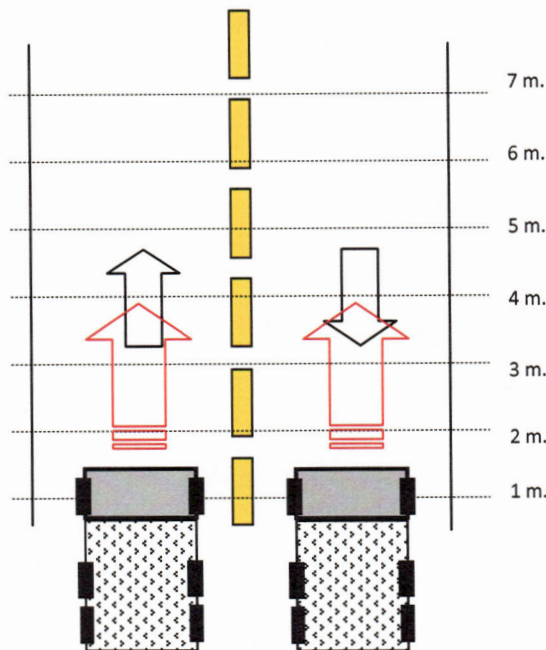
รูปที่ 3.16 การจัดวางน้ำหนักรถบรรทุกแบบสติตย์ กรณีที่ 4 ในการทดสอบภาคสนาม

การทดสอบแบบสติตย์ กรณีที่ 5: รถ 2 คันวิ่งกลับตามช่องทางด้านขวา จอดทุก 1 เมตร



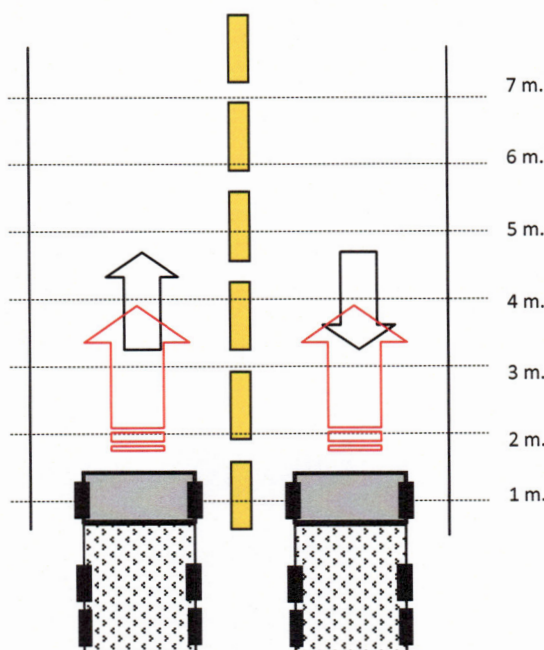
รูปที่ 3.17 การจัดวางน้ำหนักรถบรรทุกแบบสติตย์ กรณีที่ 5 ในการทดสอบภาคสนาม

การทดสอบแบบสติตี้ กรณีที่ 6: รถ 2 คันวิ่งเต็มหน้ากระดานทั้ง 2 ช่องทาง จอดทุก 1 เมตร



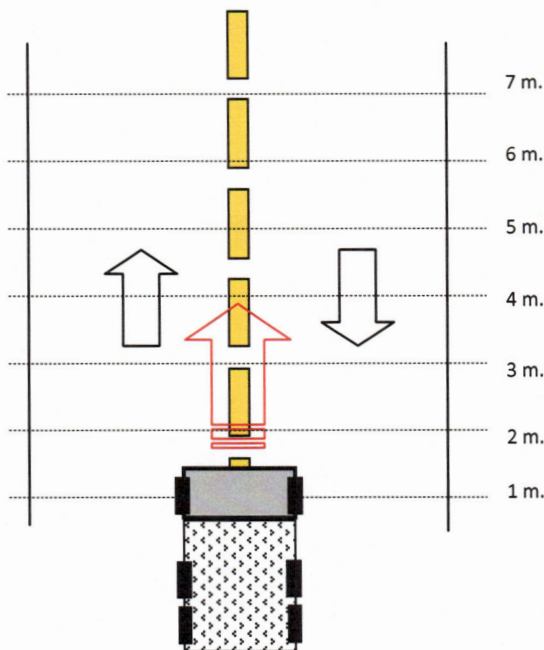
รูปที่ 3.18 การจัดวางน้ำหนักรถบรรทุกแบบสติตี้ กรณีที่ 6 ในการทดสอบภาคสนาม

การทดสอบแบบพลวติ กรณีที่ 1: รถ 2 คันวิ่งเต็มหน้ากระดานพร้อมกันทั้ง 2 ช่องทาง ความเร็วระดับช้า



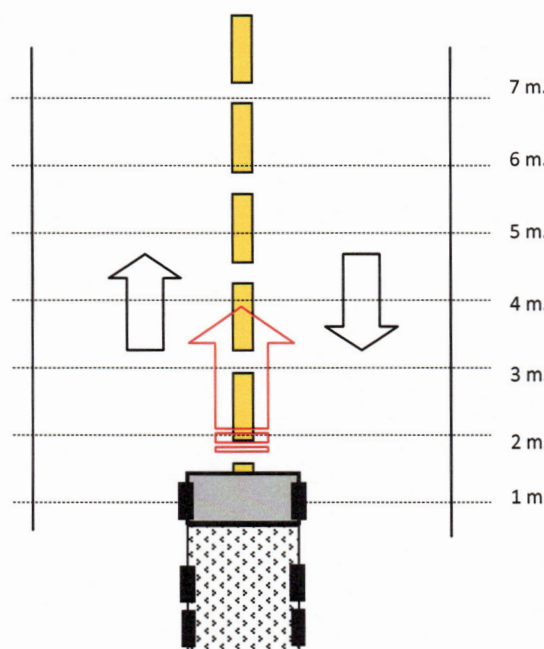
รูปที่ 3.19 การจัดวางน้ำหนักรถบรรทุกแบบพลวติ กรณีที่ 1 ในการทดสอบภาคสนาม

การทดสอบแบบพลวติ กรณีที่ 2: รถ 1 คันวิ่งกลางระหว่างช่องทาง ความเร็วระดับช้า



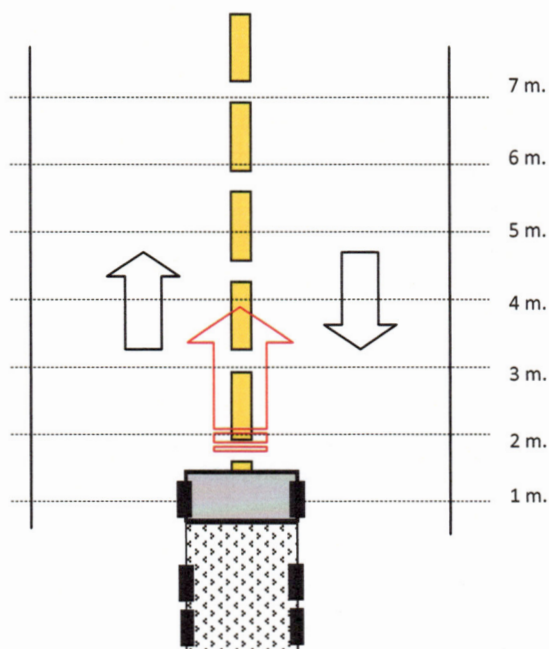
รูปที่ 3.20 การจัดวางน้ำหนักรถบรรทุกแบบพลวติ กรณีที่ 2 ในการทดสอบภาคสนาม

การทดสอบแบบพลวติ กรณีที่ 3: รถ 1 คันวิ่งกลางระหว่างช่องทาง ความเร็วระดับปานกลาง



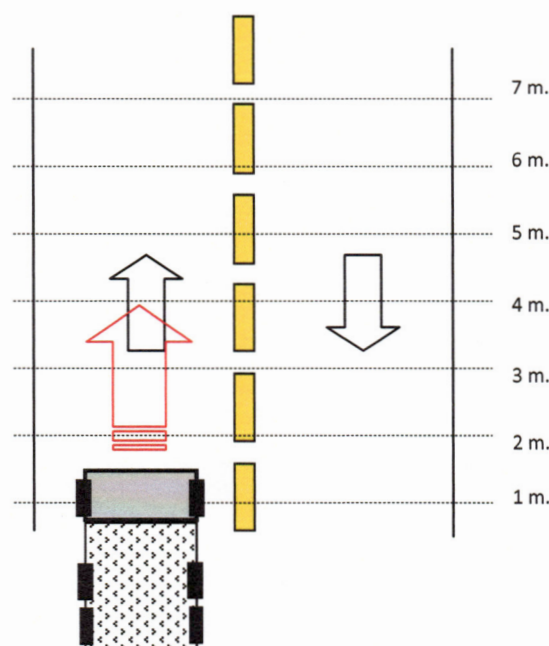
รูปที่ 3.21 การจัดวางน้ำหนักรถบรรทุกแบบพลวติ กรณีที่ 3 ในการทดสอบภาคสนาม

การทดสอบแบบพลวติ กรณีที่ 4: รถ 1 กันวิ่งกลางระหว่างช่องทาง ความเร็วระดับเร็ว



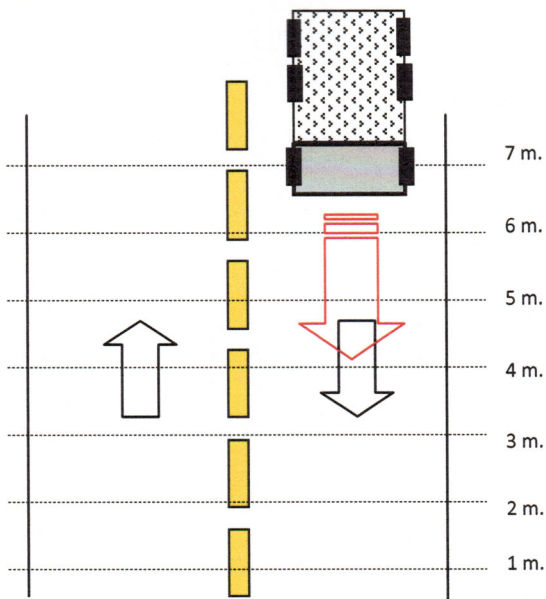
รูปที่ 3.22 การจัดวางน้ำหนักทดสอบร率ทุกแบบพลวติ กรณีที่ 4 ในการทดสอบภาคสนาม

การทดสอบแบบพลวติ กรณีที่ 5: รถ 1 กันวิ่งไปตามช่องทางค้านข่าย ความเร็วระดับช้า



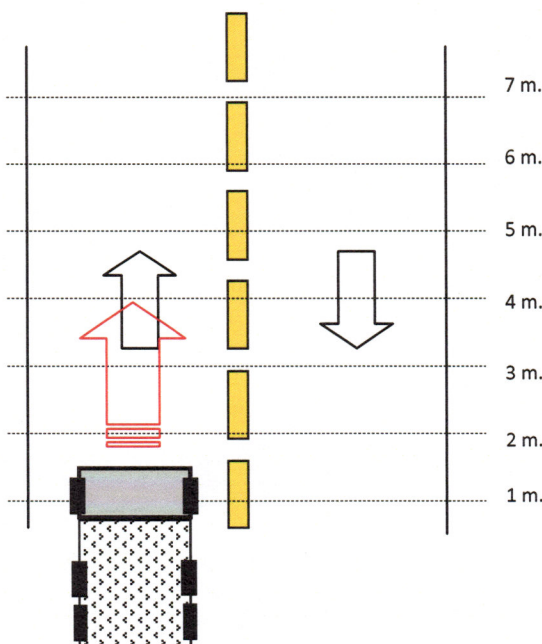
รูปที่ 3.23 การจัดวางน้ำหนักทดสอบร率ทุกแบบพลวติ กรณีที่ 5 ในการทดสอบภาคสนาม

การทดสอบแบบพลวติ กรณีที่ 6: รถ 1 คันวิ่งกลับตามช่องทางด้านขวา ความเร็วระดับช้า



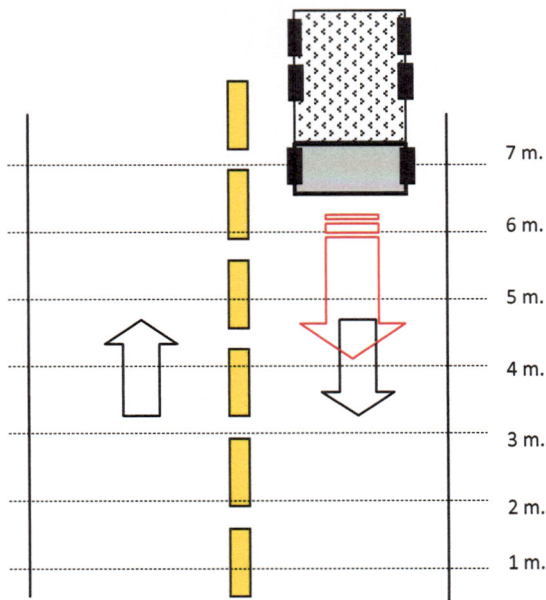
รูปที่ 3.24 การจัดวางน้ำหนักรถบรรทุกแบบพลวติ กรณีที่ 6 ในการทดสอบภาคสนาม

การทดสอบแบบพลวติ กรณีที่ 7: รถ 1 คันวิ่งไปตามช่องทางด้านซ้าย ความเร็วระดับปานกลาง



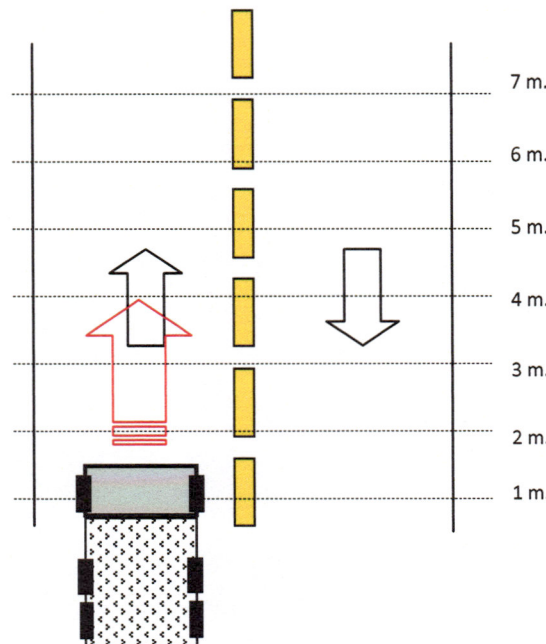
รูปที่ 3.25 การจัดวางน้ำหนักรถบรรทุกแบบพลวติ กรณีที่ 7 ในการทดสอบภาคสนาม

การทดสอบแบบพลวติ กรณีที่ 8: รถ 1 คันวิ่งกลับตามช่องทางด้านขวา ความเร็วระดับปานกลาง



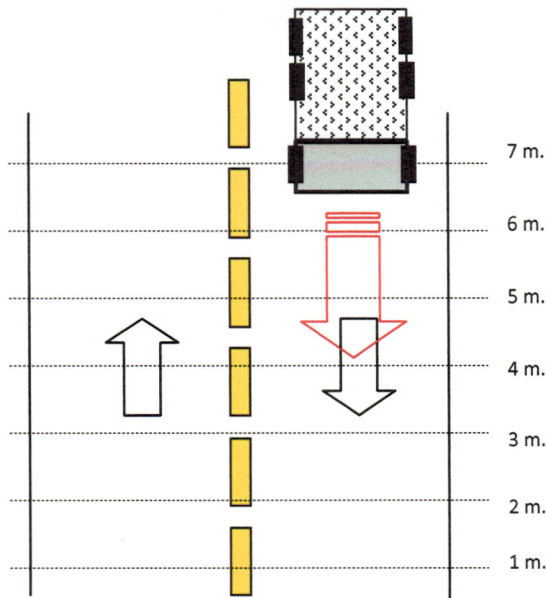
รูปที่ 3.26 การจัดวางน้ำหนักรถบรรทุกแบบพลวติ กรณีที่ 8 ในการทดสอบภาคสนาม

การทดสอบแบบพลวติ กรณีที่ 9: รถ 1 คันวิ่งไปตามช่องทางด้านซ้าย ความเร็วระดับเร็ว



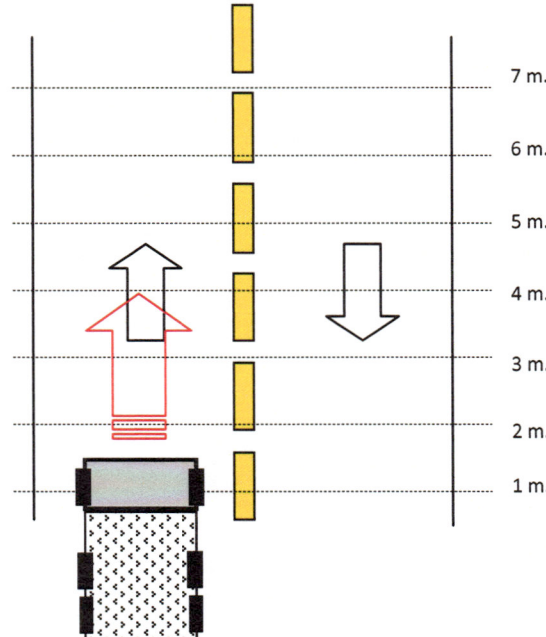
รูปที่ 3.27 การจัดวางน้ำหนักรถบรรทุกแบบพลวติ กรณีที่ 9 ในการทดสอบภาคสนาม

การทดสอบแบบพลวติ กรณีที่ 10: รถ 1 คันวิ่งกลับตามช่องทางด้านขวา ความเร็วระดับเร็ว



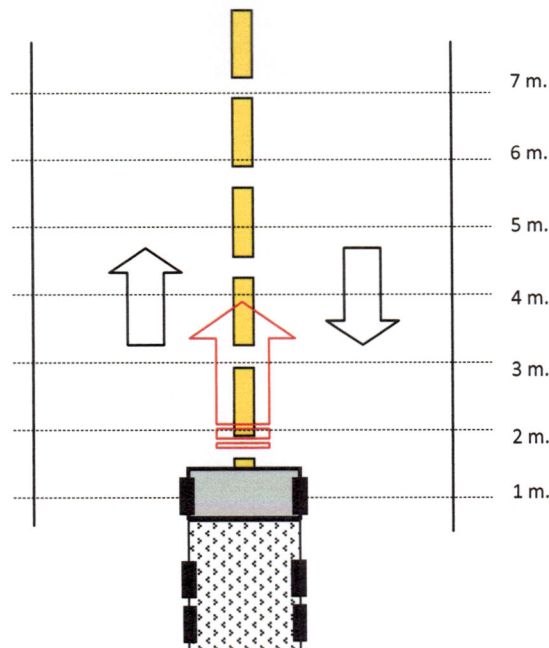
รูปที่ 3.28 การจัดวางน้ำหนักรถบรรทุกแบบพลวติ กรณีที่ 10 ในการทดสอบภาคสนาม

การทดสอบแบบพลวติ กรณีที่ 11: รถ 1 คันวิ่งไปตามช่องทางด้านซ้าย ด้วยความเร็วระดับช้ามาก



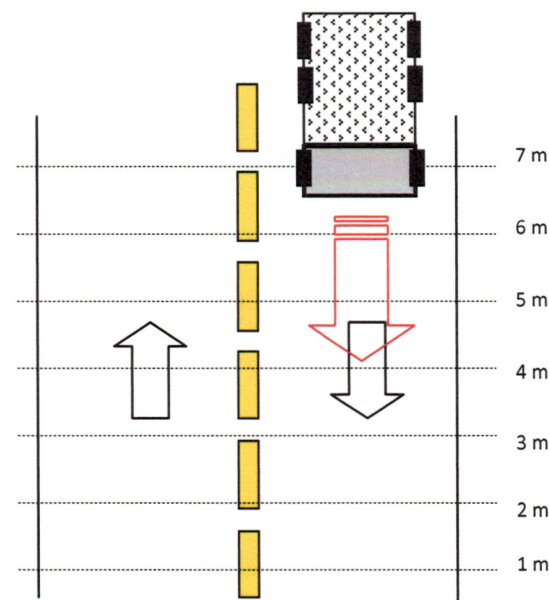
รูปที่ 3.29 การจัดวางน้ำหนักรถบรรทุกแบบพลวติ กรณีที่ 11 ในการทดสอบภาคสนาม

การทดสอบแบบพลวติ กรณีที่ 12: รถ 1 คันวิ่งกลางระหว่างช่องทาง ด้วยความเร็วระดับช้ามาก



รูปที่ 3.30 การจัดวางน้ำหนักบนรถทุกแบบพลวติ กรณีที่ 12 ในการทดสอบภาคสนาม

การทดสอบแบบพลวติ กรณีที่ 13: รถ 1 คันวิ่งกลับตามช่องทางด้านขวา ความเร็วระดับช้ามาก



รูปที่ 3.31 การจัดวางน้ำหนักบนรถทุกแบบพลวติ กรณีที่ 13 ในการทดสอบภาคสนาม

3.5 การตรวจวัดภายใต้น้ำหนักบรรทุก

3.5.1 การตรวจวัดภายใต้น้ำหนักบรรทุกแบบสติติค

- 1) กำหนดตำแหน่งหยุดรถบรรทุกทดสอบ ณ ตำแหน่งต้องการและทำการติดตั้งอุปกรณ์ตรวจวัด ติดตั้งอุปกรณ์ตรวจวัด
- 2) ทำการตั้งค่าเริ่มต้นของอุปกรณ์ พร้อมเริ่มทำการตรวจวัด
- 3) เริ่มทำการตรวจวัดโดยให้รถบรรทุกทดสอบทั้งสองคันขึ้นในช่องทางที่กำหนด โดยแบ่งเป็น ขาไปและขากลับ ในการหยุดรถให้ตำแหน่งของก๊อกกลางเพลากาน้ำอยู่ตรงตำแหน่งที่จะทำการทดสอบ ใช้การหยุดรถประมาณ 15 - 20 วินาที จากนั้นเคลื่อนรถไปยังตำแหน่งต่อไปจนครบ ทุกตำแหน่ง ในระหว่างการทดสอบจะบันทึกสัญญาณต่าง ๆ ด้วยความถี่ 1,024 Hz (1 วินาที เก็บข้อมูลได้ 1,024 ค่า)

3.5.2 การตรวจวัดภายใต้น้ำหนักบรรทุกแบบพลวัต

- 1) กำหนดแนวการเคลื่อนที่ของรถบรรทุกทดสอบตามช่องจราจร
- 2) กำหนดความเร็วในการเคลื่อนที่แต่ละรอบ
- 3) ทำการตั้งค่าเริ่มต้นของอุปกรณ์ พร้อมเริ่มทำการตรวจวัด
- 4) เริ่มทำการตรวจวัดโดยให้รถบรรทุกทดสอบเคลื่อนที่ ทำการบันทึกค่าการสั่นไหวของ โครงสร้าง การเก็บข้อมูลใช้ความถี่ 1,024 Hz และเริ่มบันทึกข้อมูลเมื่อรถทดสอบเริ่มเข้าสู่ สะพานช่วงที่ทำการตรวจวัด และหยุดบันทึกข้อมูลเมื่อรถบรรทุกทดสอบเคลื่อนที่ออกจาก สะพานช่วงที่ทำการตรวจวัด
- 5) ทำการตรวจวัดบนถนนทุกความเร็วที่กำหนด

3.6 การปรับแก้สัญญาณข้อมูลที่ได้จากการทดสอบภาคสนาม

3.6.1 การกรองสัญญาณ (Noise filtering)

เนื่องจากข้อมูลที่บันทึกได้จากการทดสอบภาคสนามนั้น เป็นสัญญาณความต่างศักย์ไฟฟ้าที่มี สัญญาณรบกวนจากสิ่งแวดล้อมภายนอกปั่นอยู่ด้วย (Noise) ดังนั้นก่อนที่จะนำสัญญาณข้อมูลที่ได้มา พิจารณาในการวิเคราะห์จึงจำเป็นต้องกรองสัญญาณรบกวน (Noise filtering) ออกยก去 เพื่อให้ได้ สัญญาณผลตอบสนองที่ต้องการนำไปใช้ในการวิเคราะห์ที่ชัดเจนมากขึ้น โดยมีขั้นตอนดังนี้

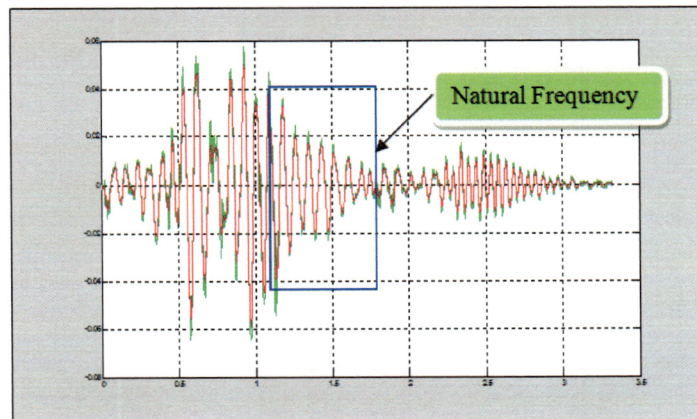
- 1) ตัดสัญญาณส่วนที่ไม่ต้องการออกໄไปเหลือแค่สัญญาณช่วงที่รถเคลื่อนที่เข้า ออกเท่านั้น
- 2) สัญญาณในช่วงรถเข้าและออกจากสะพานอาจจะไม่เท่ากัน ซึ่งอาจเกิดได้จากหลายสาเหตุ เช่น ความไวต่ออุณหภูมิและความชื้นของอุปกรณ์ตรวจความเครียด หรือพื้นผิวที่ติดตั้ง อุปกรณ์ตรวจความเครียดอาจมีรอยแตกที่เล็กมาก ๆ ในเนื้อวัสดุหรือไม่เรียบพอ จึงต้องทำการปรับเทียบสัญญาณให้เริ่มต้น และจบที่จุดเดียวกัน โดยกำหนดให้ค่าเริ่มต้นและค่าสุดท้าย เป็นศูนย์โดยใช้หลักการปรับแก้แบบการประมาณข้อมูลในช่วงแบบเชิงเส้น (Linear interpolation)
- 3) นำสัญญาณที่ปรับแก้จากข้อที่ 2 มาปรับกรองสัญญาณรบกวนออก โดยใช้ตัวกรองแบบบัตเตอร์เวิร์ธ (Butterworth digital filter) และวิธีค่าเฉลี่ยเคลื่อนที่ (Moving Average) โดยการกรองจะต้องสมมติช่วงข้อมูล (Span) ที่จะใช้ในการเฉลี่ยเพื่อกรองสัญญาณรบกวน ซึ่งค่าช่วงข้อมูลที่เลือกใช้จะต้องไม่ทำให้ลักษณะสัญญาณที่เป็นผลจากน้ำหนักรถบรรทุกและการสั่นสะเทือนของโครงสร้างสะพานเสียความละเอียดไป

3.6.2 การปรับลดขนาดข้อมูล (Data re-sampling)

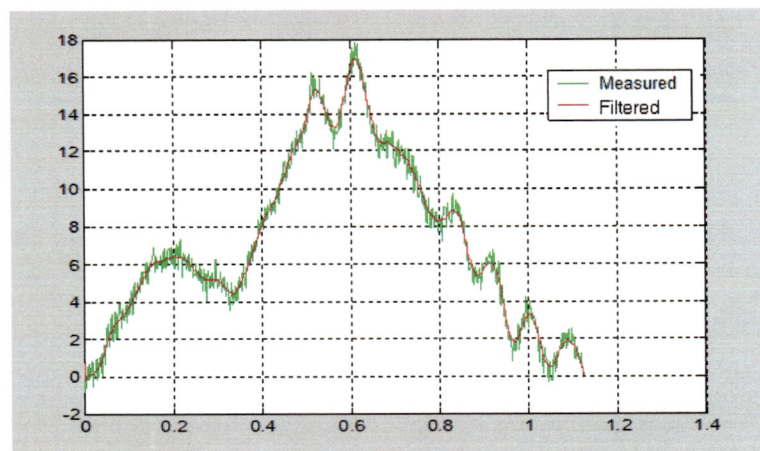
เนื่องจากใน 1 วินาทีอุปกรณ์สามารถเก็บข้อมูลสัญญาณความต่างหักยีไฟฟ้าได้ถึง 1,024 ค่า ทำให้ข้อมูลที่ได้มีขนาดใหญ่มากเกินความจำเป็น จึงจะต้องทำการลดขนาดข้อมูลที่เก็บได้จากภาคสนามให้มีขนาดเด็กลง (Re-sampling) โดยทำการสุ่มค่าให้ขนาดของข้อมูลเด็กลงที่ลงครึ่งหนึ่ง เช่น จากข้อมูลที่เก็บได้ 1,024 ค่าจะสามารถลดขนาดลงเป็น 512, 256, 128 ข้อมูล เป็นต้น เพื่อให้ข้อมูลที่ได้มีขนาดที่เหมาะสม ทำให้ไม่เปลี่ยนเนื้อที่ในการจัดเก็บ และสามารถนำข้อมูลไปใช้งานในกรณีต่าง ๆ ได้สะดวกง่ายดายมากขึ้น

แต่ในการลดขนาดข้อมูล (Re-sampling) มีหลักเกณฑ์สำคัญคือ ขนาดของข้อมูลที่ปรับลดลงที่ลงครึ่งหนึ่งนั้น จะต้องมีค่าไม่น้อยกว่า 10 เท่าของค่าความถี่ธรรมชาติของสะพานที่ทำการทดสอบ และจากการทดสอบหาค่าความถี่ธรรมชาติของสะพานพบว่ามีค่าเท่ากับ 12.7 Hz ซึ่งจะได้ว่าค่าความถี่ 10 เท่าของค่าความถี่ธรรมชาติเท่ากับ 127 Hz ดังนั้นการลดขนาดข้อมูลของงานวิจัยนี้จึงเลือกใช้ความถี่ของข้อมูลที่ 256 Hz เพื่อไม่ให้มีจำนวนข้อมูลที่ลงครึ่งหนึ่งอย่างมากกว่า 127 Hz ซึ่งหมายความว่าการบันทึกข้อมูลที่ความถี่ 256 Hz จะสามารถลดขนาดข้อมูลที่จัดเก็บเพื่อประมวลผลได้ถึง 4 เท่าจากสัญญาณที่ตรวจวัด รูปที่ 3.32 ถึงรูปที่ 3.34 แสดงตัวอย่างสัญญาณที่ทำการกรองสัญญาณรบกวนและลดขนาดข้อมูลด้วยการ (Resampling) และรูปที่ 3.35 ถึง 3.36 เปรียบเทียบสัญญาณตรวจวัดที่ได้จากการ

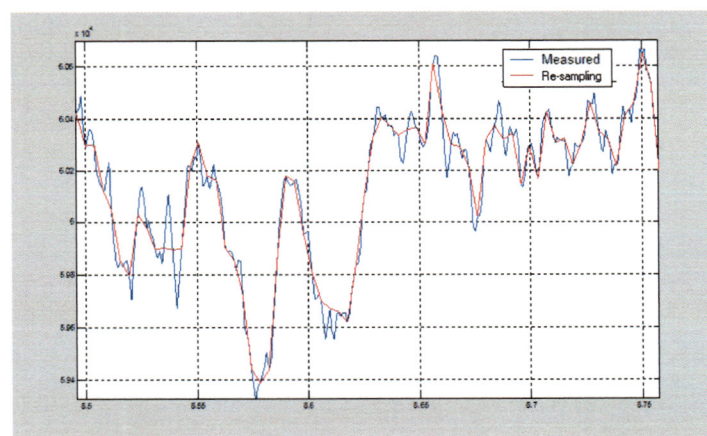
ทดสอบที่ความเร็วในการเคลื่อนที่ของรุบบุกที่แตกต่างกัน และผลของการเคลื่อนที่รุบบุกในช่องจราจรที่แตกต่างกัน



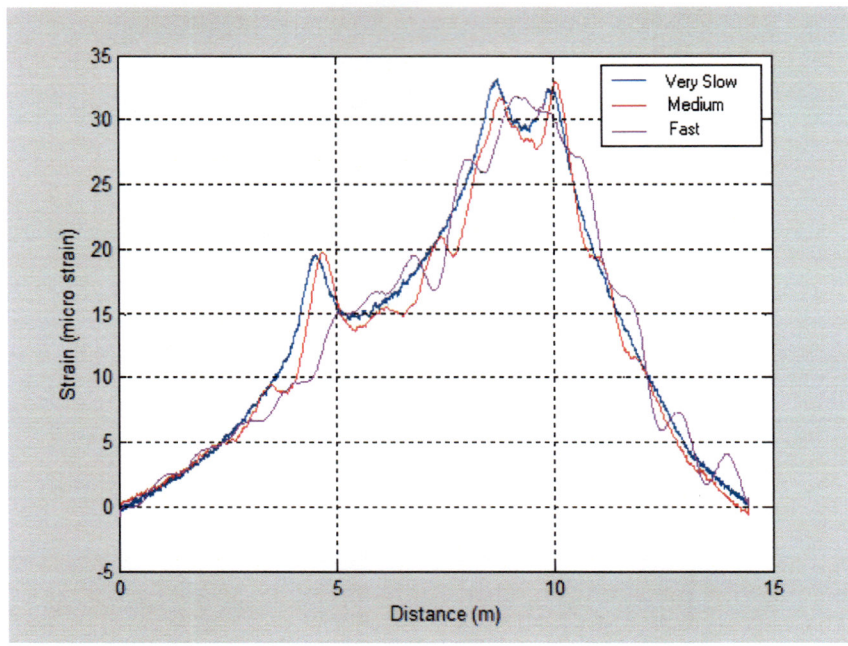
รูปที่ 3.32 ตัวอย่างของการสั่นไหวอิสระและช่วงที่พิจารณาความถี่ธรรมชาติของสะพาน



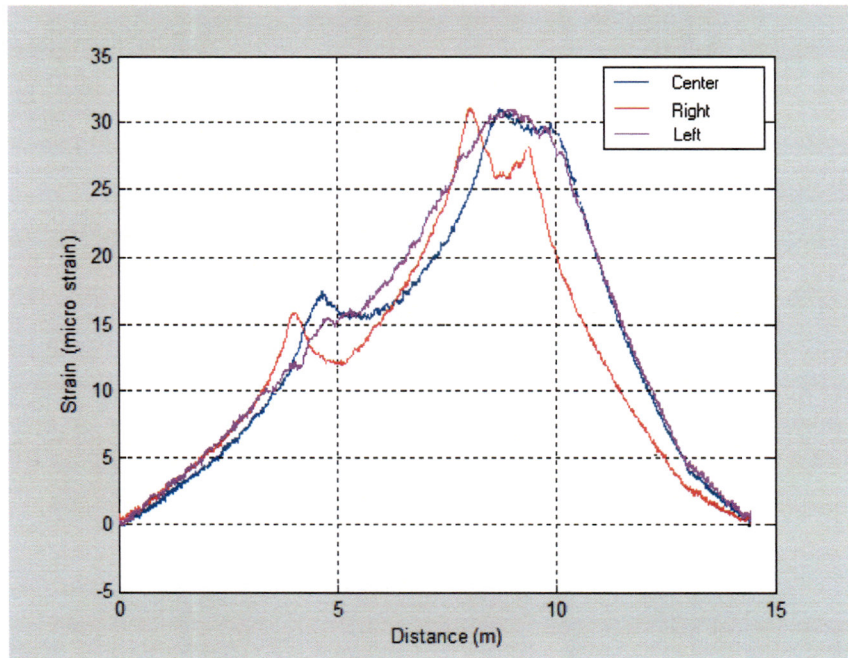
รูปที่ 3.33 ตัวอย่างของสัญญาณที่ได้หลังจากการกรองสัญญาณ



รูปที่ 3.34 ตัวอย่างของข้อมูลที่ได้หลังจากการปรับลดขนาดข้อมูล (Re-sampling)



รูปที่ 3.35 การเปรียบเทียบข้อมูลค่าความเครียดที่ตำแหน่งเดียวกันด้วยความเร็วต่าง ๆ



รูปที่ 3.36 การเปรียบเทียบข้อมูลค่าความเครียดที่ตำแหน่งเดียวกันของการขับรถต่างช่องทาง

บทที่ 4

การวิเคราะห์ความสามารถในการรับน้ำหนักบรรทุกของโครงสร้าง

ในการวิเคราะห์ความสามารถในการรับน้ำหนักบรรทุกของโครงสร้างสะพานคอนกรีตเสริมเหล็กจะทำการวิเคราะห์โดยค่าบ่งชี้ความสามารถในการรับน้ำหนักบรรทุก (Load Rating Factor) ตามมาตรฐาน AASHTO นั้น ต้องทำการทดสอบการรับน้ำหนักบรรทุกโดยใช้น้ำหนักของระบบบรรทุกแบบ HS20-44 ซึ่งไม่ได้มีการนำมาใช้ในประเทศไทย ดังนั้นเพื่อให้การวิเคราะห์ผลสามารถเป็นไปตามมาตรฐานที่กำหนด จึงต้องทำการสร้างและปรับเทียบแบบจำลองโครงสร้างสะพานโดยโปรแกรมจำลองโครงสร้างทางคอมพิวเตอร์ เพื่อให้ได้สะพานที่มีคุณสมบัติใกล้เคียงกับข้อมูลที่เก็บได้จากสะพานจริงให้มากที่สุด แล้วจึงนำข้อมูลและน้ำหนักของรถ HS20-44 ตามมาตรฐาน มาวิ่งบนแบบจำลองสะพานทางคอมพิวเตอร์ที่ปรับเทียบจากนั้นจึงนำข้อมูลที่ได้ไปทำการวิเคราะห์หาค่าบ่งชี้ความสามารถในการรับน้ำหนักบรรทุก (Load Rating Factor) ต่อไป

4.1 การสร้างแบบจำลองโครงสร้างสะพานทางคอมพิวเตอร์

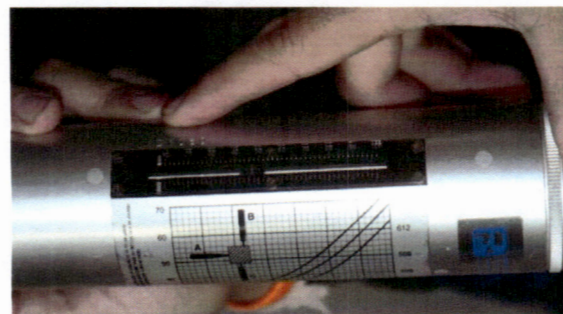
หลังจากที่ได้ทำการเก็บข้อมูลและปรับปรุงข้อมูลที่ได้จากการทดสอบภาคสนามแล้ว จะต้องทำการสร้างแบบจำลอง โครงสร้างสะพานทางคอมพิวเตอร์โดยใช้โปรแกรมวิเคราะห์โครงสร้างในคอมพิวเตอร์ในการสร้างแบบจำลองและวิเคราะห์ผลซึ่งในเบื้องต้นต้องทำการจำลองโครงสร้างสะพานตามโครงสร้างจริงก่อน แล้วจึงทำการปรับเทียบในภายหลัง

การจำลองค่าอิลาสติกโมดูลัส (E) ของโครงสร้างสะพานคอนกรีต สามารถหาได้จากความสัมพันธ์กับค่ากำลัง抵抗力ของคอนกรีต (f'_c) ดังสมการที่ (4.1)

$$E_c = 15,100\sqrt{f'_c} \quad (ksc) \quad (4.1)$$

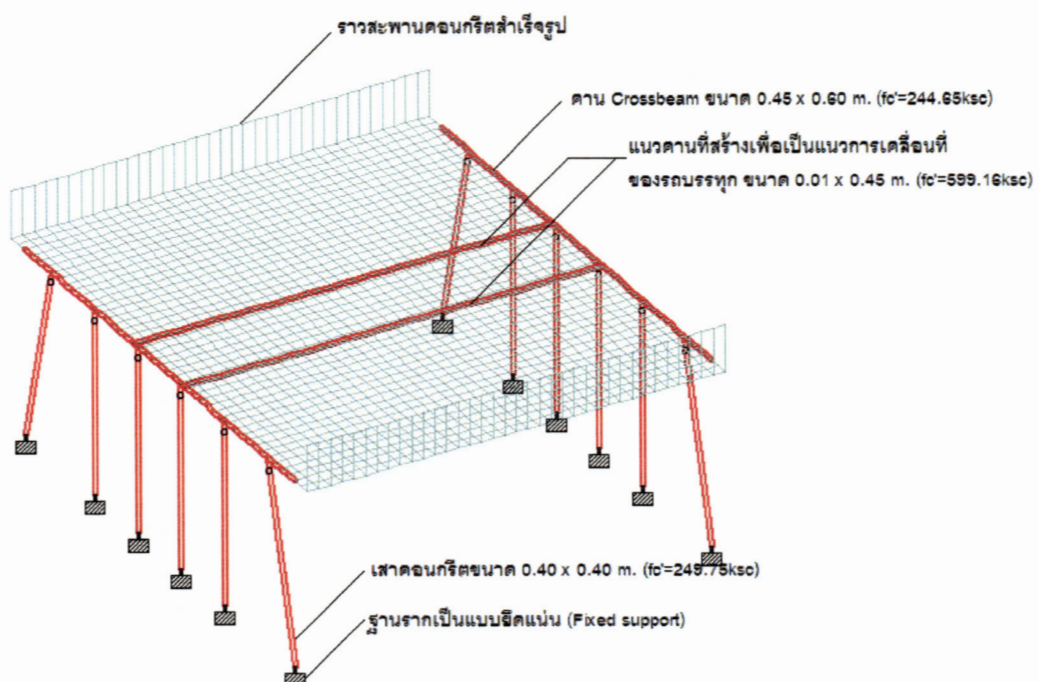
จากความสัมพันธ์ในสมการที่ (4.1) จึงสามารถประมาณค่าอิลาสติกโมดูลัสของสะพานคอนกรีตได้โดยทำการตรวจวัดค่ากำลัง抵抗力ของคอนกรีต ซึ่งได้จากการทดสอบแบบไม่ทำลาย (Non-destructive test) โดยใช้หลักการสะท้อนกลับของอุปกรณ์ช็มิดแฮมเมอร์ (Schmidt hammer) ซึ่งในงานวิจัยนี้จะนำค่ากำลัง抵抗力ของแต่ละชิ้นส่วนของโครงสร้างสะพานที่ได้จากอุปกรณ์ชนิดนี้มาใช้

เป็นหลักในการอ้างอิงในการจำลองโครงสร้างสะพาน เนื่องจากไม่สามารถทำการทดสอบหากำลัง ประลัยแบบทำลายที่แท้จริงได้



รูปที่ 4.1 อุปกรณ์ชนิดแ煊เมอร์และการอ่านค่าการสะท้อนกลับ (Rebound)

ในส่วนของการเคลื่อนที่ของรถบรรทุกในแบบจำลอง จำเป็นต้องทำการสร้างคานชี้นเด็ก ๆ มารองรับ โดยสร้างให้มีความกว้างน้อยมาก ๆ ในแบบจำลองนี้ใช้ขนาด 0.01×0.45 เมตร และใช้ค่ากำลังประลัย 599.16 กิโลกรัมต่อตารางเมตร เช่นเดียวกับคุณสมบัติของแผ่นพื้นสะพาน และลักษณะจุดรองรับของสะพานเป็นแบบยึดแน่นดังรูปที่ 4.2 และ 4.3 รอยต่อระหว่างเสาและคานทำการใส่จุดหมุนเข้าไปเพื่อลดโมเมนต์ลบที่จะเกิดขึ้นในแผ่นพื้นให้มีค่าน้อยที่สุด

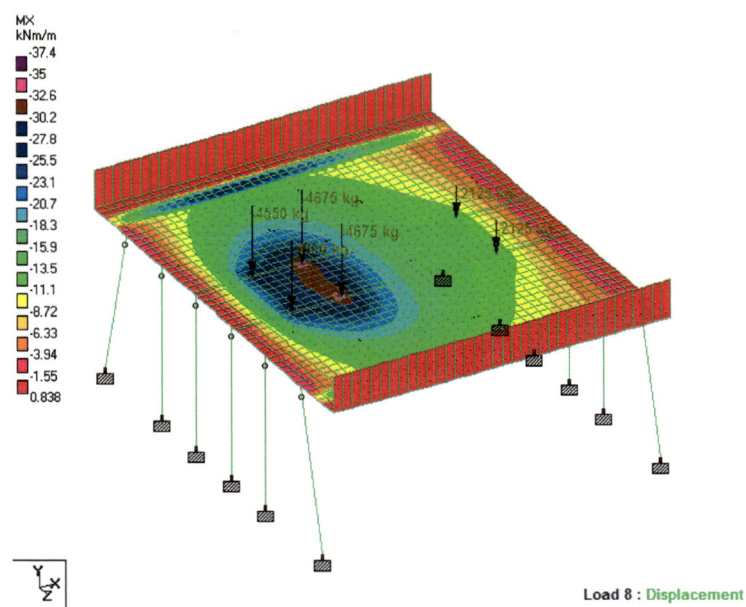


รูปที่ 4.2 แบบจำลองโครงสร้างสะพานและกำลังประลัยของชิ้นส่วนต่าง ๆ



รูปที่ 4.3 แบบจำลองโครงสร้างสะพานแบบสามมิติ

หลังจากนี้จึงนำร่องบรรทุกสิบล้อ ไทยที่ได้นำมาทดสอบภาคสนามมาใช้ในการปรับเทียบแบบจำลอง โดยนำค่าหน้า荷กเพลาที่ตรวจวัดได้มาเคลื่อนบนแบบจำลองโครงสร้างสะพานตามลักษณะการทดสอบต่าง ๆ ทั้งแบบสติกตี้และพลวต และอ่านค่าโมเมนต์ที่เกิดขึ้นในแผ่นพื้นและการเอ่นตัวของแผ่นพื้น ณ ตำแหน่งเดียวกันกับที่ได้ทำการติดตั้งอุปกรณ์ตรวจความเครียดและอุปกรณ์ตรวจวัดค่าการเอ่นตัวทุกรั้งที่รถเคลื่อนที่ จนรถเคลื่อนที่ผ่านแบบจำลองโครงสร้างสะพานออกไป ดังรูปที่ 4.4 จากนั้นจึงนำค่าโมเมนต์ที่ได้ไปคำนวณเปรียบเทียบกับค่าโมเมนต์ที่ได้จากโครงสร้างสะพานจริง และทำการปรับเทียบเพื่อให้แบบจำลองโครงสร้างสะพานมีคุณสมบัติใกล้เคียงกับโครงสร้างสะพานจริงให้มากที่สุด



รูปที่ 4.4 ลักษณะโมเมนต์ดัดในแผ่นพื้นของแบบจำลองโครงสร้างสะพานเมื่อนำน้ำหนักเพลาของรถบรรทุกสิบล้อทดสอบเคลื่อนที่ผ่านแบบจำลอง

4.2 การปรับเทียบแบบจำลองโครงสร้างทางคอมพิวเตอร์

เมื่อได้ทำการอ่านค่าโน้ม-menต์ที่เกิดขึ้นในแผ่นพื้นและค่าการแย่นตัวของแผ่นพื้นที่ทำแห่งนั่งเดียวกันกับที่ติดตั้งอุปกรณ์ตรวจวัดบนโครงสร้างสะพานจริงแล้ว จึงนำค่าที่ได้ไปวาดกราฟเทียบกับข้อมูลที่เก็บได้จากสะพานจริง และทำการปรับเทียบเพื่อให้แบบจำลองมีความถูกต้องมากที่สุด โดยในการปรับเทียบจะแบ่งออกได้เป็น 2 ส่วนคือ การปรับค่าอิเล็กทรอนิกส์ ไมค์ลิสของวัสดุ และการปรับค่าโน้ม-menต์ความเนื้อโยงหน้าตัด

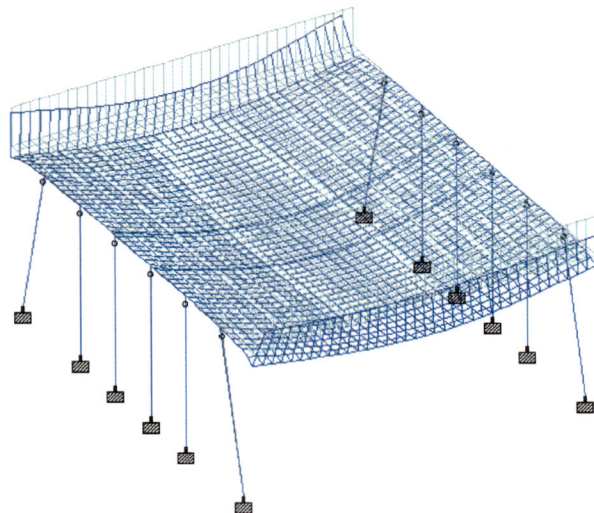
ค่าอิเล็กทรอนิกส์ ไมค์ลิส เปรียบัณฑุต์ร่วมกับค่ากำลังประดับของโครงสร้าง ซึ่งจะค่าอิเล็กทรอนิกส์ที่มากจะทำให้โครงสร้างมีความแข็ง (Stiffness) มากขึ้น ทำให้คุณสมบัติต่าง ๆ ของแบบจำลองโครงสร้าง สะพานเปลี่ยนแปลงไปด้วย งานวิจัยนี้ได้ใช้การทดสอบแบบไม่ทำลายโดยชนิดแซมเมอร์เพื่อคำนวณหา กำลังประดับของแต่ละชิ้นส่วนของโครงสร้าง ไว้แล้ว จึงจะไม่ทำการปรับเทียบค่าอิเล็กทรอนิกส์ในแบบจำลองโครงสร้างสะพาน แต่จะใช้การปรับเทียบโดยการปรับค่าโน้ม-menต์ความเนื้อยางนนเนื่องจาก หน้าตัดอาจเกิดรอยร้าวขนาดเล็กและผลของการเดินทางในหน้าตัดจึงทำให้ค่าโน้ม-menต์ความเนื้อย ของสะพานจริงมีค่าไม่เท่ากับค่าโน้ม-menต์ความเนื้อยางของรูปทรงสี่เหลี่ยมผืนผ้าตามทฤษฎี ซึ่งการปรับค่า โน้ม-menต์ความเนื้อย จะทำการปรับโดยเพิ่มหรือลดความหนาของแผ่นพื้นในแบบจำลองโครงสร้าง สะพาน เพื่อให้ค่าโน้ม-menต์ความเนื้อยางแกนสะทิ้นเพิ่มขึ้นหรือลดลง และเมื่อค่าโน้ม-menต์ความเนื้อย เพิ่มขึ้นหรือลดลงแล้ว ความแข็ง (Stiffness) ของแบบจำลองโครงสร้างสะพานก็จะเพิ่มขึ้นหรือลดลง ด้วย อันจะส่งผลให้คุณสมบัติต่าง ๆ ของสะพาน เช่น การแย่นตัว, ค่าโน้ม-menต์คัด และความถี่ธรรมชาติ เปลี่ยนแปลงไป โดยปรับเทียบที่ค่าของคุณสมบัติพื้นฐานเชิงกลเหล่านี้ของแบบจำลองโครงสร้าง สะพานในคอมพิวเตอร์มีค่าใกล้เคียงกับค่าที่ทดสอบได้มากที่สุด

การปรับเทียบแบบจำลองโครงสร้างสะพานทางคอมพิวเตอร์เพื่อให้ผลสอดคล้องกับผลที่ได้จากการทดสอบจริงยังสามารถแบ่งได้ออกเป็น 2 กรณีหลัก ๆ คือการปรับเทียบแบบจำลองโครงสร้าง สะพานโดยอ้างอิงจากค่าที่ได้จากการตรวจวัดค่าการแย่นตัว (Displacement transducer) และการ ปรับเทียบแบบจำลองโครงสร้างโดยอ้างอิงจากค่าที่ได้จากการตรวจวัดความเครียด (Strain gauge)

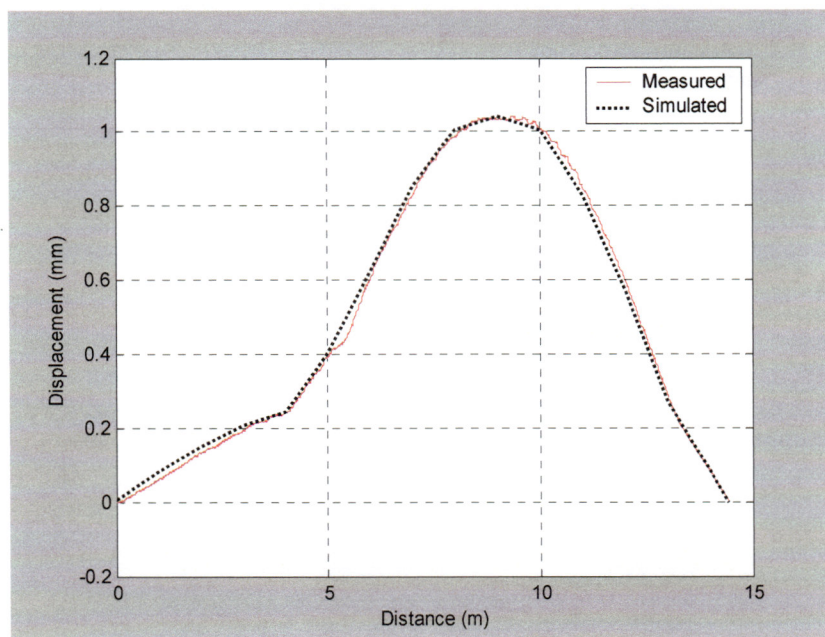
4.2.1 การปรับเทียบแบบจำลองโครงสร้างโดยอ้างอิงจากค่าที่ได้จากการตรวจวัดค่าการแย่นตัว

จากสมมติฐานเบื้องต้นที่กำหนดให้สะพานมีความเป็นเนื้อเดียวและต่อเนื่องกัน จึงสามารถที่จะ กล่าวได้ว่าแบบจำลองทางโครงสร้างก็จะมีความเป็นเนื้อเดียวกันและต่อเนื่องด้วย จึงสามารถที่จะสรุป ได้ว่า การปรับเทียบแบบจำลองโครงสร้างโดยอ้างอิงค่าจากการตรวจวัดการแย่นตัวจะสามารถ

ปรับเทียบแบบจำลองได้ดีกว่า เนื่องจากค่าที่ได้เป็นค่าการแอล์ตัวซึ่งเป็นการแอล์ตัวของสะพานจริงทั้งระบบดังรูปที่ 4.5 และ 4.6



รูปที่ 4.5 ลักษณะการแอล์ตัวของแบบจำลองโครงสร้างสะพานเมื่อรับน้ำหนักบรรทุก

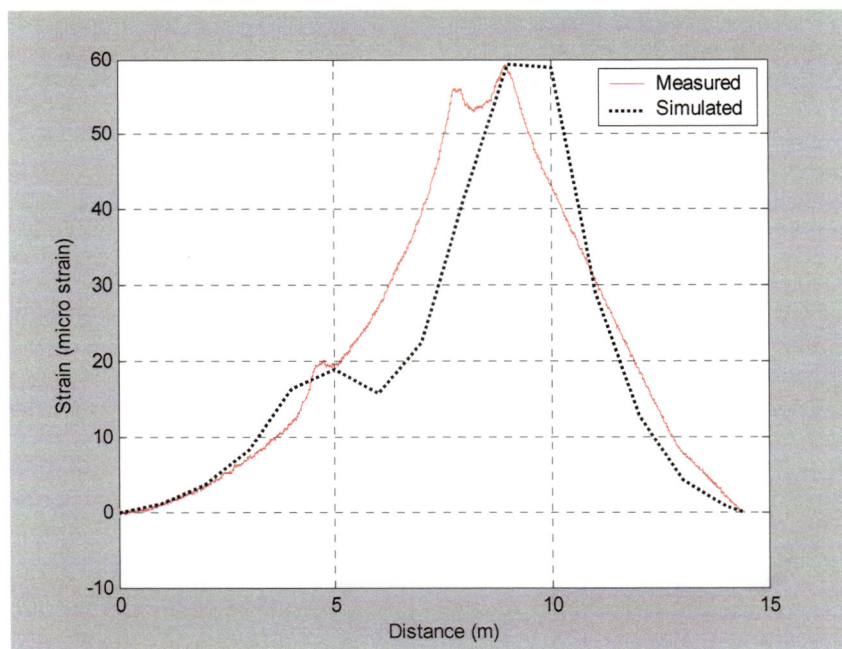


รูปที่ 4.6 การปรับเทียบสัญญาณค่าการแอล์ตัวของสะพานจริงกับแบบจำลองโครงสร้าง

4.2.2 การปรับเทียบแบบจำลองโครงสร้างโดยอ้างอิงจากค่าที่ได้จากการตรวจวัดความเครียด

การปรับเทียบแบบจำลองโครงสร้างจากค่าที่ได้จากการตรวจวัดความเครียด จะมีโอกาสเกิดความผิดพลาดได้มากกว่า เนื่องจากค่าความเครียดในจุดที่ติดตั้งอุปกรณ์ตรวจวัดจะบ่งบอกถึงค่าการยึดheldown จุดนั้นซึ่งเป็นพฤติกรรมเฉพาะที่นั้น ๆ (Local behavior) ซึ่งหากจุดที่ติดตั้งอุปกรณ์ตรวจวัด

ความเครียดเกิดรอยร้าวขนาดเล็ก (Micro-crack) หรือมีผิวที่ไม่ราบเรียบ ก็จะได้ค่าความเครียดที่ไม่ถูกต้องกับพฤติกรรมโดยรวม (Global behavior) ของโครงสร้างที่สัมพันธ์กับการโก่งตัวดังทฤษฎีอิลาสติก อีกทั้งอุปกรณ์ตรวจวัดก็ยังมีความอ่อนไหวกับอุณหภูมิและความชื้นอย่างมาก จึงอาจจะส่งผลให้ค่าการทดสอบผิดพลาดได้มากกว่า แต่อย่างไรก็ตาม ค่าที่ได้จากการตรวจวัดความเครียดก็ยังมีความสำคัญในการเป็นแนวทางอ้างอิง เพื่อดูแนวโน้มและลักษณะของกราฟที่ได้หลังการปรับเทียบว่ามีความสอดคล้องกันหรือไม่ ดังรูปที่ 4.7

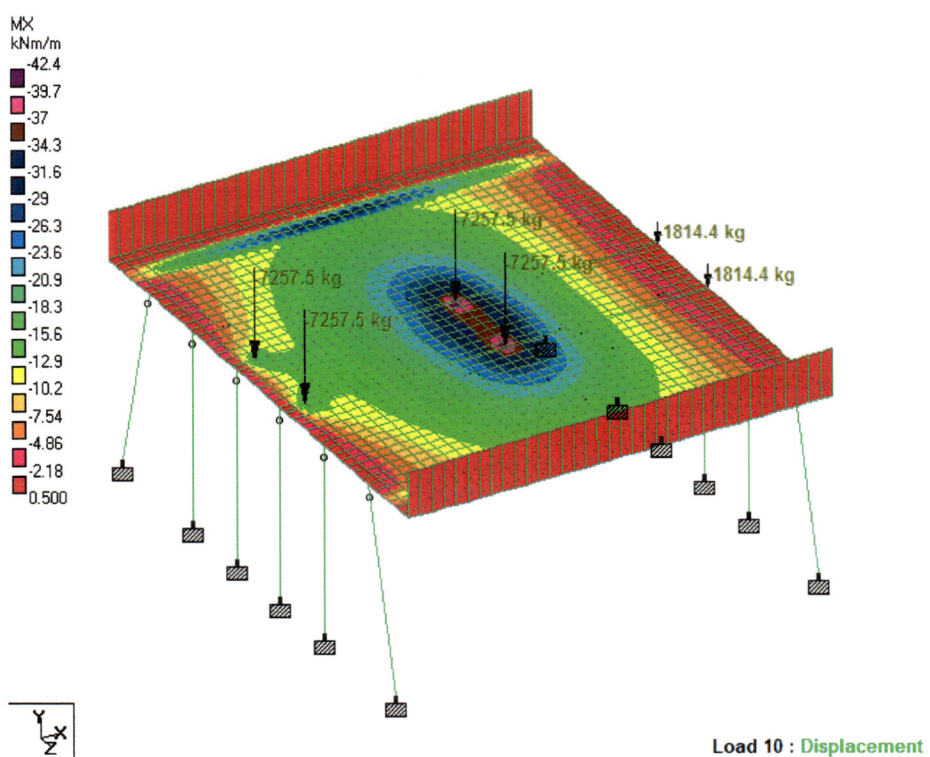


รูปที่ 4.7 การปรับเทียบค่าสัญญาณความเครียดของสะพานจริงกับแบบจำลอง โครงสร้าง

ผลที่ได้จากการปรับเทียบแบบจำลอง โครงสร้างสะพานและ โครงสร้างสะพานจริงพบว่า การปรับเทียบแบบจำลองจากค่าความเครียดจะส่งผลให้ค่าโน้ม恩ต์ความเนื้อเยื่อร้อนแคนสะเทินมีค่าลดน้อยลงอย่างมากเมื่อปรับเทียบโดยอ้างอิงจากค่าความเครียดสูงสุด ในขณะที่การปรับเทียบแบบจำลองโดยอ้างอิงจากการแอลล์ตัวจะมีค่าโน้ม恩ต์ความเนื้อเยื่อร้อนแคนสะเทินและค่าความถี่ธรรมชาติใกล้เคียงกับที่ตรวจวัด ได้จากสะพานจริงมากกว่า ดังแสดงในตารางที่ 4.1 ซึ่งสอดคล้องกับสมมติฐานที่ดังไว้

4.3 แรงภายในที่เกิดขึ้นภายใต้น้ำหนักบรรทุกของรถบรรทุกมาตรฐาน (HS20-44)

หลังจากทำการปรับเทียบแบบจำลองทางโครงสร้างให้มีพฤติกรรมใกล้เคียงกับโครงสร้างสะพานจริงแล้ว จึงนำน้ำหนักบรรทุกมาตรฐาน ซึ่งก็คือรถบรรทุกแบบ HS20-44 ตามมาตรฐาน AASHTO มาเคลื่อนผ่านบนแบบจำลองโครงสร้างสะพานที่ได้ทำการปรับเทียบเป็นที่เรียบร้อยแล้วดังรูปที่ 4.8 และพิจารณาแรงภายในต่าง ๆ เพื่อนำมาใช้เป็นข้อมูลในการคำนวณวิเคราะห์หาค่าบ่งชี้ความสามารถในการรับน้ำหนักบรรทุก (Load Rating Factor)



รูปที่ 4.8 ลักษณะโมเมนต์ด้านเอนพื้นของแบบจำลองโครงสร้างสะพานเมื่อนำน้ำหนักเพลารถบรรทุก HS20-44 เคลื่อนที่ผ่านแบบจำลอง

จากตารางที่ 4.1 จะพบว่ามีการทำการทดสอบภาคสนาม 2 ครั้ง เนื่องจากในการทดสอบภาคสนามครั้งแรกได้ทำการวางแผนว่าจะตรวจวัดค่าการแอลอฟต์วายด์ (Dial Gauge) แต่ในการทดสอบไม่สามารถอ่านค่าได้อย่างรวดเร็วเพียงพอ จนเป็นสาเหตุให้เกิดการจราจรติดขัด จึงต้องวางแผนใหม่เพื่อทำการทดสอบภาคสนามครั้งที่ 2 โดยทำการตรวจวัดค่าการแอลอฟต์วายด์จาก LVDT ที่สามารถตรวจวัดค่าการแอลอฟต์วายด์ได้อย่างรวดเร็วและแม่นยำใช้แทน ซึ่งได้ค่าปรับเทียบที่น่าเชื่อถือว่า โดยสังเกตว่าค่าสติฟเนสในเทอมของค่าโมเมนต์ความเฉื่อย และค่าความถี่ธรรมชาติของแบบจำลองคอมพิวเตอร์ที่ปรับเทียบมีความใกล้เคียงกับข้อมูลที่ได้จากการทดสอบจริง

ตารางที่ 4.1 ข้อมูลสรุปจากการปรับเทียบแบบจำลองโครงสร้างสะพานที่ยึดกับโครงสร้างสะพานจริง

Load Case	ภาคสนามครั้งที่ 1	ภาคสนามครั้งที่ 2	Fit By	E	I	EI	EI (%)	f (Hz)	f (%)
S1-Center	รถ 1 คันขับกลางซ่องทาง(จอด)	-	Strain	0.370×10^6	0.014×10^6	5.329×10^9	1.90	5.935	46.74
S2-Left	รถ 1 คันขับซ้ายไป(จอด)	-	Strain	0.370×10^6	0.007×10^6	2.644×10^9	0.94	5.343	42.08
S3-Right	รถ 1 คันขับขวากลับ(จอด)	-	Strain	0.370×10^6	0.011×10^6	4.218×10^9	1.50	5.734	45.16
S4-2Left	รถ 2 คันขับซ้ายไปตามกัน(จอด)	-	Strain	0.370×10^6	0.009×10^6	3.570×10^9	1.27	5.594	44.05
S5-2Right	รถ 2 คันขับขวากลับตามกัน(จอด)	-	Strain	0.370×10^6	0.019×10^6	7.094×10^9	2.52	6.177	48.65
S6-2Center	รถ 2 คันขับเพิ่ม 2 ช่องทาง(จอด)	-	Strain	0.370×10^6	0.010×10^6	3.778×10^9	1.34	5.641	44.42
D1-2Center(slow)	รถ 1 คันขับเดิน 2 ช่องทาง(ซ้าย)	-	Strain	0.370×10^6	0.010×10^6	3.778×10^9	1.34	5.641	44.42
D2-Center(slow)	รถ 1 คันขับกลางซ่องทาง(ซ้าย)	-	Strain	0.370×10^6	0.014×10^6	5.329×10^9	1.90	5.935	46.74
D3-Center(medium)	รถ 1 คันขับกลางซ่องทาง(ปานกลาง)	-	Strain	0.370×10^6	0.014×10^6	5.329×10^9	1.90	5.935	46.74
D4-Center(fast)	รถ 1 คันขับกลางซ่องทาง(เร็ว)	-	Strain	0.370×10^6	0.014×10^6	5.329×10^9	1.90	5.935	46.74
D5-Left(slow)	รถ 1 คันขับซ้ายไป(ซ้าย)	-	Strain	0.370×10^6	0.011×10^6	4.105×10^9	1.46	5.711	44.98
D6-Right(slow)	รถ 1 คันขับขวากลับ(ซ้าย)	-	Strain	0.370×10^6	0.011×10^6	4.218×10^9	1.50	5.734	45.16
D7-Left(medium)	รถ 1 คันขับซ้ายไป(ปานกลาง)	-	Strain	0.370×10^6	0.005×10^6	1.828×10^9	0.65	5.030	39.61
D8-Right(medium)	รถ 1 คันขับขวากลับ(ปานกลาง)	-	Strain	0.370×10^6	0.011×10^6	4.218×10^9	1.50	5.734	45.16
D9-Left(fast)	รถ 1 คันขับซ้ายไป(เร็ว)	-	Strain	0.370×10^6	0.005×10^6	1.962×10^9	0.70	5.090	40.09
D10-Right(fast)	รถ 1 คันขับขวากลับ(เร็ว)	-	Strain	0.370×10^6	0.007×10^6	2.644×10^9	0.94	5.343	42.08
S1-2nd-Left	-	รถ 1 คันขับซ้ายไป(จอด)	Strain	0.370×10^6	0.007×10^6	2.644×10^9	0.94	5.343	42.08
S2-2nd-Center	-	รถ 1 คันขับกลางซ่องทาง(จอด)	Strain	0.370×10^6	0.008×10^6	3.084×10^9	1.10	5.476	43.12
D1-2nd-Left(slow)	-	รถ 1 คันขับซ้ายไป(ซ้าย)	Strain	0.370×10^6	0.008×10^6	3.084×10^9	1.10	5.472	43.09
D2-2nd-Center(slow)	-	รถ 1 คันขับกลางซ่องทาง(ปานกลาง)	Strain	0.370×10^6	0.010×10^6	3.778×10^9	1.34	5.646	44.46
D3-2nd-Left-(medium)	-	รถ 1 คันขับซ้ายไป(ปานกลาง)	Strain	0.370×10^6	0.005×10^6	3.084×10^9	1.10	5.472	43.09
D4-2nd-Left(fast)	-	รถ 1 คันขับซ้ายไป(เร็ว)	Strain	0.370×10^6	0.013×10^6	4.940×10^9	1.76	5.866	46.20
D5-2nd-Right(slow)	-	รถ 1 คันขับขวากลับ(ซ้าย)	Strain	0.370×10^6	0.013×10^6	4.940×10^9	1.76	5.866	46.20
S1-2nd-Left	-	รถ 1 คันขับซ้ายไป(จอด)	LVDT	0.370×10^6	0.554×10^6	0.205×10^{12}	72.90	10.448	82.28
S2-2nd-Center	-	รถ 1 คันขับกลางซ่องทาง(จอด)	LVDT	0.370×10^6	0.549×10^6	0.203×10^{12}	72.36	10.436	82.19
D1-2nd-Left(slow)	-	รถ 1 คันขับซ้ายไป(ซ้าย)	LVDT	0.370×10^6	0.591×10^6	0.219×10^{12}	77.87	10.578	83.30
D2-2nd-Center(slow)	-	รถ 1 คันขับกลางซ่องทาง(ปานกลาง)	LVDT	0.370×10^6	0.582×10^6	0.216×10^{12}	76.75	10.552	83.10
D3-2nd-Left-(medium)	-	รถ 1 คันขับซ้ายไป(ปานกลาง)	LVDT	0.370×10^6	0.561×10^6	0.203×10^{12}	73.99	10.477	82.51
D4-2nd-Left(fast)	-	รถ 1 คันขับซ้ายไป(เร็ว)	LVDT	0.370×10^6	0.558×10^6	0.206×10^{12}	73.44	10.462	82.39
D5-2nd-Right(slow)	-	รถ 1 คันขับขวากลับ(ซ้าย)	LVDT	0.370×10^6	0.644×10^6	0.238×10^{12}	84.84	10.752	84.67

สำหรับค่าแรงภายในการที่นำมาใช้เป็นข้อมูลในการคำนวณวิเคราะห์หากค่าบ่งชี้ความสามารถในการรับน้ำหนักบรรทุก (Load Rating Factor) ของโครงสร้างสะพาน คือ โอมเมนต์ในแผ่นพื้นและคาน, แรงเฉือนในแผ่นพื้นและคาน และหน่วยแรงตามแนวแกนในเสาตอนม่อสะพาน ซึ่งแรงภายในการที่ที่ได้จากแบบจำลองโครงสร้างสะพาน มีค่าดังแสดงในตารางที่ 4.2 ซึ่งจะนำไปใช้ในการคำนวณวิเคราะห์ หากค่าบ่งชี้ความสามารถในการรับน้ำหนักบรรทุก โดยวิธี LFR (Load Factor Rating) และ LRFR (Load and Resistance Factor Rating) ตามมาตรฐาน AASHTO ต่อไป

ตารางที่ 4.2 ข้อมูลสรุปของแรงภายในหลังจากที่รอด HS20-44 เคลื่อนที่บนแบบจำลองโครงสร้าง
สะพานที่ทำการปรับเทียบแล้ว

Load Case	Fit By	Moment Max. On Slab(Kg.m/m)	Shear Max. On Slab(Kg/m)	Moment Max. On Beam(Kg.m)	Shear Max. On Beam(Kg)	Axial Force Max. On Column(Kg)
S1-Center	Strain	3211.52	1594.50	1486.95	4193.54	7693.09
S2-Left	Strain	3060.35	1775.80	2132.72	4310.37	7721.08
S3-Right	Strain	3157.08	1653.97	1692.46	4235.38	7707.39
S4-2Left	Strain	3120.69	1697.82	1845.77	4263.45	7714.37
S5-2Right	Strain	3282.98	1522.84	1253.72	4138.38	7667.68
S6-2Center	Strain	3132.82	1682.71	1793.07	4254.08	7712.28
D1-2Center(slow)	Strain	3132.82	1682.71	1793.07	4254.08	7712.28
D2-Center(slow)	Strain	3211.52	1594.50	1486.95	4193.54	7693.09
D3-Center(medium)	Strain	3211.52	1594.50	1486.95	4193.54	7693.09
D4-Center(fast)	Strain	3211.52	1594.50	1486.95	4193.54	7693.09
D5-Left(slow)	Strain	3018.55	1834.68	2358.00	4343.18	7721.08
D6-Right(slow)	Strain	3157.08	1653.97	1692.46	4235.38	7707.39
D7-Left(medium)	Strain	2995.01	1869.45	2495.82	4361.83	7721.04
D8-Right(medium)	Strain	3157.08	1653.97	1692.46	4235.38	7707.39
D9-Left(fast)	Strain	3006.73	1852.16	2426.10	4352.52	7721.63
D10-Right(fast)	Strain	3060.35	1775.80	2132.72	4310.37	7721.04
S1-2nd-Left	Strain	3060.35	1775.80	2132.72	4310.37	7721.08
S2-2nd-Center	Strain	3090.42	1735.47	1984.20	4286.90	7718.51
D1-2nd-Left(slow)	Strain	3090.42	1735.47	1984.20	4286.90	7718.51
D2-2nd-Center(slow)	Strain	3132.82	1682.71	1793.07	4254.08	7712.28
D3-2nd-Left-(medium)	Strain	3090.42	1735.47	1984.20	4286.90	7718.51
D4-2nd-Left(fast)	Strain	3193.48	1613.67	1552.29	4207.45	7698.34
D5-2nd-Right(slow)	Strain	3193.48	1613.67	1552.29	4207.45	7698.34
S1-2nd-Left	LVDT	4522.53	982.20	581.24	3726.51	6828.41
S2-2nd-Center	LVDT	4525.28	981.54	580.33	3726.80	6825.66
D1-2nd-Left(slow)	LVDT	4528.03	980.86	579.31	3727.10	6822.90
D2-2nd-Center(slow)	LVDT	4530.68	980.16	578.39	3727.39	6820.15
D3-2nd-Left-(medium)	LVDT	4544.14	976.45	573.60	3728.75	6806.37
D4-2nd-Left(fast)	LVDT	4549.44	974.86	571.76	3729.26	6800.86
D5-2nd-Right(slow)	LVDT	4580.43	970.55	560.45	3731.90	6767.72

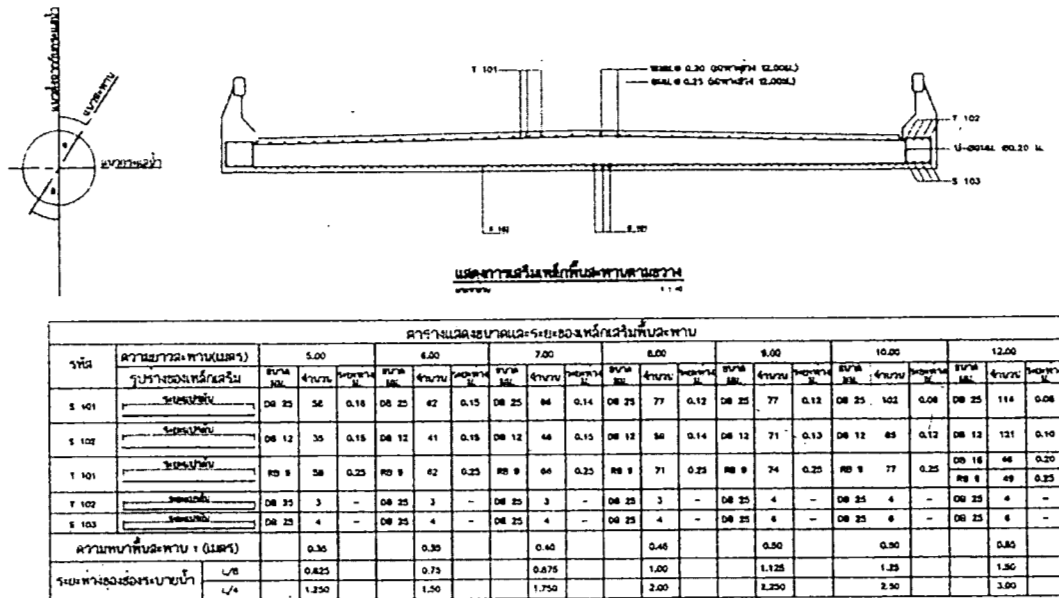
4.4 การคำนวณวิเคราะห์ค่าบ่งชี้ความสามารถในการรับน้ำหนักบรรทุกของโครงสร้างสะพาน (Load Rating Factor)

เมื่อทำการปรับเทียบแบบจำลองโครงสร้างสะพาน และทราบข้อมูลของแรงภายในต่าง ๆ ที่ได้ภายในหลังจากที่ใช้มาตรฐาน HS20-44 มาเคลื่อนที่ผ่านบนแบบจำลองโครงสร้างสะพานเป็นที่เรียบร้อยแล้ว ขั้นตอนต่อไปคือการคำนวณวิเคราะห์ค่าบ่งชี้ความสามารถในการรับน้ำหนักบรรทุกของโครงสร้าง โดยค่าบ่งชี้ความสามารถในการรับน้ำหนักบรรทุกของสะพาน สามารถแบ่งออกได้ 2 ระดับได้แก่

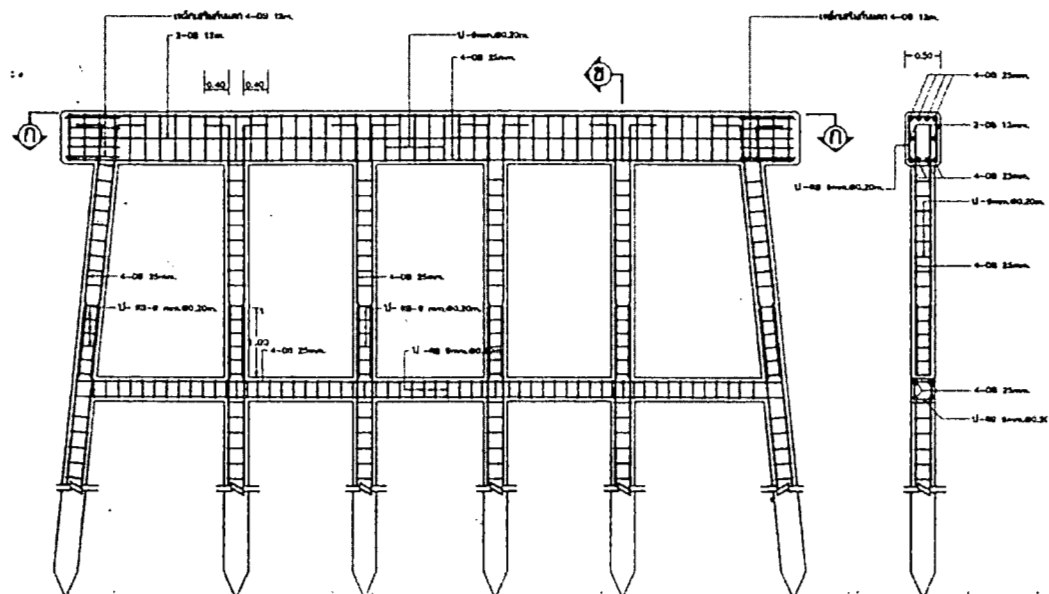
- **Inventory level** คือ ระดับที่โครงสร้างสะพานจะไม่เกิดความเสียหายจากน้ำหนักบรรทุก
- **Operating level** คือ ระดับที่โครงสร้างสะพานอาจเกิดความเสียหายได้บ้างจากน้ำหนักบรรทุก

โดยการคำนวณวิเคราะห์ค่าบ่งชี้ความสามารถในการรับน้ำหนักบรรทุกจะทำการวิเคราะห์สะพานออกเป็นชิ้นส่วนหลัก คือ แผ่นพื้นคอนกรีตของโครงสร้างสะพาน (Deck slab), โครงสร้างคานคอนกรีต (Cross beam) และโครงสร้างเสาตอม่อคอนกรีตของสะพาน (Pier) โดยจะทำการวิเคราะห์โดยโนเมนต์ดัดและแรงเฉือนที่เกิดขึ้นในแผ่นพื้นสะพานและโครงสร้างคาน ส่วนโครงสร้างเสาตอม่อสะพานจะวิเคราะห์โดยค่าหน่วยแรงอัดตามแนวแกน โดยมีสมการพื้นฐานโดยวิธี (Load Factor method, LF) ดังสมการที่ (2.13) และกำลังศักดิ์ทางแรงเฉือนและโนเมนต์ดัดสามารถหาได้จากคุณสมบัติทางกายภาพของโครงสร้าง

รูปที่ 4.9 และรูปที่ 4.10 แสดงรายละเอียดการเสริมเหล็กในชิ้นส่วนพื้นคาน และเสาตอม่อ ของสะพานคอนกรีตประเภทที่โครงสร้างส่วนพื้นเป็นชิ้นส่วนแผ่นพื้นคอนกรีตอัดแรง ตามแบบก่อสร้างมาตรฐาน มาตรฐาน มาตรฐาน 4-101/1 ของสำนักวิศวกรรมทางหลวงชนบท



รูปที่ 4.9 การเสริมเหล็กตามแบบมาตรฐาน มธ-4-101/1 ของสำนักวิศวกรรมทางหลวงชนบท



รูปที่ 4.10 การเสริมเหล็กตามแบบมาตรฐาน มธ-4-103 ของสำนักวิศวกรรมทางหลวงชนบท

ผลการวิเคราะห์ค่าหน่วยแรงที่เกิดขึ้นในโครงสร้างสะพานและผลการคำนวณค่าบ่งชี้ความสามารถในการรับน้ำหนักบรรทุกของโครงสร้างสะพานจะแสดงโดยจำแนกตามการปรับเทียบแบบจำลองโดยค่าความเครียด และจำแนกโดยการปรับเทียบโดยค่าการแอลด์วอคดี้

ตัวอย่างการคำนวณวิเคราะห์ค่าเบ่งชี๊ดความสามารถในการรับน้ำหนักบรรทุกของแต่ละชั้นส่วนของโครงสร้างสะพานสามารถคำนวณได้จากตารางสรุปผลค่าแรงภายในของแต่ละประเภทของโครงสร้างสะพาน เช่น

ตารางที่ 4.3 ค่าหน่วยแรงและค่าเบ่งชี๊ดความสามารถในการรับน้ำหนักบรรทุกของเพนพื้นสะพานของกรณีการทดสอบแบบสติติป์โดยวางน้ำหนักบรรทุกในแนวกึ่งกลางสะพาน

Load Case	DECK SLAB								
	Fit by		DL	HS20-44	I (Impact)	Ultimate	Capacity*	RF _{INVENTORY}	RF _{OPERATION}
S1-Center	Strain	M ⁺ (T.m/m)	6.57	3.21	0.3	19.05	51.32	7.89	4.72
		V (T/m)	0.55	1.59	0.3	4.52	33.44	18.83	11.28

*คำนวณจากแบบมาตรฐาน มธ-4-101/1 ของสำนักวิศวกรรมทางหลวงชนบท

**การวิเคราะห์ค่าเบ่งชี๊ดความสามารถในการรับน้ำหนักบรรทุกพิจารณาค่าไมemenต์บวกเท่านั้น

ไมemenต์คัด

$$RF_{OPERATION} = \frac{51.32 - 1.3(6.57)}{1.3(3.21)(1.3)} = 7.89$$

$$RF_{INVENTORY} = \frac{51.32 - 1.3(6.57)}{2.17(3.21)(1.3)} = 4.72$$

แรงเฉือน

$$RF_{OPERATION} = \frac{33.44 - 1.3(0.55)}{1.3(1.59)(1.3)} = 12.18$$

$$RF_{INVENTORY} = \frac{33.44 - 1.3(0.55)}{2.17(1.59)(1.3)} = 7.30$$

ตารางที่ 4.4 ค่าหน่วยแรงและค่าเบ่งชี๊ดความสามารถในการรับน้ำหนักบรรทุกของคานตามแนววางของสะพานของกรณีการทดสอบแบบสติติป์โดยวางน้ำหนักบรรทุกในแนวกึ่งกลางสะพาน

Load Case	CROSS BEAM								
	Fit by		DL	HS20-44	I (Impact)	Ultimate	Capacity*	RF _{INVENTORY}	RF _{OPERATION}
S1-Center	Strain	M ⁺ (T.m)	3.56	1.49	0.3	9.77	59.47	21.78	13.05
		M ⁻ (T.m)	3.53	0.71	0.3	7.99	-59.47	45.74	27.40
		V (T)	8.49	4.19	0.3	24.71	28.06	6.84	4.10

*คำนวณจากแบบมาตรฐาน มธ-4-103 ของสำนักวิศวกรรมทางหลวงชนบท

<u>ประเมินตัวคัด</u>	<u>แรงเฉือน</u>
$RF_{OPERATION} = \frac{59.47 - 1.3(3.56)}{1.3(1.49)(1.3)} = 21.78$	$RF_{OPERATION} = \frac{28.06 - 1.3(8.49)}{1.3(4.19)(1.3)} = 2.40$
$RF_{INVENTORY} = \frac{59.47 - 1.3(3.56)}{2.17(1.49)(1.3)} = 13.05$	$RF_{INVENTORY} = \frac{28.06 - 1.3(8.49)}{2.17(4.19)(1.3)} = 1.44$

ตารางที่ 4.5 ค่าหน่วยแรงและค่าบ่งชี้ความสามารถในการรับน้ำหนักบรรทุกของเสาตอม่อของสะพาน
กรณีการทดสอบแบบสติติป์โดยวางน้ำหนักบรรทุกในแนวกึ่งกลางสะพาน

Load Case	PIER								
	Fit by		DL	HS20-44	I (Impact)	Ultimate	Capacity*	RF _{INVENTORY}	RF _{OPERATION}
S1-Center	Strain	Axial (T)	13.81	7.69	0.3	42.13	387.20	28.41	17.02

*คำนวณจากแบบมาตรฐาน มข-4-103 ของสำนักวิศวกรรมทางหลวงชนบท

แรงอัดตามแนวแกน

$$RF_{OPERATION} = \frac{387.20 - 1.3(13.81)}{1.3(7.69)(1.3)} = 28.41 \quad RF_{INVENTORY} = \frac{387.20 - 1.3(13.81)}{2.17(7.69)(1.3)} = 17.02$$

ในส่วนของรายงานผลการคำนวณวิเคราะห์ค่าบ่งชี้ความสามารถในการรับน้ำหนักของสะพาน
ทั้งหมด สามารถอ้างอิงได้ตามลักษณะการให้น้ำหนักบรรทุก และประเภทของโครงสร้างสะพาน ดัง
แสดงในตารางที่ 4.6 ถึงตารางที่ 4.8

ตารางที่ 4.6 ค่าหน่วยแรงและค่าบ่งชี้ความสามารถในการรับน้ำหนักบรรทุกของเพ่นพื้นสะพาน

Load Case	DECK SLAB							LFR Method		LRFR Method		Korean Standard
	Fit by		DL	HS20-44	I (Impact)	Ultimate	Capacity*	RF _{INVENTORY}	RF _{OPERATION}	RF _{INVENTORY}	RF _{OPERATING}	RF
S1-Center	Strain	M ⁺ (T.m/m)	6.57	3.21	0.3	19.05	51.32	4.72	7.89	4.77	6.19	9.14
		V (T/m)	0.55	1.59	0.3	4.52	33.44	11.28	18.83	7.11	9.22	14.38
S2-Left	Strain	M ⁺ (T.m/m)	5.61	3.06	0.3	16.97	51.32	5.10	8.51	5.18	6.71	9.91
		V (T/m)	0.63	1.78	0.3	5.08	33.44	10.06	16.79	6.33	8.20	12.80
S3-Right	Strain	M ⁺ (T.m/m)	6.25	3.16	0.3	18.36	51.32	4.85	8.09	4.90	6.36	9.39
		V (T/m)	0.58	1.67	0.3	4.75	33.44	10.73	17.92	6.76	8.76	13.67
S4-2Left	Strain	M ⁺ (T.m/m)	6.03	3.12	0.3	17.87	51.32	4.94	8.25	5.00	6.49	9.39
		V (T/m)	0.60	1.70	0.3	4.85	33.44	10.54	17.59	6.63	8.60	13.42
S5-2Right	Strain	M ⁺ (T.m/m)	6.94	3.28	0.3	19.88	51.32	4.57	7.63	4.61	5.98	8.84
		V (T/m)	0.51	1.52	0.3	4.29	33.44	11.81	19.72	7.45	9.66	15.06
S6-2Center	Strain	M ⁺ (T.m/m)	6.10	3.13	0.3	18.02	51.32	4.91	8.20	4.98	6.45	9.53
		V (T/m)	0.60	1.68	0.3	4.80	33.44	10.66	17.80	6.71	8.70	13.58
D1-2Center(Slow)	Strain	M ⁺ (T.m/m)	6.10	3.13	0.3	18.02	51.32	4.91	8.25	4.98	6.45	9.39
		V (T/m)	0.60	1.68	0.3	4.80	33.44	10.66	17.80	6.71	8.70	13.58
D2-Center(Slow)	Strain	M ⁺ (T.m/m)	6.57	3.21	0.3	19.05	51.32	4.72	7.89	4.77	6.19	9.14
		V (T/m)	0.55	1.59	0.3	4.51	33.44	11.28	18.83	7.11	9.22	14.38
D3-Center(Medium)	Strain	M ⁺ (T.m/m)	6.57	3.21	0.3	19.05	51.32	4.72	7.89	4.77	6.19	9.14
		V (T/m)	0.55	1.59	0.3	4.51	33.44	11.28	18.83	7.11	9.22	14.38
D4-Center(Fast)	Strain	M ⁺ (T.m/m)	6.57	3.21	0.3	19.05	51.32	4.72	7.89	4.77	6.19	9.14
		V (T/m)	0.55	1.59	0.3	4.51	33.44	11.28	18.83	7.11	9.22	14.38
D5-Left(Slow)	Strain	M ⁺ (T.m/m)	5.29	3.02	0.3	16.30	51.32	5.22	8.71	5.30	6.87	10.14
		V (T/m)	0.65	1.87	0.3	5.32	33.44	9.57	15.97	6.02	7.80	12.17

ตารางที่ 4.6 ค่าหน่วยแรงและค่าปั่งชี้ความสามารถในการรับน้ำหนักบรรทุกของแผ่นพื้นสะพาน (ต่อ)

Load Case	DECK SLAB						LFR Method		LRFR Method		Korean Standard	
	Fit by		DL	HS20-44	I (Impact)	Ultimate	Capacity*	RF _{INVENTORY}	RF _{OPERATION}	RF _{INVENTORY}	RF _{OPERATING}	RF
D6-Right(Slow)	Strain	M ⁺ (T.m/m)	6.25	3.16	0.3	18.36	51.32	4.85	8.09	4.90	6.36	9.39
		V (T/m)	0.58	1.65	0.3	4.70	33.44	10.86	18.13	6.84	8.87	13.84
D7-Left(Medium)	Strain	M ⁺ (T.m/m)	5.09	3.00	0.3	15.89	51.32	5.28	8.82	5.37	6.96	10.28
		V (T/m)	0.66	1.87	0.3	5.33	33.44	9.57	15.97	6.01	7.80	12.16
D8-Right(Medium)	Strain	M ⁺ (T.m/m)	6.25	3.16	0.3	18.36	51.32	4.85	8.09	4.90	6.36	9.39
		V (T/m)	0.58	1.65	0.3	4.70	33.44	10.86	18.13	6.84	8.87	13.84
D9-Left(Fast)	Strain	M ⁺ (T.m/m)	5.19	3.01	0.3	16.10	51.32	5.25	8.76	5.34	6.92	10.21
		V (T/m)	0.66	1.85	0.3	5.29	33.44	9.67	16.14	6.08	7.88	12.30
D10-Right(Fast)	Strain	M ⁺ (T.m/m)	5.61	3.06	0.3	16.97	51.32	5.10	8.51	5.18	6.71	9.91
		V (T/m)	0.63	1.78	0.3	5.08	33.44	10.06	16.79	6.33	8.20	12.80
S1-2nd-Left	Strain	M ⁺ (T.m/m)	5.61	3.06	0.3	16.97	51.32	5.10	8.51	5.18	6.71	9.91
		V (T/m)	0.63	1.78	0.3	5.08	33.44	10.06	16.79	6.33	8.20	12.80
S2-2nd-Center	Strain	M ⁺ (T.m/m)	5.82	3.09	0.3	17.42	51.32	5.02	8.38	5.09	6.60	9.74
		V (T/m)	0.62	1.74	0.3	4.97	33.44	10.29	17.18	6.48	8.40	13.10
D1-2nd-Left(Slow)	Strain	M ⁺ (T.m/m)	5.82	3.09	0.3	17.42	51.32	5.02	8.38	5.09	6.60	9.39
		V (T/m)	0.62	1.74	0.3	4.97	33.44	10.29	17.18	6.48	8.40	13.10
D2-2nd-Center(Slow)	Strain	M ⁺ (T.m/m)	6.10	3.13	0.3	18.02	51.32	4.91	8.00	4.98	6.45	9.39
		V (T/m)	0.60	1.68	0.3	4.80	33.44	10.66	17.80	6.71	8.20	13.58
D3-2nd-Left(Medium)	Strain	M ⁺ (T.m/m)	5.82	3.09	0.3	17.42	51.32	5.02	8.38	5.09	6.60	9.74
		V (T/m)	0.62	1.74	0.3	4.97	33.44	10.29	17.18	6.48	8.40	13.10
D4-2nd-Left(Fast)	Strain	M ⁺ (T.m/m)	6.47	3.19	0.3	18.83	51.32	4.77	7.96	4.82	6.25	9.23
		V (T/m)	0.56	1.61	0.3	4.58	33.44	11.14	18.59	7.02	9.10	14.19
D5-2nd-Right(Slow)	Strain	M ⁺ (T.m/m)	6.47	3.19	0.3	18.83	51.32	4.77	7.96	4.82	6.25	9.39
		V (T/m)	0.56	1.61	0.3	4.58	33.44	11.14	18.59	7.02	9.10	13.10
S1-2nd-Left	LVDT	M ⁺ (T.m/m)	9.67	4.52	0.3	27.59	51.32	3.04	5.07	3.02	3.92	5.81
		V (T/m)	0.67	0.98	0.3	3.39	33.44	18.25	30.46	11.47	14.87	23.20
S2-2nd-Center	LVDT	M ⁺ (T.m/m)	9.68	4.53	0.3	27.63	51.32	3.03	5.06	3.01	3.91	5.79
		V (T/m)	0.67	0.98	0.3	3.39	33.44	18.25	30.46	11.47	14.87	23.20
D1-2nd-Left(Slow)	LVDT	M ⁺ (T.m/m)	9.68	4.53	0.3	27.63	51.32	3.03	5.06	3.01	3.91	5.79
		V (T/m)	0.62	0.98	0.3	3.39	33.44	18.25	30.46	11.47	14.87	23.20
D2-2nd-Center(Slow)	LVDT	M ⁺ (T.m/m)	9.69	4.53	0.3	27.65	51.32	3.03	5.06	3.01	3.91	5.79
		V (T/m)	0.68	0.98	0.3	3.40	33.44	18.24	30.45	11.47	14.86	23.19
D3-2nd-Left(Medium)	LVDT	M ⁺ (T.m/m)	9.70	4.54	0.3	27.69	51.32	3.02	5.05	3.01	3.90	5.78
		V (T/m)	0.68	0.98	0.3	3.40	33.44	18.24	30.45	11.47	14.86	23.19
D4-2nd-Left(Fast)	LVDT	M ⁺ (T.m/m)	9.71	4.55	0.3	27.73	51.32	3.01	5.03	3.00	3.89	5.76
		V (T/m)	0.68	0.97	0.3	3.38	33.44	18.43	30.77	11.58	15.02	23.43
D5-2nd-Right(Slow)	LVDT	M ⁺ (T.m/m)	9.74	4.58	0.3	27.85	51.32	2.99	4.99	2.97	3.86	5.78
		V (T/m)	0.62	0.97	0.3	3.40	33.44	18.43	30.76	11.58	15.01	23.42

ตารางที่ 4.7 ค่าหน่วยแรงและค่าเบ่งชีความสามารถในการรับน้ำหนักบรรทุกของโครงสร้างคานตาม

ข่าว

Load Case	Fit by	CROSS BEAM						LFR Method		LRFR Method		Korean Standard
		DL	HS20-44	I (Impact)	Ultimate	Capacity*	RF _{INVENTORY}	RF _{OPERATION}	RF _{INVENTORY}	RF _{OPERATING}	RF	
S1-Center	Strain	M ⁺ (T.m)	3.56	1.49	0.3	9.77	59.47	13.05	21.78	13.38	17.34	25.55
		M ⁻ (T.m)	3.53	0.71	0.3	7.99	-59.47	27.40	45.74	28.10	36.42	53.66
		V (T)	8.49	4.19	0.3	24.71	28.06	4.10	6.84	1.24	1.60	2.66
S2-Left	Strain	M ⁺ (T.m)	2.64	2.13	0.3	9.51	59.47	9.33	15.57	9.59	12.43	18.30
		M ⁻ (T.m)	2.62	0.72	0.3	6.36	-59.47	27.60	46.07	28.39	36.80	54.18
		V (T)	9.15	4.31	0.3	26.18	28.06	3.91	6.53	1.12	1.45	2.43
S3-Right	Strain	M ⁺ (T.m)	3.30	1.69	0.3	9.74	59.47	11.57	19.32	11.88	15.40	22.68
		M ⁻ (T.m)	3.27	0.71	0.3	7.52	-59.47	27.57	46.02	28.30	36.68	54.03
		V (T)	8.70	4.24	0.3	25.20	28.06	4.03	6.72	1.19	1.55	2.58
S4-2Left	Strain	M ⁺ (T.m)	3.08	1.85	0.3	9.69	59.47	10.63	17.74	10.91	14.15	20.84
		M ⁻ (T.m)	3.06	0.72	0.3	7.16	-59.47	27.32	45.60	28.06	36.37	53.57
		V (T)	8.85	4.26	0.3	25.52	28.06	3.99	6.66	1.17	1.52	2.53
S5-2Right	Strain	M ⁺ (T.m)	3.81	1.25	0.3	9.70	59.47	15.46	25.81	15.84	20.53	30.26
		M ⁻ (T.m)	3.78	0.70	0.3	8.43	-59.47	27.63	46.12	28.31	36.70	54.07
		V (T)	8.25	4.14	0.3	24.16	28.06	4.17	6.97	1.28	1.66	2.75
S6-2Center	Strain	M ⁺ (T.m)	3.16	1.79	0.3	9.74	59.47	10.96	18.30	11.26	14.59	21.49
		M ⁻ (T.m)	3.13	0.71	0.3	7.27	-59.47	27.66	46.17	28.40	36.82	54.22
		V (T)	8.80	4.25	0.3	25.41	28.06	4.01	6.69	1.18	1.53	2.55
D1-2Center(Slow)	Strain	M ⁺ (T.m)	3.16	1.79	0.3	9.71	59.47	10.96	18.30	11.26	14.59	21.49
		M ⁻ (T.m)	3.13	0.71	0.3	7.27	-59.47	27.66	46.17	28.40	36.82	54.22
		V (T)	8.80	4.25	0.3	25.41	28.06	4.01	6.69	1.18	1.53	2.55
D2-Center(Slow)	Strain	M ⁺ (T.m)	3.56	1.49	0.3	9.77	59.47	13.05	21.78	13.38	17.34	25.55
		M ⁻ (T.m)	3.53	0.71	0.3	7.99	-59.47	27.40	45.74	28.10	36.42	53.66
		V (T)	8.49	4.19	0.3	24.71	28.06	4.10	6.84	1.24	1.60	2.66
D3-Center(Medium)	Strain	M ⁺ (T.m)	3.56	1.49	0.3	9.77	59.47	13.05	21.78	13.38	17.34	25.55
		M ⁻ (T.m)	3.53	0.71	0.3	7.99	-59.47	27.40	45.74	28.10	36.42	53.66
		V (T)	8.49	4.19	0.3	24.71	28.06	4.10	6.84	1.24	1.60	2.66
D4-Center(Fast)	Strain	M ⁺ (T.m)	3.56	1.49	0.3	9.74	59.47	13.05	21.78	13.38	17.34	25.55
		M ⁻ (T.m)	3.53	0.71	0.3	7.99	-59.47	27.40	45.74	28.10	36.42	53.66
		V (T)	8.49	4.19	0.3	24.71	28.06	4.10	6.84	1.24	1.60	2.66
D5-Left(Slow)	Strain	M ⁺ (T.m)	2.26	2.36	0.3	9.33	59.47	8.49	14.17	8.74	11.33	16.68
		M ⁻ (T.m)	2.25	0.72	0.3	9.69	-59.47	27.84	46.17	28.66	37.16	54.69
		V (T)	9.39	4.34	0.3	26.68	28.06	3.86	6.44	1.08	1.40	2.36
D6-Right(Slow)	Strain	M ⁺ (T.m)	3.30	1.69	0.3	9.74	59.47	11.57	19.32	11.88	15.40	22.68
		M ⁻ (T.m)	3.27	0.71	0.3	7.52	-59.47	27.57	46.02	28.30	36.68	54.03
		V (T)	8.70	4.24	0.3	25.20	28.06	4.03	6.72	1.19	1.55	2.58
D7-Left(Medium)	Strain	M ⁺ (T.m)	2.30	2.50	0.3	9.71	59.47	8.01	13.37	8.24	10.69	15.73
		M ⁻ (T.m)	2.01	0.73	0.3	5.27	-59.47	27.61	46.09	28.45	36.88	54.27
		V (T)	9.55	4.36	0.3	27.02	28.06	3.83	6.39	1.06	1.37	2.31
D8-Right(Medium)	Strain	M ⁺ (T.m)	3.30	1.69	0.3	9.74	59.47	11.57	19.32	11.88	15.40	22.68
		M ⁻ (T.m)	3.27	0.71	0.3	7.52	-59.47	27.57	46.02	28.30	36.68	54.03
		V (T)	8.70	4.24	0.3	25.20	28.06	4.03	6.72	1.19	1.55	2.58
D9-Left(Fast)	Strain	M ⁺ (T.m)	2.14	2.43	0.3	9.27	59.47	8.27	13.80	8.52	11.04	16.25
		M ⁻ (T.m)	2.13	0.72	0.3	5.47	-59.47	27.92	46.60	28.75	37.27	54.86
		V (T)	9.47	4.35	0.3	26.85	28.06	3.84	6.41	1.07	1.39	2.34

ตารางที่ 4.7 ค่าหน่วยแรงและค่าเบ่งชีดความสามารถในการรับน้ำหนักบรรทุกของโครงสร้างตามข่าว (ต่อ)

Load Case	Fit by	CROSS BEAM					LFR Method		LRFR Method		Korean Standard
		DL	HS20-44	I (Impact)	Ultimate	Capacity*	RF _{INVENTORY}	RF _{OPERATION}	RF _{INVENTORY}	RF _{OPERATING}	RF
D10-Right(Fast)	Strain	M ⁺ (T.m)	2.64	2.13	0.3	9.51	59.47	9.33	15.57	9.59	12.43
		M ⁻ (T.m)	2.62	0.72	0.3	6.36	-59.47	27.60	46.07	28.39	36.80
		V (T)	9.15	4.31	0.3	26.18	28.06	3.91	6.53	1.12	1.45
S1-2nd-Left	Strain	M ⁺ (T.m)	2.64	2.13	0.3	9.51	59.47	9.33	15.57	9.59	12.43
		M ⁻ (T.m)	2.62	0.72	0.3	6.36	-59.47	27.60	46.07	28.39	36.80
		V (T)	9.15	4.31	0.3	26.18	28.06	3.91	6.53	1.12	1.45
S2-2nd-Center	Strain	M ⁺ (T.m)	2.87	1.98	0.3	9.60	59.47	9.98	16.66	10.25	13.29
		M ⁻ (T.m)	2.85	0.72	0.3	6.78	-59.47	27.46	45.83	28.22	36.58
		V (T)	8.99	4.29	0.3	25.84	28.06	3.95	6.59	1.14	1.48
D1-2nd-Left(slow)	Strain	M ⁺ (T.m)	2.87	1.98	0.3	9.60	59.47	9.98	16.66	10.25	13.29
		M ⁻ (T.m)	2.85	0.72	0.3	6.78	-59.47	27.46	45.83	28.22	36.58
		V (T)	8.99	4.29	0.3	25.84	28.06	3.95	6.59	1.14	1.48
D2-2nd-Center(Slow)	Strain	M ⁺ (T.m)	3.16	1.79	0.3	9.71	59.47	10.96	18.30	11.26	14.59
		M ⁻ (T.m)	3.13	0.71	0.3	7.27	-59.47	27.66	46.17	28.40	36.82
		V (T)	8.80	4.25	0.3	25.41	28.06	4.01	6.69	1.18	1.53
D3-2nd-Left(Medium)	Strain	M ⁺ (T.m)	2.87	1.98	0.3	9.60	59.47	9.98	16.66	10.25	13.29
		M ⁻ (T.m)	2.85	0.72	0.3	6.78	-59.47	27.46	45.83	28.22	36.58
		V (T)	8.99	4.29	0.3	25.84	28.06	3.95	6.59	1.14	1.48
D4-2nd-Left(Fast)	Strain	M ⁺ (T.m)	3.48	1.55	0.3	9.76	59.47	12.57	20.98	12.89	16.71
		M ⁻ (T.m)	3.45	0.71	0.3	7.85	-59.47	27.45	45.83	28.16	36.50
		V (T)	8.56	4.21	0.3	24.88	28.06	4.07	6.79	1.22	1.58
D5-2nd-Right(Slow)	Strain	M ⁺ (T.m)	3.48	1.55	0.3	9.76	59.47	12.57	20.98	12.89	16.71
		M ⁻ (T.m)	3.45	0.71	0.3	7.85	-59.47	27.45	45.82	28.16	36.50
		V (T)	8.56	4.21	0.3	24.88	28.06	4.07	6.79	1.22	1.58
S1-2nd-Left	LVDT	M ⁺ (T.m)	2.31	0.58	0.3	5.49	59.47	34.51	57.61	35.53	46.05
		M ⁻ (T.m)	2.29	0.48	0.3	5.23	-59.47	41.72	69.64	42.95	55.68
		V (T)	4.66	3.73	0.3	16.72	28.06	5.08	8.47	1.94	2.51
S2-2nd-Center	LVDT	M ⁺ (T.m)	2.31	0.58	0.3	5.49	59.47	34.51	57.61	35.53	46.05
		M ⁻ (T.m)	2.28	0.47	0.3	5.19	-59.47	42.62	71.14	43.88	56.88
		V (T)	4.65	3.73	0.3	16.71	28.06	5.08	8.48	1.94	2.52
D1-2nd-Left(slow)	LVDT	M ⁺ (T.m)	2.30	0.58	0.3	5.47	59.47	34.52	57.62	35.54	46.07
		M ⁻ (T.m)	2.27	0.47	0.3	5.17	-59.47	42.63	71.16	43.89	56.89
		V (T)	4.64	3.73	0.3	16.69	28.06	5.08	8.48	1.94	2.52
D2-2nd-Center(Slow)	LVDT	M ⁺ (T.m)	2.29	0.58	0.3	5.45	59.47	34.53	57.63	35.55	46.08
		M ⁻ (T.m)	2.27	0.47	0.3	5.17	-59.47	42.63	71.16	43.89	56.89
		V (T)	4.64	3.73	0.3	16.69	28.06	5.08	8.48	1.94	2.52
D3-2nd-Left(Medium)	LVDT	M ⁺ (T.m)	2.25	0.57	0.3	5.35	59.47	35.17	58.70	36.21	46.93
		M ⁻ (T.m)	2.23	0.47	0.3	5.10	-59.47	42.67	71.22	43.93	56.95
		V (T)	4.60	3.73	0.3	16.62	28.06	5.08	8.49	1.95	2.52
D4-2nd-Left(Fast)	LVDT	M ⁺ (T.m)	2.24	0.57	0.3	5.34	59.47	35.17	58.71	36.22	46.95
		M ⁻ (T.m)	2.21	0.47	0.3	5.06	-59.47	42.69	71.25	43.96	56.98
		V (T)	4.58	3.73	0.3	16.58	28.06	5.08	8.49	1.95	2.52
D5-2nd-Right(Slow)	LVDT	M ⁺ (T.m)	2.15	0.56	0.3	5.19	59.47	35.88	59.88	36.95	47.90
		M ⁻ (T.m)	2.13	0.46	0.3	4.89	-59.47	43.69	72.94	45.00	58.34
		V (T)	4.49	3.73	0.3	16.42	28.06	5.10	8.51	1.96	2.55

ตารางที่ 4.8 ค่าหน่วยแรงและค่าปั่งชี้ความสามารถในการรับน้ำหนักบรรทุกของโครงสร้างเสาตอม่อ

สีฟาน

Load Case	PIER							LFR Method		LRFR Method		Korean Standard
	Fit by		DL	HS20-44	I (Impact)	Ultimate	Capacity*	RF _{INVENTORY}	RF _{OPERATING}	RF _{INVENTORY}	RF _{OPERATING}	RF
S1-Center	Strain	Axial (T)	13.81	7.69	0.3	42.13	387.20	17.02	28.41	16.50	21.39	33.45
S2-Left	Strain	Axial (T)	13.72	7.71	0.3	42.01	387.20	16.98	28.35	16.47	21.35	33.37
S3-Right	Strain	Axial (T)	13.65	7.71	0.3	41.88	387.20	16.99	28.35	16.47	21.35	33.38
S4-2Left	Strain	Axial (T)	13.90	7.67	0.3	42.25	387.20	17.06	28.48	16.54	21.44	33.53
S5-2Right	Strain	Axial (T)	13.67	7.71	0.3	41.92	387.20	16.99	28.35	16.47	21.35	33.38
S6-2Center	Strain	Axial (T)	13.67	7.71	0.3	41.92	387.20	16.99	28.35	16.47	21.35	33.38
D1-2Center(Slow)	Strain	Axial (T)	13.67	7.71	0.3	41.92	387.20	16.99	28.35	16.47	21.35	33.38
D2-Center(Slow)	Strain	Axial (T)	13.81	7.69	0.3	42.13	387.20	17.02	28.41	16.50	21.39	33.45
D3-Center(medium)	Strain	Axial (T)	13.81	7.69	0.3	42.13	387.20	17.02	28.41	16.50	21.39	33.45
D4-Center(Fast)	Strain	Axial (T)	13.81	7.69	0.3	42.13	387.20	17.02	28.41	16.50	21.39	33.45
D5-Left(Slow)	Strain	Axial (T)	13.39	7.72	0.3	41.43	387.20	16.98	28.34	16.47	21.35	33.37
D6-Right(Slow)	Strain	Axial (T)	13.72	7.71	0.3	42.01	387.20	16.98	28.35	16.47	21.35	33.37
D7-Left(Medium)	Strain	Axial (T)	13.31	7.72	0.3	41.29	387.20	16.98	28.35	16.47	21.36	33.38
D8-Right(Medium)	Strain	Axial (T)	13.72	7.72	0.3	42.03	387.20	16.96	28.31	16.45	21.32	33.33
D9-Left(Fast)	Strain	Axial (T)	13.35	7.72	0.3	41.36	387.20	16.98	28.35	16.47	21.35	33.38
D10-Right(Fast)	Strain	Axial (T)	13.51	7.72	0.3	41.65	387.20	16.97	28.35	16.46	21.34	33.38
S1-2nd-Left	Strain	Axial (T)	13.51	7.72	0.3	41.65	387.20	16.97	28.35	16.46	21.34	33.36
S2-2nd-Center	Strain	Axial (T)	13.58	7.72	0.3	41.78	387.20	16.97	28.32	16.46	21.35	33.53
D1-2nd-Left(Slow)	Strain	Axial (T)	13.58	7.72	0.3	41.78	387.20	16.97	28.32	16.46	21.33	33.45
D2-2nd-Center(Slow)	Strain	Axial (T)	13.67	7.71	0.3	41.92	387.20	16.99	28.35	16.47	21.39	33.38
D3-2nd-Left(Medium)	Strain	Axial (T)	13.58	7.72	0.3	41.78	387.20	16.97	28.32	16.46	21.33	33.35
D4-2nd-Left(Fast)	Strain	Axial (T)	13.78	7.70	0.3	42.13	387.20	17.00	28.38	16.48	21.32	33.41
D5-2nd-Right(Slow)	Strain	Axial (T)	13.78	7.70	0.3	42.10	387.20	17.00	28.38	16.48	21.32	33.41
S1-2nd-Left	LVDT	Axial (T)	12.97	6.83	0.3	38.70	387.20	19.22	32.08	18.65	24.17	37.78
S2-2nd-Center	LVDT	Axial (T)	12.96	6.83	0.3	38.68	387.20	19.22	32.09	18.65	24.17	37.79
D1-2nd-Left(Slow)	LVDT	Axial (T)	12.97	6.82	0.3	38.68	387.20	19.25	32.13	18.68	24.21	37.84
D2-2nd-Center(Slow)	LVDT	Axial (T)	12.95	6.82	0.3	38.64	387.20	19.25	32.13	18.68	24.21	37.84
D3-2nd-Left(Medium)	LVDT	Axial (T)	12.92	6.81	0.3	38.56	387.20	19.28	32.18	18.71	24.25	37.90
D4-2nd-Left(Fast)	LVDT	Axial (T)	12.91	6.80	0.3	38.52	387.20	19.31	32.23	18.74	24.29	37.96
D5-2nd-Right(Slow)	LVDT	Axial (T)	12.82	6.77	0.3	38.29	387.20	19.40	32.39	18.83	24.40	38.14

*ค่าปั่งชี้ความสามารถในการรับน้ำหนักบรรทุกของโครงสร้างเสาตอม่อพิจารณาเฉพาะในโครงสร้าง

เสาตอม่อเท่านั้น ไม่รวมถึงความสามารถในการรับน้ำหนักปลดอุดภัยของเสาเข้ม

จากตารางสรุปข้อมูลค่าบ่งชี้ความสามารถในการรับน้ำหนักบรรทุกของโครงสร้างสะพาน ที่ได้จากการคำนวณพบว่า สะพานยังมีความสามารถแข็งแรงเพียงพอที่จะใช้งานได้อย่างปลอดภัย โดยมีค่าบ่งชี้ความสามารถในการรับน้ำหนักบรรทุกของแผ่นพื้นสะพานจากการทดสอบแบบสติติ์ และแบบพลวัต แบบเคลื่อนที่ข้ามกัน ๆ สอดคล้องกัน โดยการวิเคราะห์ผลของค่าบ่งชี้ความสามารถในการรับน้ำหนักบรรทุกของโครงสร้างสะพานยังสามารถแบ่งออกได้เป็น 2 กรณีคือ กรณีปรับเทียบจำลองโครงสร้างจากค่าความเครียด และกรณีปรับเทียบแบบจำลองโครงสร้างจากค่าการแอ่นด้วย

โดยผลของค่าบ่งชี้ความสามารถในการรับน้ำหนักบรรทุกของโครงสร้างสะพานจากการปรับเทียบทั้ง 2 กรณีข้างต้นพบว่า การให้น้ำหนักบรรทุกในแต่ละช่องจรารมีผลกระทบต่อความสามารถในการรับน้ำหนักของสะพาน โดยจะสังเกตได้ว่าโครงสร้างสะพานมีแนวโน้มที่ความสามารถในการรับน้ำหนักบรรทุกจะลดลงเมื่อมีรถบรรทุกเคลื่อนที่ในช่องจราจรค้านขวา ซึ่งอาจเกิดจากโครงสร้างสะพานเป็นแบบแผ่นพื้นคอนกรีตสำเร็จรูป (PC plank) เทหันหน้าด้วยคอนกรีตเสริมเหล็ก มีลักษณะเป็นโครงสร้างประกอบ (Composite structure) เมื่อมีน้ำหนักบรรทุกกระทำในแผ่นพื้นสะพานแผ่นใดแผ่นหนึ่ง การถ่ายแรงไปสู่แผ่นพื้นสะพานอื่น ๆ อาจจะไม่เป็นไปอย่างสมบูรณ์

ความเร็วที่รถบรรทุกใช้ในการทดสอบโครงสร้างสะพานก็ส่งผลให้ค่าบ่งชี้ความสามารถในการรับน้ำหนักบรรทุกลดลง ได้ ทั้งนี้เนื่องจากเมื่อรถบรรทุกเคลื่อนที่ด้วยความเร็วที่สูงจะเกิดแรงกระแทก (Impact load) ซึ่งส่งผลให้ค่าความเครียดที่เกิดขึ้นมีค่าสูงกว่าแบบสติติ์และส่งผลให้ค่าบ่งชี้ความสามารถในการรับน้ำหนักบรรทุกลดลง ได้ ซึ่งสามารถวิเคราะห์ออกมาในรูปของค่าตัวคูณขยายทางพลวัต (Dynamic Amplification Factor, DAF) ดังสรุปในตารางที่ 4.9

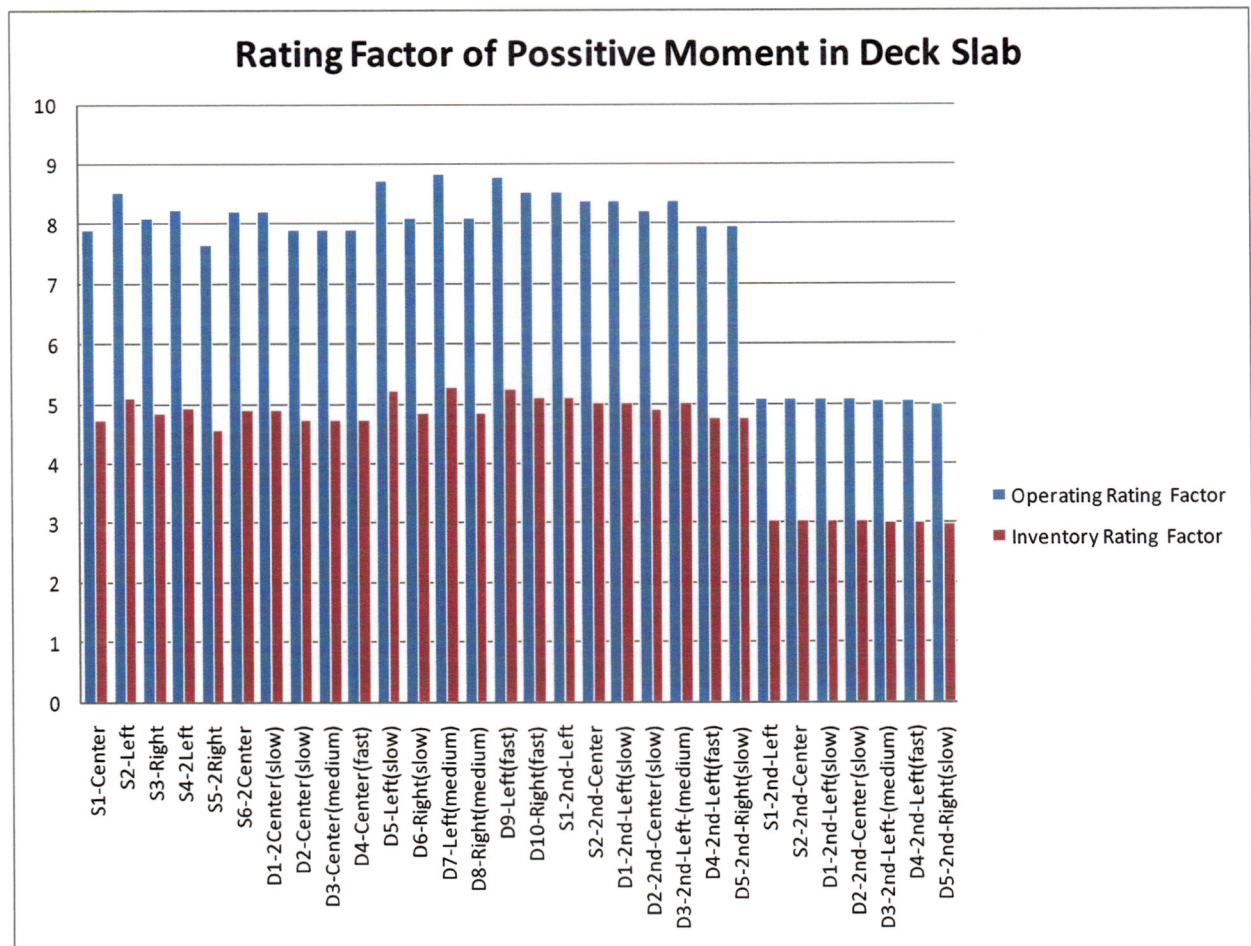
ตารางที่ 4.9 ค่าความเครียดสูงสุดและค่าตัวคูณขยายจากการทดสอบ

Load Case	Speed	Maximum Strain(micro)	DAF
Static Right Lane	-	30.8	-
Dynamic Right Lane	Very Slow	31.1	1.01
Dynamic Right Lane	Medium	34.9	1.13
Dynamic Right Lane	Fast	35.6	1.16

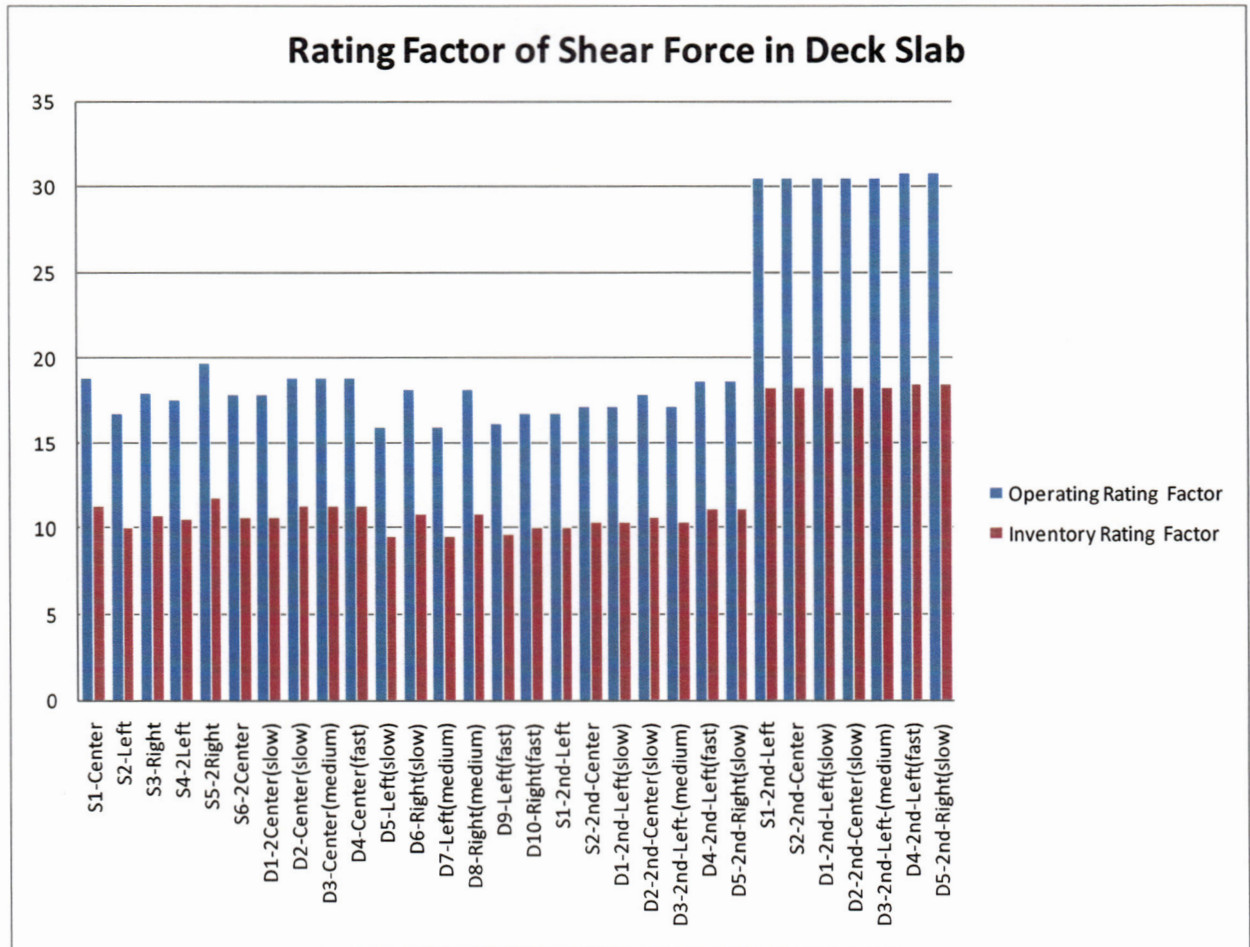
จำนวนของรถบรรทุกที่ใช้ในการทดสอบมีผลกระทบผลต่อความสามารถในการรับน้ำหนักบรรทุกของโครงสร้างสะพานได้ เช่นกัน โดยค่าบ่งชี้ความสามารถในการรับน้ำหนักบรรทุกของโครงสร้างสะพานจะลดลงเมื่อมีรถบรรทุกจอดบนสะพาน 2 คันพร้อมกันแบบขับตามกันในช่องจราจรค้านขวา โดยมีค่าลดลงจากการมีรถบรรทุกจอดบนสะพานคันเดียวถึง 5.77%

วิธีการทดสอบแบบสถิติ์และแบบพลวตที่ความเร็วข้ามกัน ให้ผลของความสามารถในการรับน้ำหนักบรรทุกของโครงสร้างสะพานใกล้เคียงกัน ซึ่งทำให้สามารถเลือกใช้การทดสอบแบบพลวตที่ความเร็วข้ามกัน ๆ แทนการทดสอบแบบสถิติ์ที่อาจจะจำเป็นต้องปิดการจราจรเป็นระยะเวลานาน ได้ทำให้การทดสอบสะพานมีความสะดวกและรวดเร็วขึ้น ได้

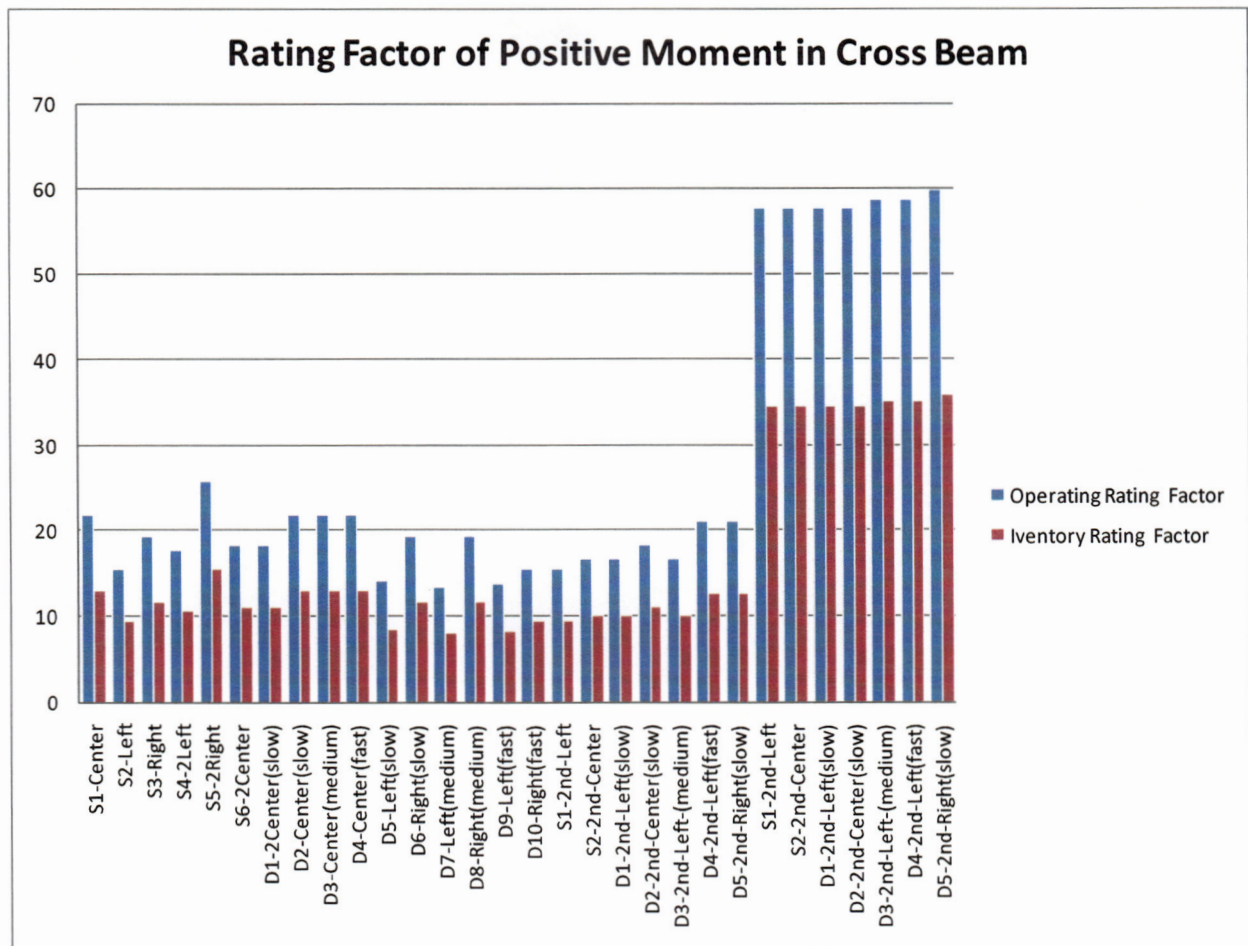
ข้อมูลวิเคราะห์ข้างต้นพิจารณาจากการเปรียบเทียบจากค่าบ่งชี้ความสามารถในการรับน้ำหนักบรรทุกของโครงสร้างสะพานโดยวิธี Load Factor Method (LF) ซึ่งแบ่งออกได้ตามลักษณะของแรงภายในต่าง ๆ ของแต่ละชิ้นส่วนของโครงสร้างสะพาน และยังแบ่งออกตามระดับของค่าบ่งชี้ความสามารถในการรับน้ำหนักบรรทุกอีกด้วย ดังแสดงตามรูปที่ 4.11 ถึงรูปที่ 4.16



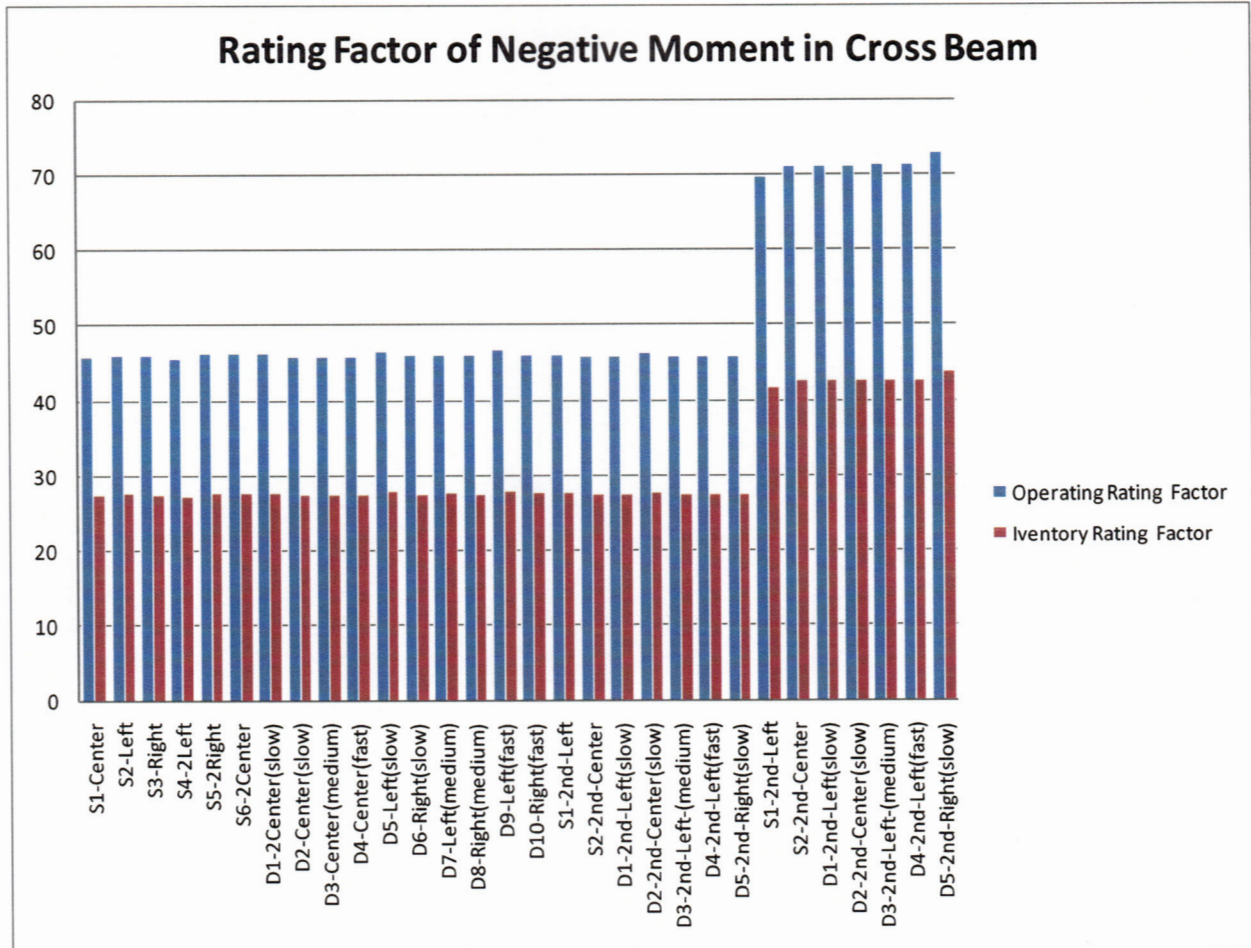
รูปที่ 4.11 การเปรียบเทียบค่าบ่งชี้ความสามารถรับน้ำหนักบรรทุกเนื่องจากโภmenต์บวกของพื้นสะพาน



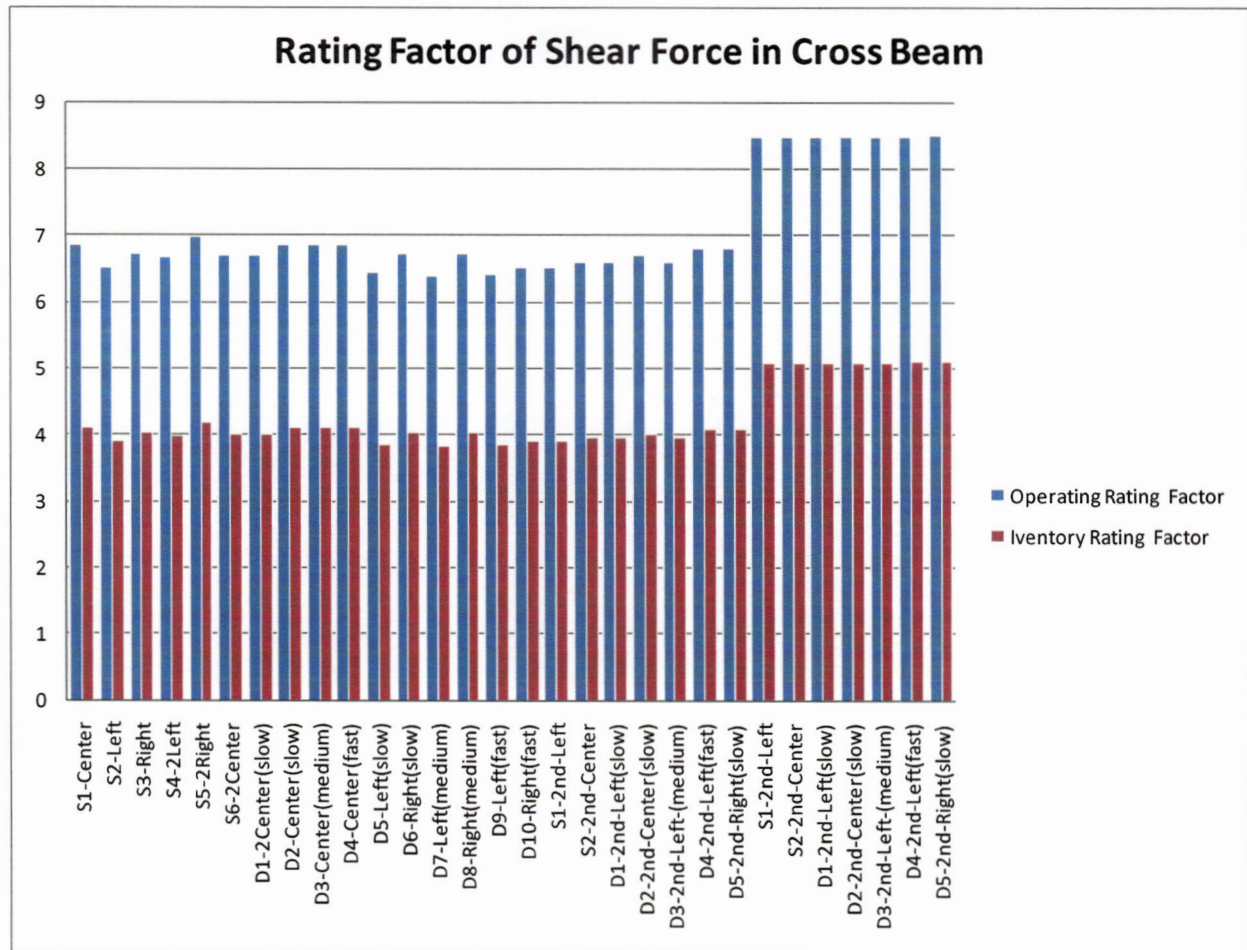
รูปที่ 4.12 การเปรียบเทียบค่าเบ่งช่องความสามารถรับน้ำหนักบรรทุกเนื่องจากแรงเฉือนของพื้นสะพาน



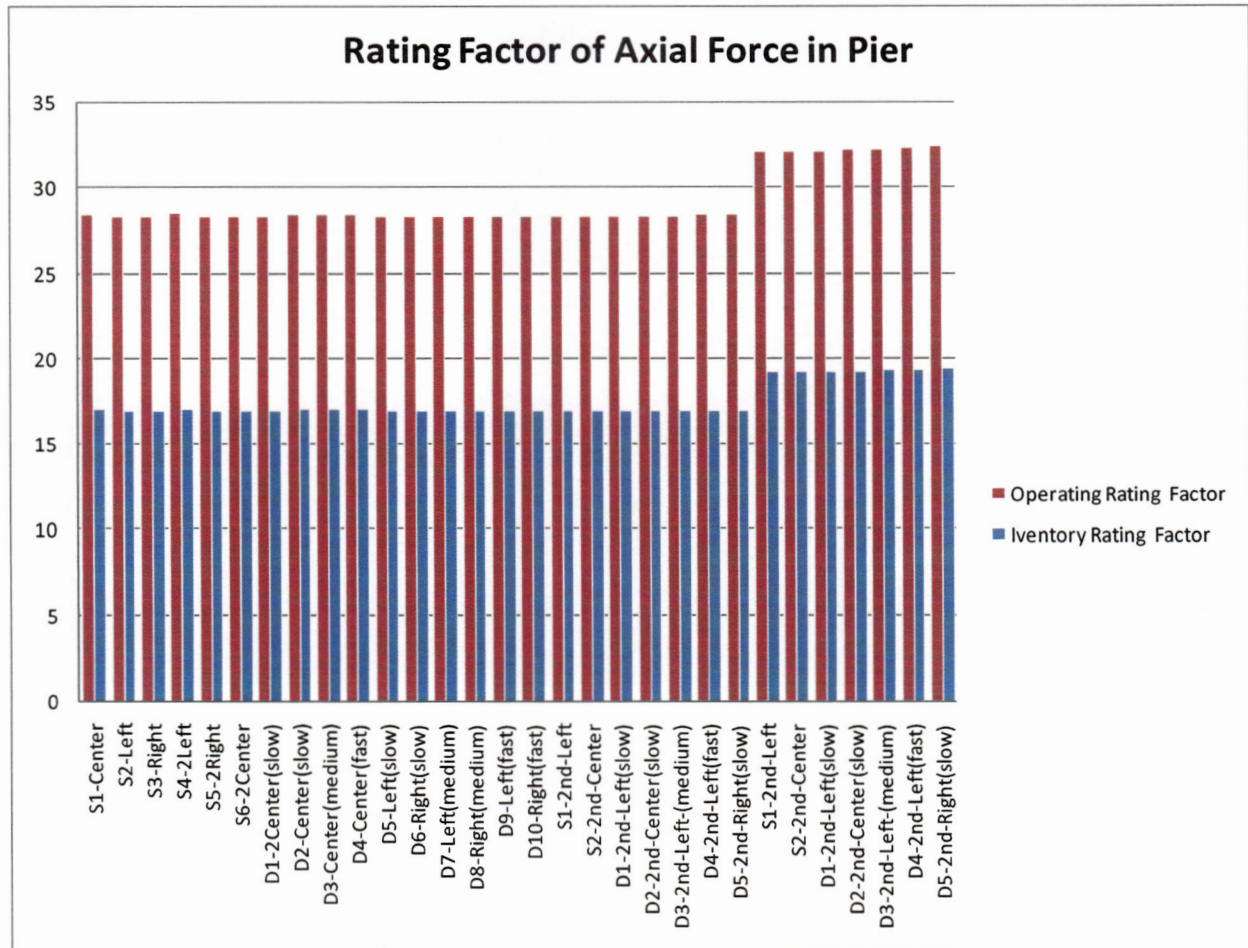
รูปที่ 4.13 การเปรียบเทียบค่าเบ่งช่องว่างความสามารถรับน้ำหนักบรรทุกเนื่องจากโ้มเมนต์บวกของคานตามห่วง



รูปที่ 4.14 การเปรียบเทียบค่าเบ่งชี๊ดความสามารถรับน้ำหนักบรรทุกเนื่องจากโภmen ต่ำของคานตามขาวง



รูปที่ 4.15 การเปรียบเทียบค่าเบี่ยงชี้ความสามารถรับน้ำหนักบรรทุกเนื่องจากแรงเฉือนของคานตามขวาง



รูปที่ 4.16 การเปรียบเทียบค่าเบ่งช่องความสามารถรับน้ำหนักบรรทุกเนื่องจากแรงในแนวแกนของเสา
ตอม่อสะพาน

บทที่ 5

สรุปผลการศึกษาและข้อเสนอแนะ

5.1 สรุปผลการศึกษา

1. จากการศึกษาและวิเคราะห์ค่าบ่งชี้ความสามารถในการรับน้ำหนักบรรทุกของโครงสร้างสะพานคอนกรีตเสริมเหล็กในครั้งนี้พบว่า โครงสร้างสะพานที่ทำการทดสอบยังมีความแข็งแรงเพียงพอที่จะสามารถใช้งานได้อย่างปลอดภัย เนื่องจากค่าบ่งชี้ความสามารถในการรับน้ำหนักบรรทุกที่ได้มีค่าอยู่ในเกณฑ์ที่สูง โดยการทดสอบแบบสติติกกับการทดสอบแบบพลวตที่ความเร็วของรถบรรทุกช้ามาก ๆ มีแนวโน้มของค่าบ่งชี้ความสามารถในการรับน้ำหนักบรรทุกใกล้เคียงกันมาก จึงอาจจะใช้วิธีการทดสอบแบบพลวตที่ความเร็วช้ามาก ๆ แทนการทดสอบแบบสติติกได้ เพื่อความสะดวกและรวดเร็วในการทดสอบ เนื่องจากการทดสอบแบบสติติกใช้ระยะเวลาในการทดสอบค่อนข้างนาน จนอาจส่งผลให้การจราจรติดขัดได้ในกรณีที่สะพานที่ทำการทดสอบมีปริมาณการจราจรหนาแน่น

2. ค่าบ่งชี้ความสามารถในการรับน้ำหนักบรรทุกโดยวิธี LFR และ LRFR มีค่าแตกต่างกันเล็กน้อย โดยค่าบ่งชี้ที่ระดับ Inventory Level วิธี LRFR ให้ค่าบ่งชี้มากกว่าวิธี LFR แต่ค่าบ่งชี้ที่ระดับ Operating Level วิธี LRFR จะให้ค่าบ่งชี้น้อยกว่าวิธี LFR ส่วนค่าบ่งชี้ความสามารถในการรับน้ำหนักบรรทุกจากมาตรฐานกระหวงคณานคมประเทคโนโลยีให้ค่าสูงที่สุด

3. ในการทดสอบนี้ใช้วิธีวิเคราะห์ค่ากำลังประลักษณ์ของคอนกรีตโครงสร้างโดยอุปกรณ์ ชmid แฮมเมอร์ (Schmidt hammer) ค่ากำลังประลักษณ์ของแผ่นพื้นสะพานที่ได้มีค่า 599.16 กิโลกรัมต่อตารางเซนติเมตร ซึ่งมีค่าอยู่ในเกณฑ์ที่สูงมาก จนอาจจะส่งผลให้การทดสอบผิดพลาดได้ อย่างไรก็ตามการวิเคราะห์ค่ากำลังโดยชmid แฮมเมอร์ซึ่งเป็นการทดสอบหาค่ากำลังประลักษณ์ของคอนกรีตแบบไม่ทำลาย ที่มีความเหมาะสมที่จะนำมาใช้เชิงอิงกับการทดสอบสะพานเบื้องต้น

4. การปรับเทียบแบบจำลองโครงสร้างสะพานด้วยค่าการแย่งตัว (Displacement) มีความเหมาะสมกว่าการปรับเทียบโครงสร้างสะพานด้วยค่าความเครียด (Strain) หาก เพราะเป็นการตรวจวัดจากองค์รวมของแผ่นพื้นสะพาน และค่าความถี่ธรรมชาติที่ได้จากการทดสอบจริงกับแบบจำลองที่ยังมีค่าคลาดเคลื่อนเพียงเล็กน้อย โดยมีค่าใกล้เคียงกันถึง 84.67% อย่างไรก็ได้ การปรับเทียบจากค่าความเครียดที่ยังมีความจำเป็นเพื่อใช้ดูแนวโน้มของค่าความเครียดที่เกิดขึ้นจริงกับแบบจำลองว่ามีพฤติกรรมสอดคล้องกันหรือไม่

5. ความเร็วของรถบรรทุกที่ใช้ในการทดสอบสามารถส่งผลให้ค่าบ่งชี้ความสามารถในการรับน้ำหนักบรรทุกลดลงได้ เนื่องจาก การที่รถบรรทุกเคลื่อนที่ด้วยความเร็วสูง จะก่อให้เกิดแรงกระแทก (Impact Load) ทำให้โครงสร้างสะพานต้องรับน้ำหนักมากขึ้นจนส่งผลต่อค่าบ่งชี้ความสามารถในการรับน้ำหนักบรรทุก อย่างไรก็ตาม หากทำการทดสอบด้วยความเร็วในระดับที่ต่ำจะให้ระดับค่าตัวบ่งชี้ความสามารถในการรับน้ำหนักที่ใกล้เคียงกัน จึงสามารถใช้การทดสอบแบบพลวตด้วยความเร็วต่ำแทน การทดสอบทางสถิติได้ ซึ่งจะลดระยะเวลาในการทดสอบและการปิดช่องจราจรในขณะทดสอบได้

6. กรณีที่รถบรรทุกใช้ช่องจราจรใดในการเคลื่อนที่ก่อส่งผลกระทบต่อโครงสร้าง เนื่องจากในกรณีที่รถบรรทุกใช้ช่องจราจรซ้ายหรือขวา จะส่งผลให้สะพานเกิดการบิดตัว (Torsion) ซึ่งโครงสร้างสะพานที่ใช้ในการทดสอบนี้เป็นแบบแผ่นพื้นสำเร็จรูป (PC plank) และเทบบันหน้าด้วยคอนกรีตเสริมเหล็ก ซึ่งมีลักษณะเป็นโครงสร้างประกอบ (Composite Structure) อาจจะทำให้การถ่ายเทแรงภายใต้ เป็นไปอย่างไม่สมบูรณ์

7. จำนวนรถบรรทุกและลักษณะการจัดรถบรรทุกที่เคลื่อนที่ผ่าน โครงสร้างสะพานก่อส่งผลกระทบ ค่าบ่งชี้ความสามารถในการรับน้ำหนักบรรทุก เช่นเดียวกัน โดยค่าบ่งชี้ความสามารถในการรับน้ำหนักบรรทุกของ โครงสร้างสะพานจะลดลงเมื่อมีรถบรรทุกจอดบนสะพาน 2 คันพร้อมกัน โดยมีค่าลดลง จากกรณีที่มีรถบรรทุกจอดบนสะพานคันเดียวถึง 5.77% เมื่อพิจารณาจากกรณีรถบรรทุกอยู่บนสะพาน ในช่องจราจรค้านขวา

5.2 ข้อเสนอแนะ

1. การติดตั้งอุปกรณ์ตรวจความเครียดและอุปกรณ์ตรวจวัดการแอล์ตัวแวร์จะทำการติดตั้ง ในแนวที่ล้อของรถบรรทุกเคลื่อนที่ผ่าน ใกล้กับกลางของพื้นสะพานจะทำให้การตรวจวัดมีความถูกต้องมากขึ้น เนื่องจากค่าความเครียดและค่าการแอล์ตัว มีแนวโน้มที่สูงที่ตำแหน่งกึ่งกลางสะพาน การติดตั้งอุปกรณ์ตรวจวัดที่ตำแหน่งอื่นอาจจะมีความสำคัญน้อยกว่า เนื่องจากค่าความเครียดและค่าการแอล์ตัวมีค่าน้อยกว่าตำแหน่งดังกล่าว

2. แบบแปลนที่นำมาใช้อ้างอิงในการวิเคราะห์ค่าบ่งชี้ความสามารถในการรับน้ำหนักบรรทุก ครั้งนี้ ก็อาจจะส่งผลให้ผลที่ได้คลาดเคลื่อน ได้เช่นกัน เนื่องจากแบบแปลนของสะพานที่ใช้อ้างอิง เป็นแบบแปลนสะพานมาตรฐาน มสู-4-101/1 ของสำนักวิศวกรรมทางหลวงชนบทเป็น โครงสร้างสะพานคอนกรีตเสริมเหล็ก ซึ่งแตกต่างกับ โครงสร้างสะพานที่ทำการทดสอบจริงที่เป็นแบบแผ่นพื้นคอนกรีตสำเร็จรูปทับหน้าด้วยคอนกรีตเสริมเหล็ก ซึ่งเป็นโครงสร้างสะพานที่แตกต่างกัน

3. ในการสร้างแบบจำลองโครงการสร้างสะพาน อาจจะไม่จำเป็นต้องจำลองโครงการที่ไม่ได้รับแรง เช่น รากันตกสะพานและขอบกั้น โดยอาจจะพิจารณาในหนักของชิ้นส่วนดังกล่าวให้เป็นแรงที่กระทำบนแผ่นพื้นสะพานที่ตำแหน่งนั้น ๆ มากกว่า เพื่อให้พฤติกรรมของโครงการสร้างสะพานไม่ผิดเพี้ยนไปจากโครงการสร้างสะพานจริง

ເອກສາຣ໌ອ້າງອີງ

American Association of State Highway and Transportation Officials (AASHTO) (1996).

Standards specifications for highway bridges. 16th Ed., Washington, DC.

Sobanjo, J. O., Stukhart, G. and James, R. W., (1994), "Evaluation of projects for rehabilitation of highway bridges", ASCE, Journal of Structural Engineering, Vol. 120, 81-99.

Zhao, Z. and Haldar, A. (1996), "Bridge fatigue damage evaluation and updating using non-destructive inspections", Engineering Fracture Mechanics, Vol. 53, 775-788.

Downing, S. D. and Socie, D. F. (1982), "Simple rainflow counting algorithms", International Journal of Fatigue, 31-40.

Miner, M. A. (1945), "Cumulative damage in fatigue", Transaction of American Society of Mechanical Engineers, Vol. 67, A159-164.

Frank, K. H. (1992), "Using measured stress histories to evaluate the remaining fatigue life of bridges", Proceedings of the 3rd International Workshop on Bridge Rehabilitation, Darmstadt, 529-539.

Zuraski, P. D. (1993), "Service performance of steel bridges compared to fatigue-life predictions", ASCE, Journal of Structural Engineering, Vol. 119, 3056-3068.

Laman, J. A. and Nowak, A. S. (1996), "Fatigue-Load Models for Girder Bridges", ASCE, Journal of Structural Engineering, Vol. 122, 726-733.

Gagarine, N. and Albrecht, P. (1992), "Predicting fatigue life of highway bridges with weight-in-motion data", Proceedings of the 3rd International Workshop on Bridge Rehabilitation, Darmstadt, 679-693.

Moses, F., Schilling C. G., and Raju, K. S. (1987), "Fatigue evaluation procedures for steel bridges", NCHRP Report 299.

Manual for Condition Evaluation and Load Rating of Highway Bridges using Load and Resistance Factor Philosophy, NCHRP (2001).

Recording and Coding Guide for the Structure Inventory and Appraisal of the Nation's Bridges, FHWA-PD-96-001 (1995).

302538

75

Fatigue Evaluation Procedures for Steel Bridges, NCHRP Report 299.

Bridge Inspector's Reference Manual, FHWA NHI 03 (2002).

Development of Bridge Load Testing Process for Load Evaluation, IOWA DOT TR 445 (2003).

Concrete Bridges: Inspection, Repair, Strengthening, Testing, Load Capacity Evaluation, Raina,

V.K., (2003).